881217



UNIVERSIDAD ANAHUAC

ESCUELA DE INGENIERIA INCORPORADA A LA U.N.A.M.

DISEÑO Y CONSTRUCCION DE UN ACUMULADOR HIDRAULICO Y SU ADAPTACION A UN GENERADOR DE GOLPE DE ARIETE PARA EXPERIMENTACION

> TESIS Que para obtener el título de INGENIERO MECANICO ELECTRICISTA AREA MECANICA Presenta

JUAN MANUEL AVILA GONZALEZ - ARAGON

TESIS CON FALLA DE ORIGEN

México, D. f.





UNAM – Dirección General de Bibliotecas Tesis Digitales Restricciones de uso

DERECHOS RESERVADOS © PROHIBIDA SU REPRODUCCIÓN TOTAL O PARCIAL

Todo el material contenido en esta tesis esta protegido por la Ley Federal del Derecho de Autor (LFDA) de los Estados Unidos Mexicanos (México).

El uso de imágenes, fragmentos de videos, y demás material que sea objeto de protección de los derechos de autor, será exclusivamente para fines educativos e informativos y deberá citar la fuente donde la obtuvo mencionando el autor o autores. Cualquier uso distinto como el lucro, reproducción, edición o modificación, será perseguido y sancionado por el respectivo titular de los Derechos de Autor.

A MIS PADRES

A mis Hermanos

A mis Abuelos



A mis Maestros y Compañeros

A mis Amigos

A todas aquellas personas que me han ayudado en mi formación profesional



La Sabiduría y la Instrucción son un gran don de Dios que debemos agradecerle.

(Eclesiástico 51)

CONTENIDO

	IN			
ҭ				
1				

II. BASES TEORICAS

III. ACUMULADORES HIDRAULICOS

IV. CALCULO DE UN ACUMULADOR Y SU ADAPTACION A UN GENERADOR
DE GOLPE DE ARIETE

V. CONSTRUCCION Y ADAPTACION DE UN ACUMULADOR

VI. CONCLUSIONES Y RECOMENDACIONES

APENDICE A

APENDICE B

BIBLIOGRAFIA

INDICE

I. INTRODUCCION

1. INTRODUCCION.

Dentro de la Mecánica de los Fluidos, así como en otras ramas de la Ingeniería, existen fenómenos relevantes, algunos por su utilidad o beneficio y otros por el daño que puedan -- causar.

El Golpe de Ariete es uno de estos fenómenos y su estu-dio tiene una singular importancia por el peligroso efecto -que produce cuando se presenta en sistemas hidráulicos.

El hombre, ha estudiado las causas y consecuencias de dicho fenómeno, y en su afán por encontrar una solución a su -- problema, ha desarrollado un dispositivo conocido como Acumulador Hidráulico que reduce el efecto de este fenómeno.

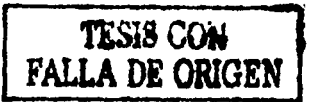
En este trabajo, se presenta un estudio detallado del fenómeno de Golpe de Ariete así como de los Acumuladores Hidráulicos y de la relación que existe entre ellos; haciendo especial enfásis en el Acumulador Hidráulico de Vasija Elástica.

Como se vió a lo largo de la carrera, los estudios teóricos necesitan de la realización de pruebas prácticas comple--mentarias, para una mayor comprensión de los fenómenos a estudiar.



Por esta razón, los objetivos de esta tesis se refieren al Diseño y Construcción de un Acumulador Hidráulico de Vasija Elástica y su adaptación al Generador de Golpe de Ariete para experimentación en el laboratorio de Mecánica de los Fluidos.

Con esto, además de complementar el estudio del fenómeno de Golpe de Ariete e incrementar el equipo y las pruebas prácticas a realizarse en el laboratorio, se muestra una de las a plicaciones prácticas que tienen los Acumuladores Hidráuli---cos.



II. BASES TEORICAS



2.1 DEFINICION DEL PROBLEMA

2.1.1 EL GOLPE DE ARIETE.

Toda modificación que se hace a un flujo de régimen esta blecido en un conducto, (por ejemplo, por maniobras de com--puerta, arranque, frenado o cambio de la velocidad de una bom ba o turbina). implica variaciones de la presión y de la velo cidad con respecto al tiempo, así como a lo largo del conduc-Al cerrarse rápidamente una válvula en la tubería durante el escurrimiento; el flujo a través de la válvula se reduce, lo cual incrementa la carga del lado aguas arriba de la válvula, iniciándose así un pulso de alta presión que se propaga en la dirección contraria a la del escurrimiento. pulso de presión hace que la velocidad del flujo disminuya. -La presión en el lado aguas abajo de la válvula se reduce y la onda de presión disminuida viaja en el sentido del escurri miento, disminuyendo también la velocidad del flujo. Si el cierre de la válvula es suficientemente rápido y si la presión permanente original es suficientemente baja, se puede -formar una bolsa de vapor aguas abajo de la válvula, produ--ciéndose el fenómeno de cavitación cuando esto ocurre, la cavidad de vapor puede eventualmente reducirse en forma violenta y producir una onda de alta presión que se propaga en la dirección aguas abajo.



Antes de deducir las ecuaciones que describen este fenómeno del golpe de ariete, se dará una relación de la secuen-cia de eventos que se presentan al cerrarse bruscamente una válvula al final de la tubería proveniente de un vaso de alma cenamiento como se muestra en la Figura 1,

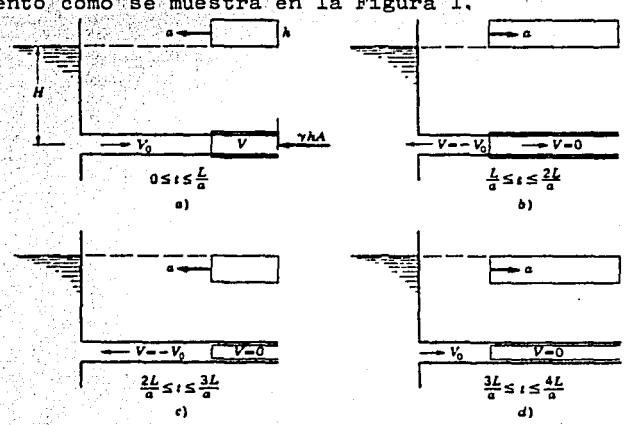


FIGURA 1

En donde a es la velocidad de propagación de la onda, L es la longitud de la tubería, t es el tiempo de cerrado de la válvula y V es la velocidad del fluído.

En este caso, se despreciará la fricción. En el instante en que se cierra la válvula (t=0), el líquido más cercano a ella se comprime al mismo tiempo que su movimiento se reduce a cero; en estas condiciones, las paredes del conducto sufren una expansión como se muestra en la Figura 1. Tan pron-

to como se comprime la primera capa del líquido, el proceso se repite con la siguiente capa. El líquido en las partes -más alejadas aguas arriba de la válvula continúa moviéndose sin que se vea afectada su velocidad hasta que es alcanzado por el efecto de compresión del líquido que continúa llegan-do. La alta presión que se desarrolla se mueve en dirección
aguas arriba como una onda, frenando al fluido hasta lograr su reposo, comprimiéndolo y dilatando las paredes de la tubería. Cuando la onda alcanza el extremo aguas arriba de la tu
bería (t=L/a), todo el líquido se encuentra bajo una carga adicional H: toda la cantidad de movimiento se ha perdido y to
da la energía cinética se ha convertido en energía elástica.

En estas condiciones y dado que la presión en el vaso de almacenamiento no ha cambiado; se tiene un desbalance en el extremo aguas arriba de la tubería en el momento en que llega la onda de presión. El fluido contenido en la tubería expandida comienza a escurrir con velocidad en sentido contrario, es decir, de la válvula hacia el vaso; comenzando en el extremo aguas arriba del conducto. La presión en el fluido — vuelve a tener el valor que tenía antes del cierre de la válvula, la pared del tubo recupera sus dimensiones originales y el líquido adquiere una velocidad Vo en sentido contrario al original, ahora va de la válvula hacia el vaso. Este proceso de conversión viaja hacia el extremo donde se encuentra —

la válvula a la velocidad del sonido en la tubería. En el -instante 2L/a, la onda ha llegado hasta la válvula y la pre-sión en toda la tubería ha regresado a su valor normal, siendo la velocidad del líquido en todo el conducto igual a Vo y
en dirección hacia el vaso de almacenamiento.

Como la válvula se encuentra cerrada, no se dispone de líquido que mantenga el escurrimiento a través de ella y, por
tanto, se desarrolla una presión negativa (-H) tal que el flu
ido se frena otra vez hasta alcanzar el reposo. Esta onda de
presión se propaga en dirección aguas arriba a una velocidad
a, haciendo que el fluido sucesivamente se frene y logre un estado de reposo al mismo tiempo que se expande debido a la baja presión, ocasionando que las paredes del fluido se contraigan.

En el instante en que la onda de presión negativa llega al extremo superior de la tubería, es decir, 3L/a seg., des—pués del cierre de la válvula, el líquido se encuentra en reposo pero uniformemente a una carga menor, en -H, que la que se tenía antes del cierre. En estas condiciones, se tiene una vez más un desbalance en el vaso de almacenamiento, lo cual ocasiona que el fluido comience a moverse desde el vaso hacia la tubería, adquiriendo una velocidad Vo en dirección a la válvula y haciendo que tanto la tubería como el líquido re

tornen progresivamente a las condiciones normales conforme la onda viaja hacia la válvula con velocidad a.

En el momento en que la onda llega a la válvula, las con diciones en todo el sistema son exactamente las mismas que se tenían en el instante del cierre de la válvula, ocurrido 4L/a seg., antes.

El proceso descrito anteriormente se repite cada 4L/a -seg., y los efectos de la fricción en el fluido y la elastici
dad imperfecta tanto en el fluido como en las paredes de la tubería, despreciadas en la consideración anterior, ocasionan
que las oscilaciones se amortigüen y que el fluido alcance fi
nalmente el estado de reposo permanente. Si el cierre de la
válvula se lleva a cabo en un tiempo menor a 2L/a seg., se -llama cierre rápido, mientras que si se efectua en un tiempo
mayor que 2L/a, se llama cierre lento.

Este fenómeno recibe el nombre de golpe de ariete. Las propiedades elásticas del agua y del material de que está — construido el conducto, juegan un papel muy importante tanto en la producción como en la evolución del golpe de ariete. — Las sobre o subpresiones provocadas pueden ser muy perjudicia les al conducto, a las válvulas, a-los accesorios y a las bom bas.

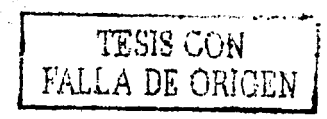


Llegan a ser tan grandes estos cambios de presión, que - resulta difícil que un conducto, válvulas y accesorios norma- les los resistan sin dañarse seriamente. Los cambios de presión provocados por el arranque o paro de una bomba también - producen efectos de golpe de ariete dañando a la bomba y a -- sus instalaciones respectivas.

Una manera de limitar los efectos del golpe de ariete -consiste en instalar en cualquier sección del conducto, un -dispositivo que sea altamente deformable, tal como: tanque -de oscilación, acumulador hidráulico, etc., los que reflejan
más o menos completamente las ondas de choque y de esta manera protegen a la parte del conducto situada aguas abajo de ellos.

De esta manera el agua es sometida a una oscilación en - masa, alrededor de una nueva posición de equilibrio, corres-- pondiente al nuevo régimen del escurrimiento. Para el estu-- dio de oscilaciones en masa, se pueden despreciar las propiedades elásticas del agua y del conducto, en comparación con - la deformabilidad del dispositivo especial.

Las oscilaciones en masa provienen del golpe de ariete que constituyen el fenómeno primario; sin embargo, en vez de conducir a un fenómeno más uniforme, por defasamiento de es-



tos dos fenémenos, se superponen.

Las oscilaciones en masa son movimientos rígidos del 11quido en el conducto.

Las variaciones en el régimen generan ondas de golpe de ariete pero con rapidez extrema, estas ondas se transforman - en movimientos en masa, si es posible que un sistema deformable permita tal movimiento.

La parte del conducto situada más alla del sistema defor mable, respecto a la fuente de perturbación del régimen se en cuentra protegida de las variaciones considerables de presión que engendrarían las ondas del golpe de ariete. Analogamente en la parte situada entre la fuente de perturbación y el sistema deformable, las presiones disminuyen considerablemente.



2.2 ECUACIONES BASICAS

2.2.1 TEORIA DE LA COLUMNA DE AGUA RIGIDA.

Cuando un conducto esta lleno de agua en movimiento las leyes que controlan los cambios de presión y descarga depende solamente de las condiciones bajo las cuales el flujo tiene - lugar. Si el agua es considerada como incompresible y su velocidad en cualquier parte del conducto permanece constante - se puede aplicar la ecuación de energía de Bernoulli, en cual esquiera dos secciones del conducto como se muestra en la Figura 2. Sin embargo cuando el movimiento es inestable esto es cuando la descarga de cada sección varia rapidamente de un -- instante a otro y se presentan rápidos cambios de presión, la ecuación de Bernoulli no es aplicable. Estos cambios de presión son referidos como Golpe de Ariete por el golpeteo que - se escucha cuando ocurre este fenómeno.

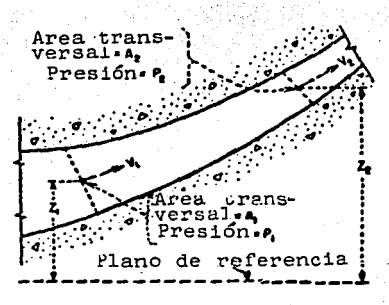
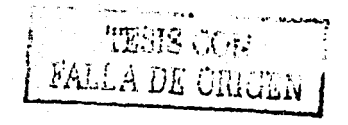


FIGURA 2



Para obtener las leyes básicas del golpe de ariete, el e fecto de cambios rápidos en el flujo, son primero considera—dos para un conducto de área y longitud uniforme como se mues tra en la Figura 3. El conducto es conectado a un depósito—en su extremo superior y tiene una válvula de control en su extremo inferior para controlar la descarga del agua a la atmósfera.

Para obtener las ecuaciones iniciales debemos asumir lo siguiente:

- a) El agua en el conducto es incompresible.
- b) Las paredes del conducto no van a dilatarse sea cual fuere la presión dentro de la tubería:
- c) La tubería se mantiene llena de agua todo el tiempo y la mínima presión es mayor que la presión de vapor del agua (no hay vaporización).
- d) Las pérdidas en tuberías y la presión dinámica son despreciables comparadas con los cambios de presión.
- e) La velocidad del agua en la dirección del eje de la tubería es uniforme a lo largo de la sección del conducto.
- f) La presión es uniforme en cualquier sección transversal del conducto y es igual a la presión en el centro del con ducto.
- g) El nivel del depósito se mantiene constante durante el -tiempo de movimiento de la válvula.



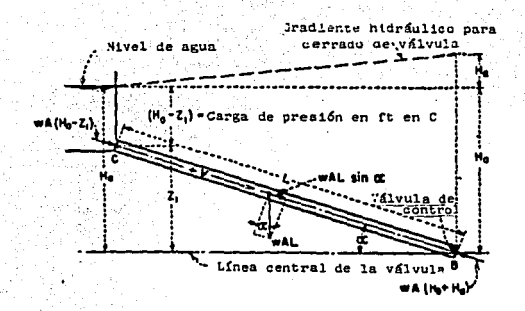
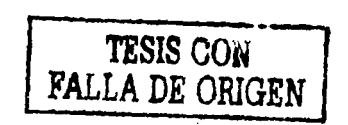


FIGURA 3

Si el flujo de la válvula de control es alterado, una -fuerza externa de desbalanceo actuará en la válvula contra la
masa de la columna de agua. La magnitud de la fuerza puede ser determinada usando la segunda ley de Newton. La des-aceleración o coeficiente al cual la velocidad disminuye por uni
dad de tiempo es -dv/dt, en donde V es medida positivamente en la dirección del flujo. La masa del agua des-acelerada en
todo lo largo de la tubería es wAL/g, en donde w es el peso específico del fluido. Si Ha designa la carga en des-acelera
ción en la válvula, la fuerza desbalanceada actuando en la co
lumna de agua es:

 $WA[(Ho + Ha) - (Ho - Z_1) - L sen=]$

pero si l'sen« = Z_1 tenemos que la fuerza de desbalanceo es - wA Ha, así de l \approx segunda ley de Newton tenemos que:



$$Ha = -\frac{L}{g} \frac{dv}{dt}$$
 (1)

Anterior al movimiento de cerrado de la válvula la descarga a la atmosfera es:

$$Qo = AVo = (Cd Ag)o \sqrt{2g Ho}$$

б.

Vo = Bo √Ho

en donde

$$Bo = \frac{(Cd Ag)o \sqrt{2g}}{A}$$

En cualquier instante del movimiento de la valvula

$$V = B \sqrt{Ho + Ha}$$

y

$$\frac{V}{Vo} = \frac{B}{Bo} \sqrt{1 + \frac{Ha}{Ho}}$$

Si el coeficiente B/Bo es designado por r

$$V = rVo \sqrt{1 + \frac{Ha}{Ho}}$$
 (2)

en donde r es una función del tiempo que define el coeficiente de la apertura efectiva de la válvula en cualquier momento durante el cerrado de la válvula a la apertura efectiva en el tiempo cero.

Las ecuaciones 1 y 2 son las ecuaciones básicas del golpe de ariete cuando se cierra la válvula, de acuerdo a la teo ría de la columna de agua rígida.

Para un cerrado uniforme parcial o completo de una válvu

la:

$$r = 1 - \frac{V^{t}t}{VoT} \quad (0 \le t \le T)$$

en donde T es el tiempo de movimiento de la válvula y V' es la diferencia entre la velocidad estable inicial y la velocidad estable final. Así tenemos que:

$$V = \frac{(Vo - \frac{Vit}{T})}{1 + \frac{Ha}{Ho}}$$
 (3)

Resolviendo 1 y 3 para obtener (Ha) max., haciendo ----dHa/dt = 0 obtenemos la máxima carga en la válvula.

$$\frac{\text{(Ha) max.}}{\text{Ho}} = \frac{\kappa_1}{2} + \sqrt{\kappa_1 + \frac{\kappa_1^2}{4^2}} \tag{4}$$

en donde

$$\kappa_1 = (\frac{LV!}{gHot})^2$$

de un modo similar se determina (Ha¹) max., la máxima caida de carga en la válvula debida a la abertura uniforme, resulta en la ecuación:

$$\frac{\text{(Ha')max.}}{\text{Ho}} = \frac{\kappa_1}{2} - \sqrt{\kappa_1 + \frac{\kappa_2^2}{4^2}}$$
 (5)

En la Figura 4 podemos ver las soluciones de las ecuaciones 4 y 5.



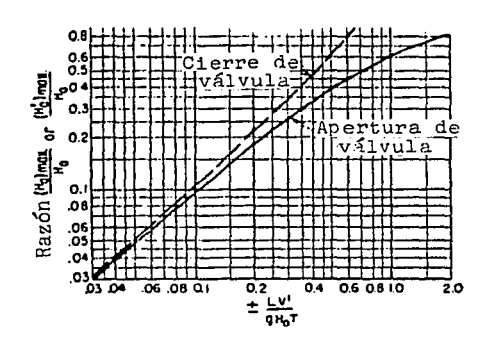


FIGURA 4. El Golpe de Ariete para un movimiento uniforme de la valvula.

Longitudes equivalentes en las tuberías pueden ser tomadas si consideramos una tubería con un cambio de diametro como se muestra en la Figura 5. Si los efectos de pérdidas hidráulicas y presión dinámica son despreciables, las fuerzas que actuan en el final de las dos columnas de agua son las que corresponden a la Figura 5. Las siguientes relaciones para el equilibrio dinámico de las dos columnas son los siguientes:

$$wA_1 (Ha_1 - Ha_2) = -\frac{w}{g} A_1 L_1 \frac{dV_1}{dt}$$

 $wA_2 Ha_2 = -\frac{w}{g} A_2 L_2 \frac{dV_2}{dt}$



en donde V_1 y V_2 son las velocidades del agua en las tuberías L_1 y L_2 . De la condición de continuidad A_1 V_1 = A_2 V_2 tenemos que la solución de esta ecuación para Ha es

$$Ha_1 = -\frac{A_1}{g} \left(\frac{L_1}{A_1} + \frac{L_2}{A_2} \right) \frac{dv_1}{dt}$$

De aqui, una tubería con un cambio de diametro es reemplazada para los propósitos del golpe de ariete por una equivalente de área A₁ y longitud L en donde:

$$L = L_1 + \frac{L_2 A_1}{A_2}$$

Podemos considerar varios cambios en el diametro y longitud hasta Ln y An y reemplazarlas por

$$L = L_1 + \frac{L_2 A_1}{A_2} + \frac{L_3 A_1}{A_3} + \dots + \frac{L_n A_1}{A_n}$$
 (6)

de teoría de la columna rígida está limitada a la rigidez de las paredes de tubería y a la incomprensibilidad del agua.

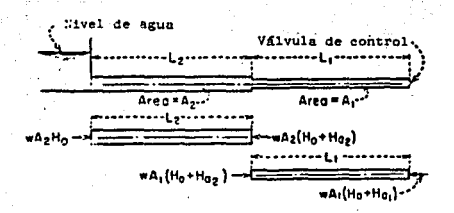


FIGURA 5



2.2.2 TEORIA DE LA COLUMNA ELASTICA DE AGUA.

Fundamentalmente las ecuaciones de golpe de ariete son ahora derivadas para un caso más general de flujo variable. -Las mismas consideraciones usadas anteriormente son aplica--bles con la excepción que la elasticidad de las paredes del conducto y la compresibilidad del agua son tomadas en cuenta. Se considerará un elemento de agua que es limitado por dos ca ras paralelas normales al eje de la tubería. La condición de equilibrio dinámico requiere que la fuerza desbalanceada que actua en el elemento de agua tiene que ser igual al producto de los elementos de masa y aceleración, es decir que satisfaga la segunda ley de Newton. La condición de continuidad para el elemento requiere que el espacio disponible entre las fronteras tiene que estar ocupado con agua todo el tiempo. Las ecuaciones que resultan de las condiciones de equilibrio dinámico y continuidad son resueltas simultaneamente para obtener las ecuaciones fundamentales del golpe de arlete.

La condición de equilibrio dinámico para un elemento de agua dx_1 en longitud, se establece como sigue, con ayuda de - la Figura 6.



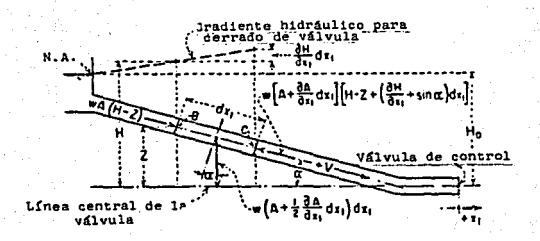


FIGURA 6

Pasando de la frontera B a la C el área de la sección -transversal aumenta a razón de $\partial A/\partial x_1$. Si el área B está definida por A el área C es entonces A + $\partial A/\partial x_1 dx_1$. La intensi
dad de presión y todas las fuerzas que actuan en B y C son de
terminadas de una forma similar y se muestran en la siguiente
tabulación:

	from the contract of the first		医性性畸形 医二氢医抗抗性胆醇		
_	_				
Cara	1 В	\$16 (4) 医抗性性病毒病	C	ara C	마음을 발견하다 그 기가 가지하다 그
		The second second second		其中。不论、中部介的20 4	
			트립트를 하고 없다. 그 사람은	gradus (1947) and de	다 하 지원의 삼 그 분들 사기 하고 때
and the second of the second o	可以相称 化二氯苯基甲基甲基	A # 34	are the country of the	인상을 바다 가는 한 사람들이 되었다.	れんし 最後をしまりが しょうしんしん
				ЭΑ.	的复数数数数 化化氯化化化化化化化化
Area A			Δ +	d v -	
na cu	e fill samely because year	かれら 屈さば サッヤ		$\frac{3A}{3x_1}$ dx ₁	실험되는 아이에 가는 말이 되는 것이 되었다.
				** 1 *** 4 ** ***.	
化二十二十二十二十二十二十二十二十二十二十二十二十二十二十二十二十二十二十二十		TATAL SHOWN TO SERVE			
		医乳头菌 法规则 香煙 计点			
Presión w(H-	71	•••F13		+ sen≃	` A •===1
rreston w(n-	-4/	WLIL		L DCIIT	/ ⁴ ~ 1 J
and the second of the second o		I was at the said of	OA1	的名词复数 化氯化甲酚磺基酚	
			나타다 아마하다 하고	and the second section is	'맛이트웨인' 보스 중심 시간 사람이 없다.
		~ ^		10 T 10 A 14 W	數數學 建筑物的复数 经工作证券
T1	m 1 1 1 1 1 1 1 1 1 1 1 1 1 1 1 1 1 1 1	, . dA	A 12 1 1 1 1 1 1 1 1 1 1 1 1 1 1 1 1 1 1	, , , , , , , , , , , , , , , , , , , ,	
Fuerza wA(H-	-2) W	(A + -	QX 1) L H =	2 T (~= '	r/sena) uxi]
1 TO THE TOTAL SECTION AND ADDRESS OF THE PARTY.	5T 1		. Programa de la composición del composición de la composición de	, ax,	+ sen«) dx ₁]
		 ************************************		Salar (1980) and Alice (1980)	

En el centro de gravedad del elemento, la fuerza de gravedad que actua hacia abajo en la masa del elemento es: $w(A + \tfrac{1}{2} \tfrac{\partial A}{\partial x_1} \, dx_1) \, dx_1$



La fuerza desbalanceada de des-aceleración que actua a lo largo del eje de la tubería es:

w (A +
$$\frac{\partial A}{\partial x_1}$$
 dx₁) [H-Z + ($\frac{\partial H}{\partial x_1}$ + senc) dx₁]

-w A (H-Z) - w (A +
$$\frac{1}{2} \frac{\partial A}{\partial x_1} dx_1$$
) dx₁ sen∈

donde la dirección positiva de la fuerza es tomada opuesta a la dirección normal del flujo. Después de despreciar térmi-nos y cancelar términos semejantes, la fuerza desbalanceada de des-aceleración es

$$w[A \frac{\partial H}{\partial x_1} + (H-Z)] \frac{\partial A}{\partial x_1}] dx_1$$

como w (H-Z) $\frac{3\,A}{3\,x_1}$ d x_1 es muy pequeño, podemos considerar que - la fuerza que actua en el eje es

$$w A \frac{\partial H}{\partial x_1} dx_1$$

La masa del elemento de agua que debe ser movido es ---- w A dx_1/g y su des-aceleración es - dV/dt ahora de la segunda ley de Newton

$$- w A \frac{\partial H}{\partial x_1} dx_1 = \frac{wA}{g} \frac{dV}{dt} dx_1$$

como V es función tanto de x1 y t

$$\frac{dV}{dt} = \frac{\partial V}{\partial t} + \frac{\partial V}{\partial x_1} \frac{dx_1}{dt} = \frac{\partial V}{\partial t} + V \frac{\partial V}{\partial x_1}$$

entonces

$$\frac{dH}{dx_1} = \frac{1}{g} \left(\frac{\partial V}{\partial t} + V \frac{\partial V}{\partial x_1} \right) \tag{7}$$

que es la ecuación de equilibrio para un elemento de agua.



Una segunda ecuación que relaciona H y V se determina ahora de la ecuación de continuidad, en la Figura 7a se mues—
tra un elemento de agua de longitud B C igual a dx1 en cual—
quier tiempo. Para un instante de tiempo el coeficiente de —
cambio de velocidad entre las caras B y C de un elemento eV/
ex1 y las velocidades en B y C son V y V + eV/ex1 dx1 respectivamente. En la Figura 7b en un intervalo muy corto de tiem
po B C es movido a D F. Ya que V es una función de dos variables independientes x1 y t las velocidades de las caras D y F
son determinadas como se muestra en la Figura 7b. El cambio
de longitud del elemento dx1 en el movimiento de B C a D F es
BD-CF. El promedio de velocidad de la cara B en movimiento a
D en el intervalo de tiempo dt es:

$$V + \frac{1}{2} \frac{\partial V}{\partial x_1} BD + \frac{1}{2} \frac{\partial V}{\partial t} dt$$

y la distancia movida durante el intervalo de tiempo dt es -BD.

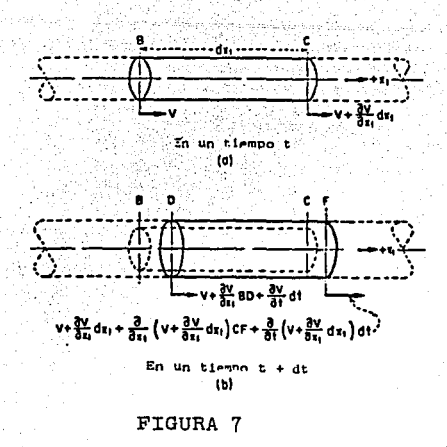
Entonces

$$B D = (V + \frac{1}{2} \frac{\partial V}{\partial x_1} BD + \frac{1}{2} \frac{\partial V}{\partial t} dt) dt$$

y de la misma manera

$$BD - CF = -\frac{\partial V}{\partial x_1} dx_1 dt$$
 (8)





El cambio de longitud del elemento dx1 trae como consecuencia dos factores principales. En el primer lugar, un cambio en la presión causa que la tubería se expanda o se contraiga. El cambio que resulta en la sección transversal del área produce un cambio en la longitud del elemento para contener el mismo volumen de agua dentro del elemento como una consecuencia de un adelanto en la longitud del elemento.

El cambio total en la longitud del elemento que es BD-CF es ahora calculada considerando la elasticidad de la tubería con la del agua. La deformación del elemento de la tubería producida por un cambio en las fuerzas longitudinal y circun-



ferencial como se muestra en la Figura 8 es:

$$\Delta R = \frac{R + e/2}{E} (\Delta \sigma_2 - \mu \Delta \sigma_1)$$

$$\approx \frac{R}{E} (\Delta \sigma_2 - \mu \Delta \sigma_1)$$

y el cambio en la longitud axial del elemento es

$$\delta x_1 = \frac{dx_1}{E} (\Delta \sigma_1 - \mu \Delta \sigma_2)$$

en donde \$\lambda_1 y \lambda_2\$ representan el cambio en los esfuerzos longitudinal y circunferencial respectivamente producidos por un cambio de presión.

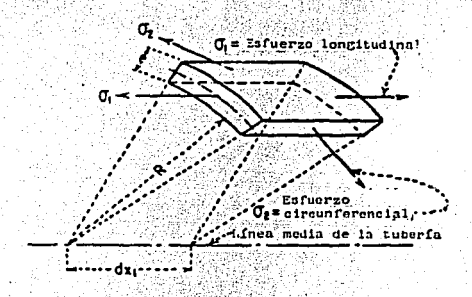


FIGURA 8

El volumen encerrado por el elemento sometido a esfuerzo es $\pi(R + \Delta R)^2$ ($\delta x + dx_1$) y el cambio en la longitud original del elemento B C compatible con el cambio en el volumen es:

$$\pi(R + \Delta R)^2 (\delta x_1 + dx_1) - \pi R^2 dx_1$$

πR²

Después de cancelar términos demasiado pequeños comparados con los otros, tenemos que el cambio en longitud es: $\delta \, x_1 \, + \, \frac{2\Delta R}{2} \, d \, x_1$

El cambio en el esfuerzo longitudinal depende de la habilidad del conducto para moverse en la dirección longitudinal. Existen muchos casos típicos en los que el movimiento del conducto es reestringido para variar la extensión.

 a) Para una tuberfa anclada en su lado superior sin juntas de expansión:

$$\Delta\sigma_1 = \frac{w D H}{4 e}; \Delta\sigma_2 = \frac{w D H}{2 e}$$

b) Para un conducto que está anclado contra movimientos longitudinales:

$$\Delta\sigma_1 = \frac{\mu w D H}{2 e}; \Delta\sigma_2 = \frac{w D H}{2 e}$$

c) Para una tubería que tiene juntas de expansión entre an-clas a lo largo de la tubería:

$$\Delta \sigma_1 = 0$$
; $\Delta \sigma_2 = \frac{\text{w - D H}}{2 \text{ e}}$

El cambio total en la longitud del elemento producido -por un cambio de presión de wd H en los tres casos anteriores
es:

$$\delta_{\mathbf{X}_1} + \frac{2\Delta R}{R} d\mathbf{x}_1 = \frac{w \ D \ d \ H}{Ee} d\mathbf{x}_1 \ C_1$$
donde para a) $C_1 = 5/4 - \mu$



b)
$$C_1 = 1 - \mu^2$$

c)
$$C_1 = 1 - \frac{\mu}{2}$$

El cambio de volumen del elemento original de agua en la longitud dx_1 , debido a la elasticidad del agua sometida a un cambio de presión wdH es:

$$\frac{W \pi R^2}{\kappa} dH dx_1$$

y el correspondiente cambio en la longitud del elemento de agua es:

$$\frac{w\pi R^2}{\kappa \pi R^2} dH dx_1 = \frac{w}{\kappa} dH dx_1$$

El cambio total en la longitud del elemento de agua causado por el cambio de presión wdH cuando se considera la compresión del agua y la deformación del conducto se reduce a $w: (\ \frac{1}{\kappa} + \frac{DC_1}{Ee}) \ dH \ dx_1$

si H es función de x_1 , t y $dx_1/dt = V$ entonces

$$dH = \frac{\partial H}{\partial t} dt + \frac{\partial H}{\partial x_1} dx_1 = (\frac{\partial H}{\partial t} + V \frac{\partial H}{\partial x_1}) dt$$

El cambio total en la longitud del elemento producido -por un cambio de presión de la ecuación 8 es:

BD - CF = w (
$$\frac{1}{\kappa}$$
 + $\frac{DC_1}{Ee}$) ($\frac{\partial H}{\partial t}$ + V $\frac{\partial H}{\partial x_1}$) dx₁dt entonces



$$\frac{\partial v}{\partial x_1} \ = \ - \ w \ (\frac{1}{\kappa} \ + \ \frac{DC_1}{Ee} \) \ (\frac{\partial H}{\partial t} \ + \ V \ \frac{\partial H}{\partial x_1})$$

$$\frac{\partial H}{\partial t} + V \frac{\partial H}{\partial x_1} = -\frac{a^2}{g} \frac{\partial V}{\partial x_1} \tag{9}$$

de donde

$$a = \sqrt{\frac{1}{\frac{W}{g}} \left(\frac{1}{\kappa} + \frac{DC_1}{Ee}\right)}$$
(10)

2.2.3 ECUACIONES FUNDAMENTALES DE GOLPE DE ARIETE.

Se supone que las ecuaciones 7 y 9 se resuelven simultaneamente y como vimos anteriormente que el término V $\partial V/\partial x_1$ de la ecuación 7 es muy pequeño comparado con $\partial V/\partial t$ y en la ecuación 9 el término V $\partial H/\partial x_1$ es muy pequeño comparado con $\partial V/\partial t$, entonces las ecuaciones 7 y 9 se reescriben de la siquiente manera:

$$\frac{\partial H}{\partial x_1} = -\frac{1}{g} \frac{\partial V}{\partial t} \tag{11}$$

$$\frac{\partial H}{\partial t} = -\frac{a^2}{g} \frac{\partial V}{\partial x_1} \tag{12}$$

La solución general para estas ecuaciones es:

$$H - Ho = f \left(t - \frac{x_1}{a}\right) + F \left(t + \frac{x_1}{a}\right)$$
 (13)

$$V - Vo = \frac{g}{a} \left[f \left(t - \frac{x_1}{a} \right) - F \left(t + \frac{x_1}{a} \right) \right]$$
 (14)

Por simplificación matemática se toma $-x = x_1$ de las ecuaciones 13 y 14.

$$H - Ho = F(t - \frac{x}{a}) + f(t + \frac{x}{a})$$
 (15)



$$V - Vo = -\frac{g}{a} \left[F \left(t - \frac{x}{a} \right) - f \left(t + \frac{x}{a} \right) \right]$$
 (16)

Estas son las ecuaciones fundamentales del golpe de ariete conocidas como las ecuaciones de Allievi.

2.2.4 VELOCIDAD DE LAS ONDAS DEL GOLPE DE ARIETE O CELERIDAD.

La velocidad de propagación de las ondas de presión en el conducto está definida por la ecuación 10.

$$\mathbf{a} = \sqrt{\frac{1}{\frac{\mathbf{w}}{\mathbf{g}}} \left(\frac{1}{\kappa} + \frac{\overline{DC_1}}{\overline{Ee}} \right)}$$

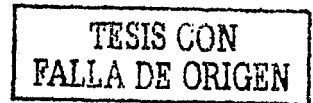
en donde los valores de C₁ dependen de la restricción del movimiento de la tubería como vimos anteriormente, entonces tenemos que:

- a) $C_1 = \frac{5}{11} \mu$
- b) $C_1 = 1 \mu^2$
- c) $C_1 = 1 \frac{y}{2}$

Siendo u el número de Poisson de la tubería en consideración.

2.2.5 REFLEXION DE LAS ONDAS EN EL GOLPE DE ARIETE.

Cualquier movimiento en el control de la válvula situada en la parte baja de la tubería, como se muestra en la Figura 9, produce un cambio instantaneo de velocidad, provocando una onda de presión del tipo F cerca de la válvula. Esta onda se mueve hacia arriba en la dirección positiva de las x con una velocidad a.



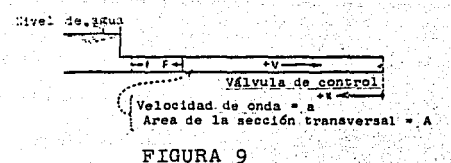


FIGURA 9

Cerca de alcanzar el depósito una onda de reflexión del tipo f se produce. Inicialmente, las relaciones entre $F(t-\frac{x}{a}) \text{ y f } (t+\frac{x}{a}) \text{ son desconocidas. Sin embargo, la carga de presión en el final de la tubería del depósito no se altera por presiones transitorias en la tubería.}$

Así de la ecuación 15 en x = L

H - Ho = 0 = F (t -
$$\frac{L}{a}$$
) + f (t + $\frac{L}{a}$) 6
F (t - $\frac{L}{a}$) = -f (t + $\frac{L}{a}$) (17)

sustituyendo esta relación en la ecuación 16 nos queda

$$V - Vo = -\frac{2g}{a} F \left(t - \frac{L}{a}\right)$$
 (18)

Esta ecuación implica que cuando una onda de presión del tipo F se acerca al depósito, el cambio de la velocidad del <u>a</u> gua en el lugar es el doble al producido por la onda en cualquier otro punto de la tubería.

El cambio adicional de velocidad produce la onda de velocidad del tipo f. Por otro lado la ecuación 17 implica --



que cuando la onda de presión del tipo F se acerca al depósito una onda de tipo f es producida en ese punto.

Esta onda de reflexión tiene la misma magnitud que la on da directa con signo contrario. De aqui que en la válvula exista una relación entre F y f igual a

$$f(t) = -F(t - \frac{2L}{a}),$$
 (19)

que es, la onda de reflexión que se acerca a la válvula igual en magnitud, pero de signo contrario a la onda directa que de ja la válvula 2 L/a segundos antes.

Cuando un extremo de la tubería esta cerrado, como se -- muestra en la Figura 10:

V = Vo = O en cualquier tiempo t, entonces de la ecuación 16

$$F \left(t - \frac{L}{a} \right) = f \left(t + \frac{L}{a} \right) \tag{20}$$

y sustituyendo en la ecuación 15

$$H - Ho = 2 F (t - \frac{L}{2})$$
 (21)

Así, en un extremo cerrado la onda de presión es completamente reflejada sin cambio de signo y la elevación de la --presión es igual al doble de la intensidad de la onda directa de presión.

FIGURA 10

Cuando existe un cambio en la sección transversal como - se muestra en la Figura 11, las ecuaciones 15 y 16 se aplican a las secciones $B C : y C \cdot D$ para una onda F_1 que se acerca a la unión C como sigue:

$$H_{C't} - H_{C'o} = F_1 + f_1$$

$$V_{C_1 t} - V_{C_1 o} = -\frac{g}{a} (F_1 - f_1)$$

$$H_{C^{11}=t} - H_{C^{11}=0} = F_2$$

$$V_{C^{11}} = V_{C^{11}} = \frac{gF_2}{a^2}$$

De la ecuación de continuidad en la unión C tenemos $\mathbf{A_2V_{C''}}_{t} = \mathbf{A_1V_{C't}}$

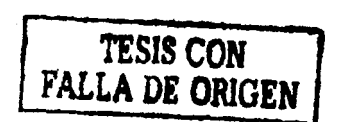
después de cancelar la carga de velocidad en las dos secciones de la tubería. La solución de las ecuaciones anteriores para $F_{2,y}$ $f_{2,z}$ es:

$$\mathbf{F_2} = \mathbf{SF_1} \tag{22A}$$

$$\hat{\mathbf{r}}_{1} = \mathbf{r}^{\dagger} \mathbf{F}_{1} \tag{22B}$$

en donde

$$S - r' = 1$$



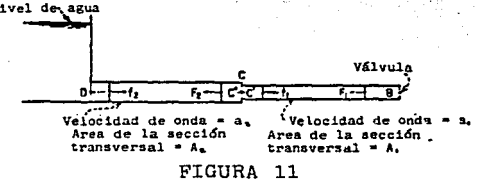
con

$$S = \frac{2A_1/a_1}{A_1/a_1 + A_2/a_2} \tag{23A}$$

У

$$\mathbf{r'} = \frac{A_1/A_1 - A_2/A_2}{A_1/A_1 + A_2/A_2} \tag{23B}$$

En estas ecuaciones S y r's on los factores de transmi-sión y reflexión respectivamente. Estos factores dependen -del área de la sección transversal y de la velocidad de la on da en las dos secciones de la tubería. Ya que la onda de velocidad depende del espesor de las paredes del conducto y de las propiedades del material, una onda de reflexión ocurre - en cada cambio de espesor, área, o material de la tubería.



En la unión de tres o más tuberías de una manera similar a la descrita anteriormente, los factores de transmisión y reflexión para la Figura 12 son:

$$F_2 = F_3 = SF_1$$
 (24A)

$$\mathbf{f_1} = \mathbf{r'} \; \mathbf{F_1} \tag{24B}$$

en donde

$$S - r' = 1$$

TESIS CON FALLA DE ORIGEN

$$S = \frac{2 A_1/a_1}{A_1/a_1 + A_2/a_2 + A_3/a_3}$$
 (25A)

У

$$\mathbf{r}^{\dagger} = \frac{A_1/a_1 - A_2/a_2 - A_3/a_3}{A_1/a_1 + A_2/a_2 + A_3/a_3} \tag{25B}$$

Estas ecuaciones nos muestran que la oleada de presión - transmitida a las ramas Cⁿ·D y C⁺···E son iguales independientemente de sus secciones transversales.



FIGURA 12

En una válvula parcialmente abierta, como en la Figura
13 f₁ representa una orda de presión cuyo movimiento es hacia

la válvula parcialmente ibierta y F₁ representa la onda de -
presión que es producida en la válvula por la reflexión de la

onda f₁.

Nivel de agua:

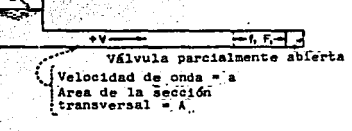


FIGURA 13

TESIS CON FALLA DE ORIGEN De las ecuaciones 15 y 16

 $H - Ho = F_1 + f_1$

$$V - V_0 = -\frac{g}{2} (F_1 - f_1)$$

La descarga del agua a través de la compuerta es

$$Q = AV = (CdAg) \sqrt{2 gH}$$

en donde (Cd y Ag) es el área efectiva de la válvula entonces $V = B\sqrt{H}$

de donde

$$B = \frac{\text{Cd Ag}}{A} \sqrt{2g}$$
 (26)

En las ecuaciones anteriores V, H y F₁ son desconocidas la s<u>o</u> lución para V es

$$V = -a \frac{B^2}{2g} + \frac{B}{2} \sqrt{\left(\frac{aB}{g}\right)^2 + 4 \left(H_0 + \frac{aV_0}{g} + 2 f_1\right)}$$
 (27)

Estas ecuaciones definen velocidad del agua en el conducto cercano a la válvula en cualquier momento. La magnitud de la onda de reflexión F_1 se determina de la siguiente ecuación

$$F_1 = -\frac{a}{g} (V - V_0) + |f_1|$$
 (28)

en donde V - Vo es el cambio de velocidad del agua en el conducto advacente a la válvula. Cuando las ecuaciones 27 y 28 se aplican a una onda f cuando la válvula está abierta, el valor numérico de F_1 es siempre menor que f. De aqui que las - ondas de presión se van reflejando como se van acercando a la válvula abierta.



2.2.6 EL GOLPE DE ARIETE PARA MOVIMIENTOS RAPIDOS DE LA VAL-VULA (MOVIMIENTOS INSTANTANEOS).

Si consideramos una tubería en la cual su flujo es inicialmente estable. Si asumimos que cerramos instantaneamente
la válvula situada al final de la tubería, ésto provocará una
repentina alza de presión en la tubería adyacente a la válvula. La magnitud de esta alza de presión se determina de la siguiente manera: si no hay onda de reflexión en la válvula
en el instante de cerrarla

$$f(t + \frac{x}{a}) = 0$$

entonces de las ecuaciones 15 y 16

$$H - Ho = F (t - \frac{x}{a})$$

$$V - Vo = -\frac{g}{a} F \left(t - \frac{x}{a}\right)$$

resolviendo estas ecuaciones para H - Ho

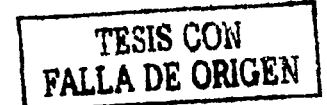
$$H - Ho = -\frac{a}{g} (V - Vo)$$

o sea

$$\Delta H = -\frac{a}{r} \Delta V \tag{29}$$

en donde ΔV es el cambio en la velocidad del agua en la válv \underline{u} la en el momento en que se completa el movimiento de la misma.

Esta ecuación la podemos interpretar de la siguiente manera: una rápida reducción de la velocidad del agua produce una onda F que se forma en el conducto adyacente a la válvula. La magnitud de esta onda es proporcional al cambio en la velo



cidad del agua y a la velocidad de propagación de la onda de presión.

El fenómeno de la propagación de la onda de transmisión debido a un cierre instantáneo en la válvula lo podemos ver - en la Figura 14. Como se indica en esta figura una onda F - que resulta de un completo cierre repentino de la válvula, se mueve en la tubería con una velocidad a. Como podemos ver, - diagrama por diagrama, tres eventos concurrentes tienen lugar; la velocidad del agua detrás de la onda se reduce a cero, la tubería se expande y la densidad del agua aumenta. Debido al ensanchamiento de la tubería y el aumento de la densidad del agua, la tubería ahora contiene un volumen adicional de agua que es más del que debe existir para una condición de flujo - estable.

Más allá, en el tiempo en que llega la onda F al depósito, la presión dentro de la tubería cerca del depósito, es ma
yor que la presión estática. Debido a esta condición inestable, el agua es forzada a ir dentro del depósito de la tube-ría.

Como un resultado de este cambio de velocidad, una onda de reflexión es producida en el final del depósito de la tube ría que es propagado del depósito a la válvula. Detrás de la onda de reflexión, el flujo de agua hacia el depósito, la tubería se contrae de su posición de expansión y la densidad --

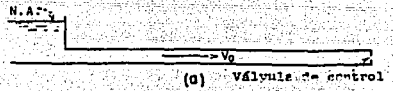


del agua disminuye. Cuando la onda f está cerca de la válvula cerrada una onda de reflexión completa tiene lugar y una segunda onda F se establece con signo contrario a la onda ori ginal directa. Así como esta onda viaja hacia el depósito, se promueven contracciones en la tubería y disminuciones en la densidad del agua detrás de la onda de presión. La veloci dad del agua dentro de la tubería entre el depósito y la onda de enfrente tiene ahora la misma magnitud y dirección que la que existe detrás de la onda f durante su viaje a la válvula. Cuando la segunda onda F se acerca al depósito una segunda on da f se propaga de este punto a la válvula. El efecto de esta onda es el de expander de nuevo la tuberfa y aumentar la densidad del agua. El primer ciclo de onda es completado --cuando la segunda onda f se acerca a la válvula. Ahora una onda de reflexión completa tiene lugar con una válvula cerrada y el ciclo entero es repetido.

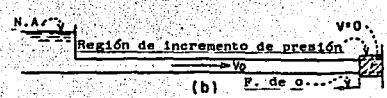
Si el depósito está a cierta distancia que la onda reflejada no puede regresar a la válvula antes de que el movimiento de la válvula sea completado, el mismo cambio de presión máxima ocurre en la válvula como ocurre en un cierre instanténeo.

De aqui que el significado físico de la ecuación 29 es \underline{a} poyar y agrandar lo establecido como sigue:

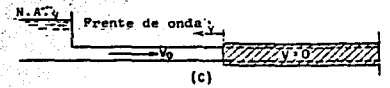




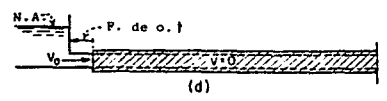
a) Condiciones estables antes del cierre de la válvula.



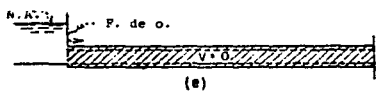
 b) Condiciones pasajeras E-segundos después del cierre ins-tantáneo de la válvula.



c) Condiciones pasajeras en $t=\frac{L}{2a}$ segundos.



d) Condiciones pasajeras en $t=\frac{L}{a}$ -E segundos.

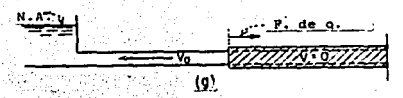


e) Condiciones pasajeras en $t=\frac{L}{a}$ segundos.

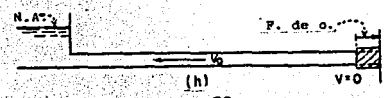




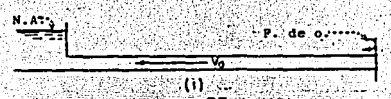
f) Condiciones pasajeras en $t=\frac{L}{a}$ +E segundos.



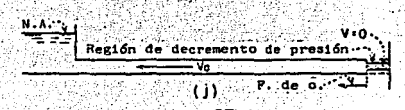
g) Condiciones pasajeras en $t=\frac{3L}{2a}$ segundos.



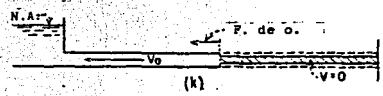
h) Condiciones pasajeras en $t=\frac{2L}{a}$ -E segundos,



1) Condiciones pasajeras en $t = \frac{2L}{a}$ segundos.

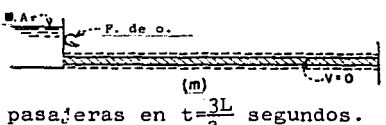


j) Condiciones pasajeras en $t=\frac{2L}{a}$ +E segundos.



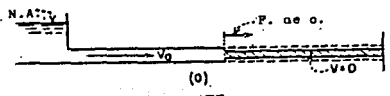
k) Condiciones pasajeras en $t=\frac{5L}{2a}$ segundos.



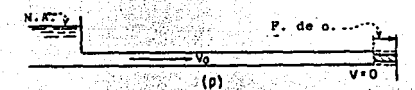


m) Condiciones pasajeras en $t=\frac{3L}{a}$ segundos.

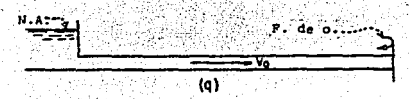




o) Condiciones pasajeras en $t=\frac{7L}{2a}$ segundos.



p) Condiciones pasajeras en $t = \frac{4L}{a}$ -E segundos.



q) Condiciones pasajeras en $t = \frac{4L}{a}$ segundos.

Para un cierre instantâneo o movimiento de válvula que — se complete en menos de 2L/a segundos, el máximo cambio de — carga en la válvula es el mismo; ésto es ΔH= -(a/g) ΔV para — cualquier movimiento de válvula que tenga lugar en menos de — 2 L/a segundos, el máximo cambio de carga se extiende de la — válvula a cierto punto límite a lo largo de la tubería. Este punto límite se puede determinar de la siguiente manera: si — x2 es la distancia del punto límite al depósito, el tiempo de viaje del agua de la válvula al punto límite es (L-x2)/a se—gundos. El tiempo requerido para que la onda de presión viaje de la válvula al depósito y de regreso al punto límite es (L + x2)/a segundos. Si el tiempo total de movimiento de la válvula es T, el tiempo que transcurre del inicio del movi—miento de la válvula al instante en que arriva el cambio del incremento final de presión en el punto límite es

 $T + (L-x_2)/a$.

Así, el punto límite es localizado a lo largo de la tubería en donde la onda directa y la de reflexión se encuentran, ésto es:

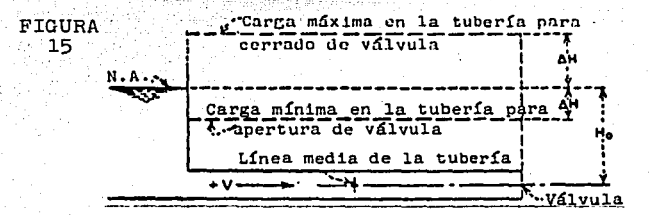
$$\frac{L + x_2}{a} = T + \frac{L - x_2}{a}$$

6

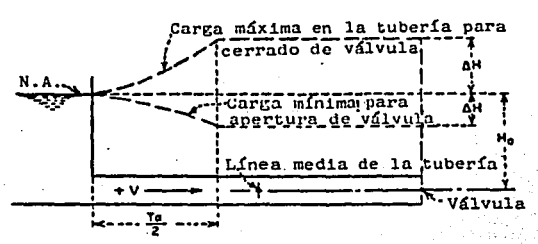
$$x_2 = \frac{Ta}{5} \tag{30}$$

como se muestra en la Figura 15..

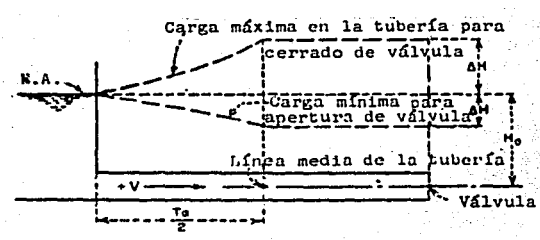




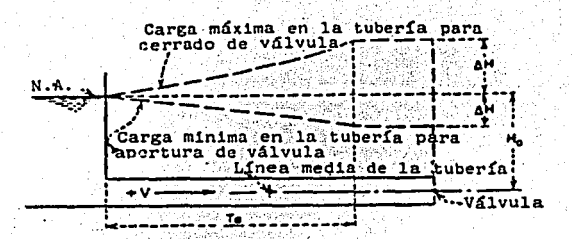
a) Para un movimiento instantáneo de la válvula.



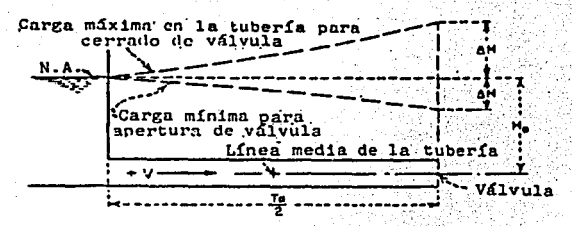
b) Cuando el movimiento de la válvula es menor a $\frac{L}{2}$ segundos.



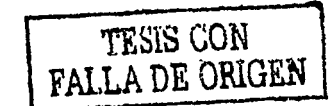
c) Cuando el movimiento de la válvula es igual a $\frac{L}{a}$ segundos.



d) Cuando el movimiento de la válvula es mayor a $\frac{L}{a}$ segundos y menor a $\frac{2L}{a}$ segundos.

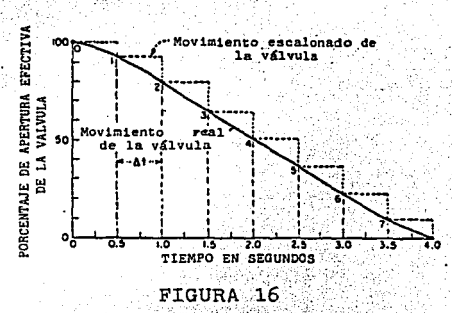


e) Cuando el movimiento de la válvula es igual a $\frac{2L}{a}$ segundos.



2.2.7 GOLPE DE ARIETE PARA MOVIMIENTOS LENTOS DE LA VALVULA.

Cuando el movimiento de la válvula se realiza en 2 L/a - segundos o menos, el máximo cambio de presión en la válvula - es determinado por la ecuación 29, desde que ninguna onda de reflexión regresa a la válvula demasiado pronto como para alterar la presión en el lugar. Sin embargo cuando el tiempo - de movimiento de la válvula es mayor a 2 L/a segundos, ésto - no es muy válido. Para un movimiento de válvula largo, el movimiento actual es aproximado a una serie de movimientos suce sivos de pasos instantáneos. Estos movimientos paso por paso son seleccionados de manera que tengan un valor exacto de la abertura de la válvula en el tiempo de completar cada paso como lo vemos en la Figura 16.



El incremento de presión producido en la válvula por cada uno de estos pasos son señalados de uno a otro por una distancia aat como se muestra en la Figura 17.



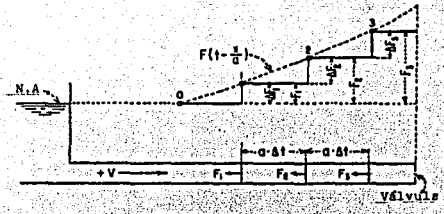


FIGURA 17

Para reducir los cálculos al mínimo, los intervalos de tiempo deben ser los más largos posibles. Después de un mo-vimiento instantáneo de la válvula tiene lugar en la parte -más baja de la tubería, una onda de reflexión retorna a la válvula 2 L/a segundos después. De aqui que el máximo intervalo de tiempo que puede ser usado en los cálculos para deter
minar el golpe de ariete es de 2 L/a segundos. Si más valo-res son deseados para cualquier punto en particular de la tubería, intervalos de tiempo más pequeños son necesarios, al 1
gual que si el movimiento de la válvula es muy irregular.

2.2.8 GOLPE DE ARIETE CAUSADO POR FALTA DE PODER EN LA BOMBA,

Son muchas las condiciones de operación en las instalaciones de bombas centrífugas que pueden causar cambios de pre
sión en las tuberías de descarga. Una de las condiciones más
importantes es la rápida des-aceleración de los motores de -las bombas debidas a la falta de poder. La Figura 18 nos muestra la secuencia de los cambios de presión, flujo y velocidad
de una bomba producidos por falta de poder en el motor propul



Cuando la fuente de poder de una bomba se corta repenti sor. namente, la única energía que queda es usualmente muy pequeña comparada con la necesaria para mantener el flujo sin disminu ción de la carga, la reducción de la velocidad de la bomba es muy rápida. ... Conforme se reduce la velocidad de la bomba, el flujo de descarga también se reduce. Como un resultado de estos rápidos cambios de flujo, ondas de golpe de ariete de presión sub-normal se forma en la línea de descarga de la bom Estas ondas de presión sub-normal se mueven rápido en la tubería de descarga hacia la salida en donde ocurre una refle xión de ondas. Rápidamente la velocidad de la bomba se reduce a un punto en donde el agua no puede ir en contra de la -carga existente, si no hay una valvula de control en la bom-ba. el fluio a través de la bomba se va en reversa, aunque la bomba todavía este rotando hacia adelante: La velocidad de la bomba decae más rápidamente y pasa por la velocidad cero. Un corto tiempo después la bomba, actuando como una turbina, alcanza una velocidad sin control en reversa, conforme la -bomba va teniendo una velocidad sin control en reversa, el flujo en reversa a través de la bomba se reduce rápidamente, y esta reducción en el flujo produce un aumento de presión en la bomba y a lo largo de la tubería de descarga.

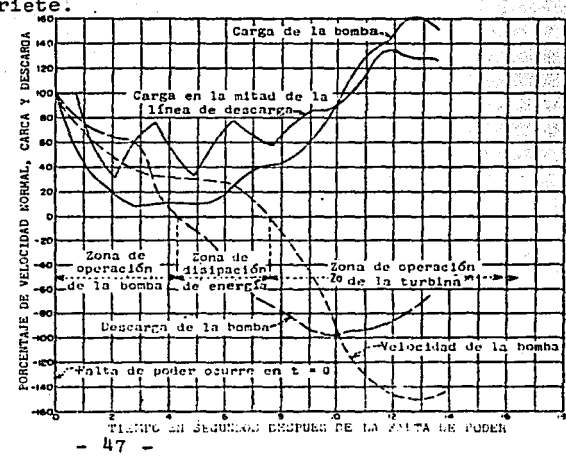
Para determinar las condiciones hidráulicas pasajeras en la bomba y en la linea de descarga debidas a una falta de po-



der en el motor, tres efectos deben de considerarse: la iner cia de la bomba y del motor, las características de bombeo y el fenómeno de ondas de golpe de ariete en la línea de des-carga. El efecto de la inercia se obtiene de la ecuación de inercia. Esta ecuación define la relación entre la veloci -dad de la bomba y el torque en un instante de tiempo dado en términos de la energía cinética del sistema rotativo. Las -características de la bomba se obtienen de un diagrama. te diagrama define la manera en que el torque de la bomba y su velocidad varian con la carga y la descarga a través de un rango de operación como bomba, disipador de energía y turbi -na. Finalmente, el efecto de golpe de ariete se obtiene de las ecuaciones de golpe de ariete. Estas ecuaciones definen las relaciones entre la carga y el flujo en la línea de descarga durante las condiciones pasajeras bajo la acción de las ondas de golpe de ariete.

FIGURA 18

Condiciones pasajeras después de la falta de poder.



TESIS CON FALLA DE ORIGEN

2.2.8.1 Ecuaciones de Inercia.

Cuando la fuente de poder del motor de la bomba se corta repentinamente, la des-aceleración de la bomba en cualquier - instante depende del volante de inercia de las partes rotatorias de la bomba y del motor y del troque instantáneo produci do por el impulsor. Para un sistema rotatorio el torque de a celeramiento es igual al producto del momento de inercia de - la masa del sistema rotario y la aceleración angular. Siguien do una falta de poder en el motor de la bomba el torque de - des-aceleración en el sistema rotatorio corresponde al torque de la bomba. Si el torque de des-aceleración es tomado como positivo.

$$M = -I \frac{W}{t} = \frac{WR^2}{g} \frac{W}{t}$$
 (31)

Para intervalos pequeños de tiempo $\Delta t = t_2-t_1$; esta ecuación escrita aproximadamente de la siguiente manera

$$\frac{M_1 + M_2}{2} = -\frac{WR^2}{g} \frac{(W_2 - W_1)}{\Delta t}$$

$$= \frac{2\pi W R^2}{60g} \frac{N_1 - N_2}{\Delta t} \tag{32}$$

y ahora es escrita con los coeficientes $\alpha=N/Ne$ y $\beta=M/MR$ y - nos queda de la siguiente manera

$$\alpha_{1}-\alpha_{2} = \frac{15 \text{ g Mr}}{\pi W R^{2}Nr} (\beta_{1} + \beta_{2}) \Delta t$$
 (33)

El torque de des-aceleración en una carga y velocidad proporcionada es

$$Mr = \frac{60 \text{ w Hr Qr}}{2\pi \text{ Nr rr}} \tag{34}$$



entonces

$$\kappa_1 - \kappa_2 = \kappa_1(\beta_1 + \beta_2)\Delta t$$
 (35)

en donde

$$\kappa_1 = \frac{450 \text{ g w Hr Qr}}{\pi^2 \text{W R}^2 \text{nr N}^2 \text{r}} = \frac{91600 \text{ Hr Qr}}{\text{W R}^2 \text{ nr N}^2 \text{r}}$$
(36)

2.2.8.2 Características de la Bomba.

Las características del funcionamiento de la bomba nor -malmente las da el fabricante y se muestran en la Figura 19 e incluyen la carga, potencia al freno y eficiencia graficada contra la descarga. Estos datos se convierten a una familia de curvas de torque y velocidad en una gráfica h-v de la si-guiente manera: refiriéndonos a la Figura 20, el punto co--rrespondiente a la carga y descarga proporcionada de la bomba tiene las coordenadas h=1 y v=1. Las curvas para 4=1 y g=1 también pasan a través de este punto en la gráfica si, los va lores de estos coeficientes están definidos por valores pro--Otros valores de 8 en la curva para ==1 son de-porcionados. terminados, calculando valores de h y v de la curva de poten-cia al freno de la Figura 19. Los puntos en el diagrama para otros valores de a y a son de las leyes de homologación de la o peración de la bomba. Por ejemplo, para una bomba dada H y M varian con N² mientras N y √H varian con Q. Para usar estas relaciones en la gráfica h-v una parábola del tipo h = κ_2 v^2 se pasa a través de un punto conocido de la gráfica así como

> TESIS CON FALLA DE ORIGEN

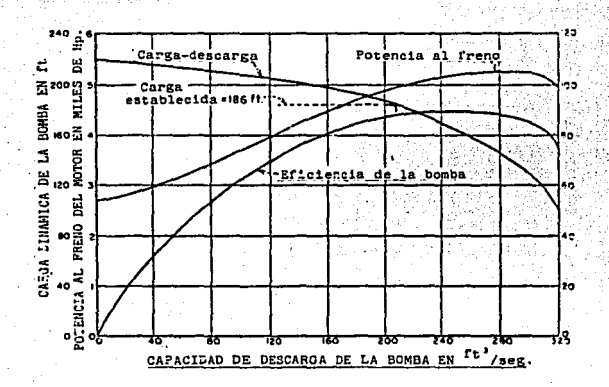


FIGURA 19. Curvas del comportamiento de la bomba.

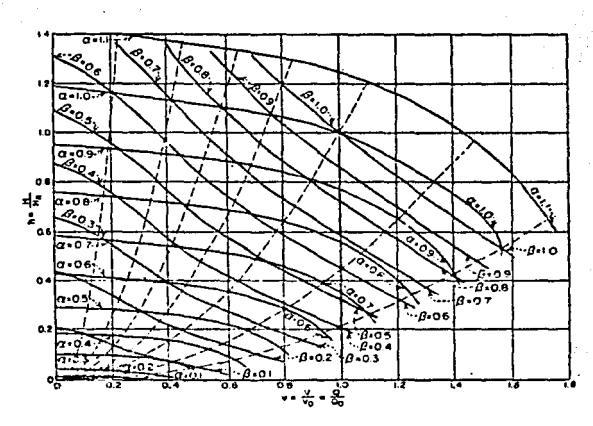


FIGURA 20. Diagrama de la región normal de operación normal de la bomba.



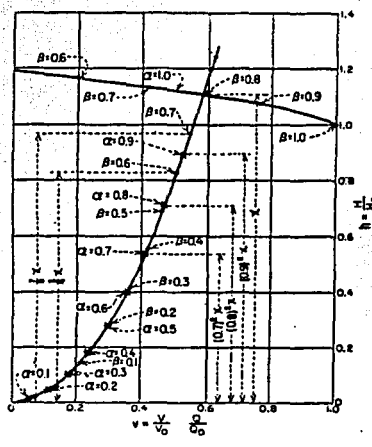


FIGURA 21

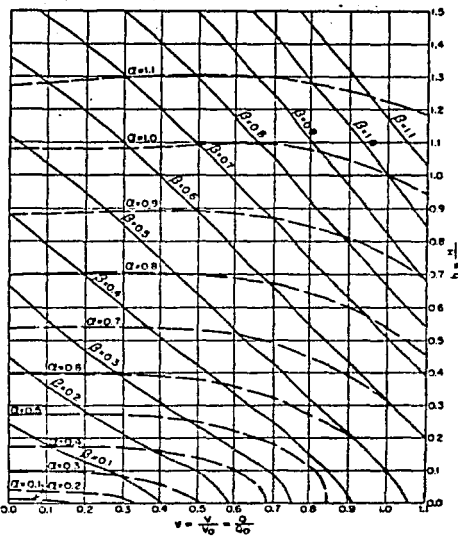


FIGURA 22

- a) Diagrama de la zona de operación normal de la bomba.
- 51 -



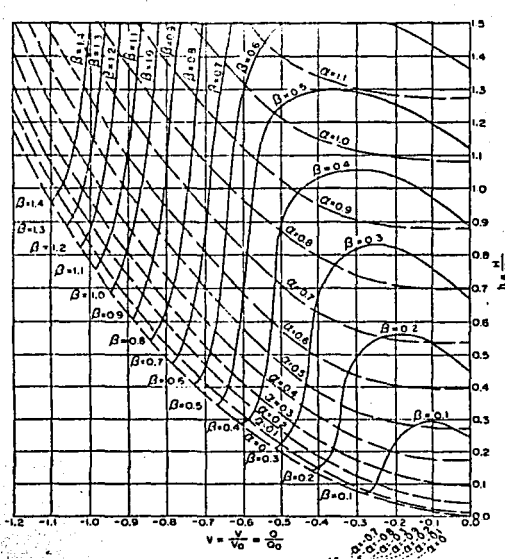
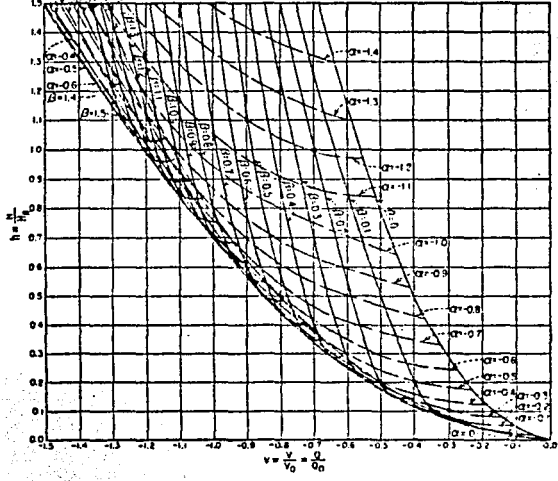


FIGURA 22B. Características de la zona de disipación de energía de la bomba.

FIGURA 22C. Características de la operación de turbina de la bomba.



- 52 -

TESIS CON FALLA DE ORIGEN se muestra en la Figura 21 en «=1.0, β=0.8. La distancia — vertical h=1.1 en este punto es entonces dividido en ocho par tes iguales y los puntos correspondientes a β=0.7, 0.6, etc., se localizan en la parábola con valores ordinarios de h = 7/8 (1.1) 6/8 (1.1), etc. De la misma manera, puntos correspondientes a x=0.9 y 0.8 son localizados en la misma parábola con valores de h=1.1 (0.9)² y 1.1 (0.8)². Una curva sua ve es entonces graficada a través de puntos de varias parábolas correspondientes a cada valor de « y ß . La Figura 20 nos muestra curvas construidas de esta manera.

Las características de la bomba mostradas en la Figura - 20 son para la zona de operación normal. Cuando la falta de poder ocurre, estas características son adecuadas para determinar la presión mínima pasajera en todos los puntos de la - línea de descarga y para determinar la posibilidad de separación de la columna de agua. Sin embargo después de que el -- flujo se regresa a la bomba, características adicionales de - la bomba son requeridas para la zona de disipación de energía en donde la bomba está corriendo hacia adelante con el flujo en contra y para la zona de la operación de la turbina, en - donde el flujo y la rotación de la bomba están ambos en reversa. Características completas de una bomba simple en cada una de las tres zonas se muestran en las Figuras 22A, B y C.

2.2.8.3. Ecuaciones de Golpe de Ariete.

Las ecuaciones de golpe de ariete para una línea de descarga de bomba mostrada en la Figura 23 son las siguientes

$$h_{\beta_1 t_1 - h_{c_1 t_2} = -2\rho_1} (v_{\beta_1 t_1 - v_{c_1 t_2}})$$

$$h_{c_2 t_3 - h_{\beta_2 t_4} = 2\rho_2} (v_{c_2 t_3 - v_{\beta_2 t_4}})$$
(37A)

En estas ecuaciones (t_2-t_1) es el tiempo de viaje de la onda entre C_1 y B_1 para ondas de presión del tipo F_1 y (t_k-t_3) es el tiempo de viaje de las ondas entre C_2 y B_2 para ondas de presión del tipo f_2 . Para una tubería de descarga uniforme $\rho=aVo/2gHr$. Estas ecuaciones definen las relaciones entre la carga y la velocidad durante el fenómeno de golpe de ariete. En un sistema coordenado de h y v estas ecuaciones se representan por líneas rectas, con una pendiente de $\pm 2\rho$ como se muestra en la Figura 24.



FIGURA 23

Cada ecuación de golpe de ariete nos da la relación entre h y v en un punto de la tubería uniforme de descarga en -términos de h y v que son conocidos en otro punto de la línea. Para determitar explicitamente h y v una segunda relación inde



pendiente es necesaria. Esta relación es obtenida de la ecu<u>a</u> ción de inercia de la bomba con el uso de la gráfica de cara<u>c</u> terísticas de la bomba.

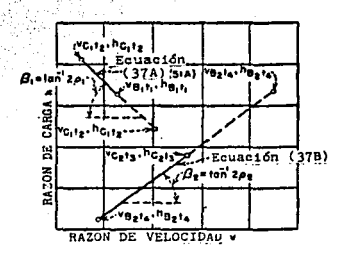


FIGURA 24

2.2.9 ANALISIS GRAFICO DE GOLPE DE ARIETE.

Considerando la instalación de la bomba de la Figura 25, si una falta de poder ocurre en los tres motores de la bomba, $2\rho = 2.31 \text{ y } \kappa_1 = .224 \text{ para un intervalo de tiempo } \Delta t = L/4a$, $\kappa_1 = \kappa_1 \Delta t (\beta_1 + \beta_2) = 0.0782 (\beta_1 + \beta_2)$ (38)

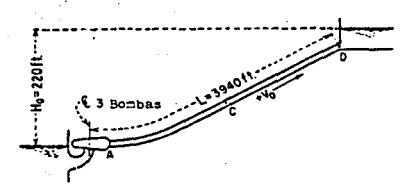
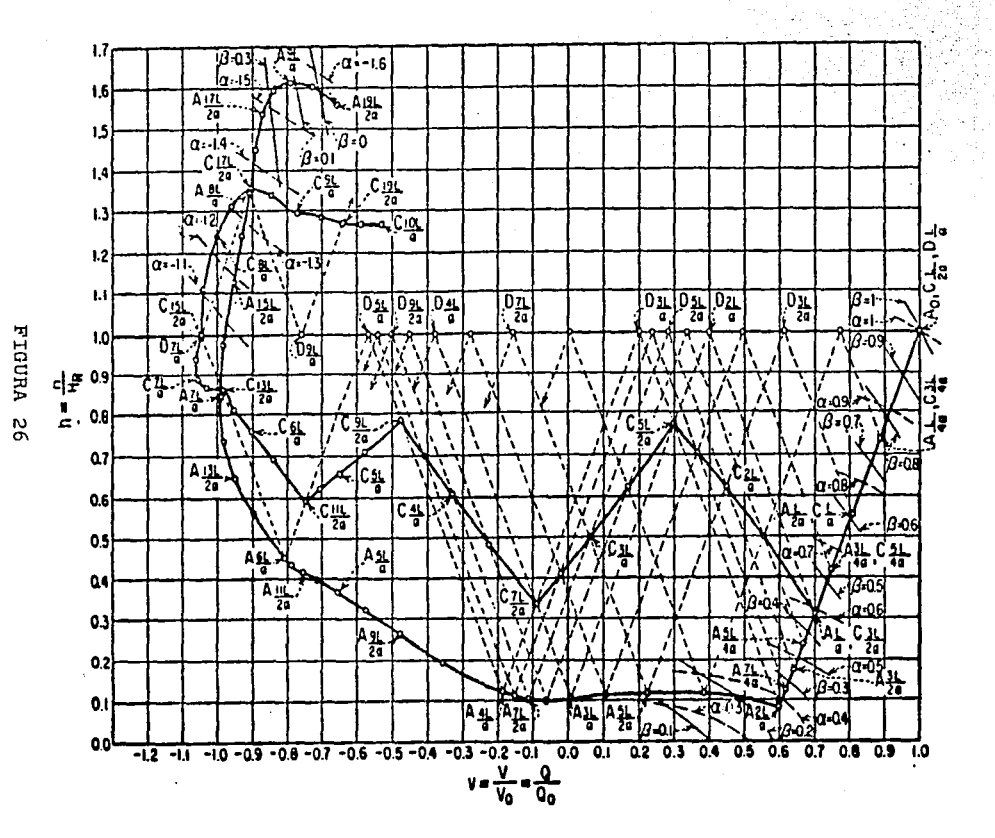


FIGURA 25



90



COEFTCIENTES DE VELOCIDAD Y TORQUE EN LA BOMBA

ELICIENTED DE AEROCIDAD			T TOTALDE DIT DA DO	
Localiza- ción	β Torque	æ Vel.	C,-C ₂ De curvas	a, - a₂ De ec. 35
Ao	1.000	1.000	0	0
A <u>L</u>	0.760	0.863	0.137	0.136
A <u>t</u>	0.610	0.755	0.108	0.107
A H	0.520	0.668	0.087	0.048
ΑĻ	0.440	0.592	0.076	0.075
A 51.	0.380	0.528	0.064	0.064
A 34.	0.325	0.472	0.056	0.055
A : L	0.285	0.425	0.047	0.047
A <u>2L</u>	0.250	0.383	0.042	0.042
A 9 <u>L</u> 40	0.170	0.350	0.033	0.033

TABLA 1

La solución simultánea de las ecuaciones de golpe de a-riete y de las ecuaciones de inercia de la gráfica de características de la bomba por métodos gráficos se muestra en la Figura 26.

Las características completas usadas en esta solución -- son las de las Figuras 22A, B y C. El punto inicial corres-- pondiente a Ao es localizado en la gráfica h-v en las coordenadas h=1, v=1. A L/4a es entonces localizado en la línea -- con pendiente 2ρ =+2.31 que pasa a través de Ao de la siguiente manera. Se estima la localización de A L/4a. Valores de α_2 y β_2 son entonces leidos de las curvas de características

de las bombas. Este valor de β_2 es usado en la ecuación 38 para calcular α_2 . Si el valor calculado de α_2 no coincide con el valor de la curva de α_2 , el punto A L/4a es transladado arriba o abajo de la línea de pendiente $2\rho=+2.31$ hasta que este valor de α_2 coincida. Este punto particular es buscado para localizarlo en el valor de α_2 0.760 y α_2 0.863. Otros puntos para A L/2a, A L/3a, se determinan de manera similar.

Los valores para muchos de estos puntos se muestran en la Tabla 1 de donde podemos leer los siguientes valores:

Máxima caida de carga en la bomba = 0.92 Ho = 202 ft.

Máxima caida de carga en la mitad de la tubería = 0.69 Ho =
152 ft.

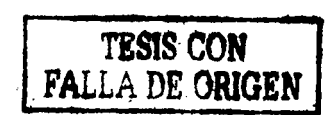
Máximo aumento de carga en la bomba = 0.61 Ho = 134 ft.

Máximo aumento de carga en la mitad de la tubería = 0.35 Ho
= 77 ft.

2.2.10 SEPARACION DE LA COLUMNA DE AGUA.

Los máximos cambios positivos y negativos de presión obtenidos de la solución del golpe de ariete son graficados en la tubería de descarga de la Figura 27, para mostrar los límites de presión para los cuales la tubería de descarga debe — ser diseñada.

Cuando la minima presión en cualquier punto de la tube--



ría de descarga de la bomba se acerca a la presión de vapor del agua, la solución del golpe de ariete no es válida. Si esta condición de presión sub-atmosférica dentro de la tube-ría persiste para un periódo largo. la columna líquida de a-gua se parte y es separada por una sección de vapor. ración de la columna de agua. Valgunas veces ocurre durante la oleada negativa en tuberías de descarga largas en puntos al -tos que están cerca del grandiente hidráulico. sible, esta condición debe ser suprimida con el uso de tan--ques de oscilación o acumuladores hidráulicos o un motor más grande WR², debido a la alta presión originada cuando se ejecutan dos columnas de agua. Cuando la separación de la colum na de agua no se puede surpimir, significados especiales se deben tomar en cuenta para minimizar la violencia del impacto debido al reencuentro de la columnas de agua. Esto puede ser completado poniendo válvulas especiales u otros dispositivos que aumenten o reduzcan la velocidad de la onda.

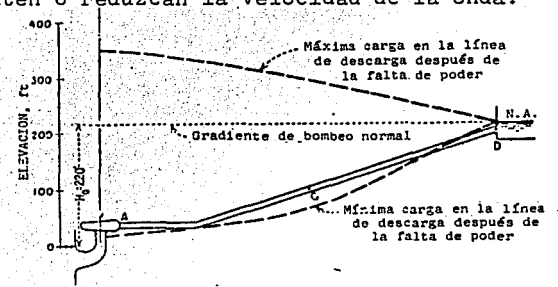
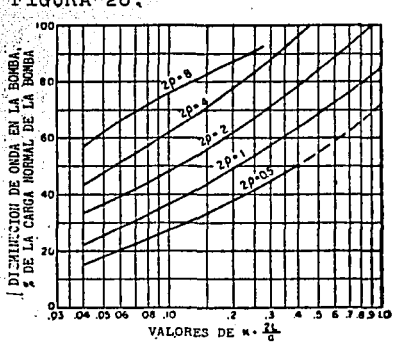
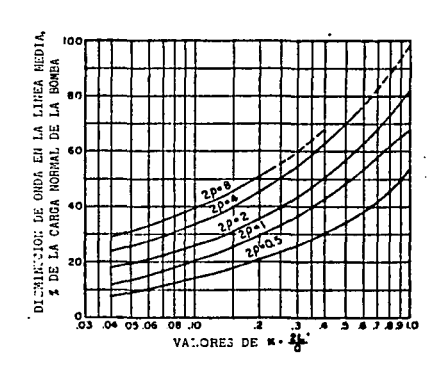


FIGURA 27



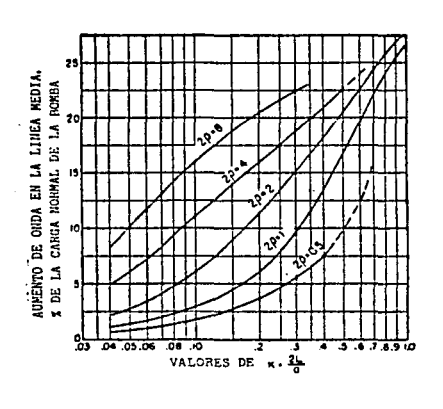
FIGURA 28,

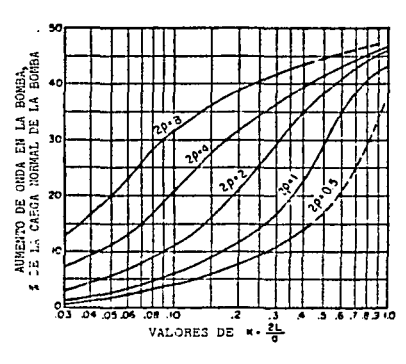




(a)

(b)





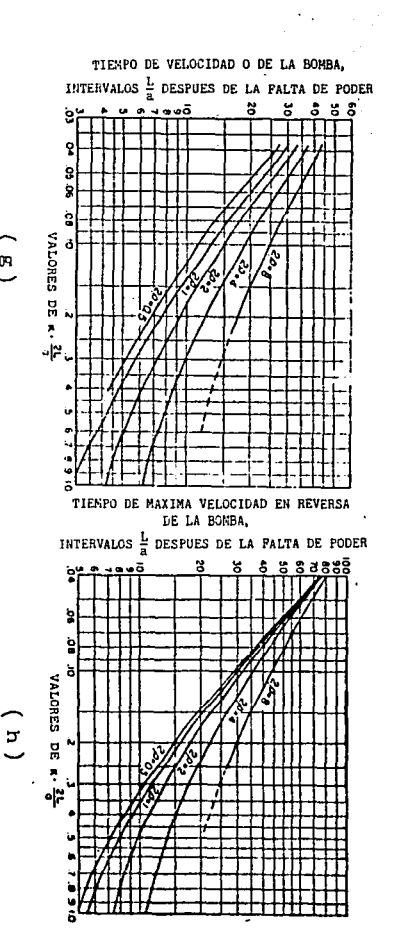
(c)

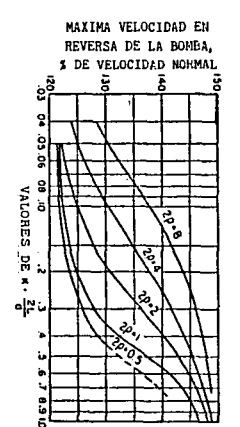
(a)

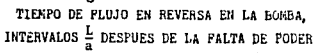
- 60 -

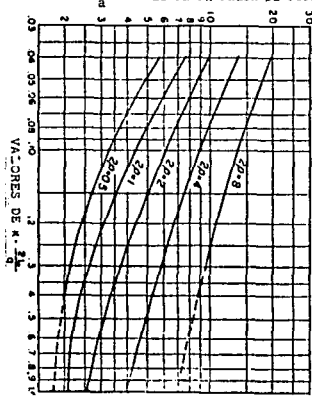
TESIS CON FALLA DE ORIGEN











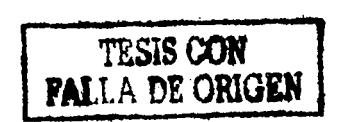
2.2.11 GRAFICAS DE GOLPE DE ARIETE.

Para obtener la solución gráfica de golpe de ariete por falta de poder en el motor de la bomba, dos parametros independientes se deben tomar en cuenta: la constante de la tube ría ρ y $\kappa_1(2L/a)$, una constante que incluye el efecto de inercia de la bomba y del motor y el tiempo de viaje de la onda de golpe de ariete en la tubería de descarga.

Para un grupo de características de bombas los resulta-dos de un largo número de soluciones de golpe de ariete se -muestran en las Figuras 28. Estas gráficas muestran un método conveniente para obtener las condiciones límites pasajeras
en la bomba y en la tubería de descarga cuando no se presen-tan válvulas de control. También estas gráficas son teóricamente aplicable a un tipo particular de bomba que opera a una
carga proporcionada anterior a la falta de poder y son muy útiles para obtener la solución aproximada de los efectos de -golpe de ariete en cualquier tubería de descarga.

2.2.12 SOLUCIONES ESPECIALES DE GOLPE DE ARIETE.

Líneas de descarga con válvula de retención. Para una línea de descarga con una válvula de retención en el lado de
descarga de la bomba, la descarga normal de la bomba mantiene la válvula de retención abienta. Sin embargo cuando el flujo a través de la bomba se regresa por una falta de poder



la válvula de retención cierra rápidamente, y los efectos de golpe de ariete se determinan de la misma manera que para una tubería cerrada y en el caso de que el cierre de la válvula - de retención se atrase, el aumento de carga en la válvula pue de ser mayor.

Tubería de descarga de una bomba con una tubería larga — de succión. Considerando la instalación mostrada en la Figura 29. Cuando las bombas operan con una carga de H"_B en el — lado de descarga y una H'_B en el lado de succión, la descarga de la bomba depende de la carga de bombeo H=H"_B-H'_B. Sobre la falta de poder en los motores de la bomba ondas de presión sub-normal en B" en el lado de descarga de la bomba, que se mueve hacia la salida de descarga en D y ondas positivas de — presión en B' en el lado de succión que se mueven hacia la en trada A. En la solución gráfica de golpe de ariete para este problema con intervalos de tiempo de $L_1/a_1=L_2/a_2$ segundos, — son usados en los cálculos. Ahora B" o y D L_2/a_2 se locali—zan en h=1 v=1, mientras que B'o y A L_1/a_1 se localizan en -h=0, v=1, se muestran en la Figura 29.

Una línea es ahora graficada del punto D L_2/a_2 , con una pendiente de $\pm 2\rho_2 = 2.31$ en donde el punto correspondiente a $\pm 2\rho_2 = 2.31$ en donde el punto correspondiente a $\pm 2\rho_2 = 2.31$ en donde el punto A $\pm 2\rho_1 = 2.31$ en donde el punto A $\pm 2\rho_1 = 2.31$ en donde el punto A $\pm 2\rho_1 = 2.31$ en donde el punto A $\pm 2\rho_1 = 2.31$ en donde el punto A $\pm 2\rho_1 = 2.31$ en donde el punto A $\pm 2\rho_1 = 2.31$ en donde el punto A $\pm 2\rho_1 = 2.31$ en donde el punto A $\pm 2\rho_1 = 2.31$ en donde el punto A $\pm 2\rho_1 = 2.31$ en donde el punto A $\pm 2\rho_1 = 2.31$ en donde el punto B $\pm 2\rho_1 = 2.31$ en donde el punt



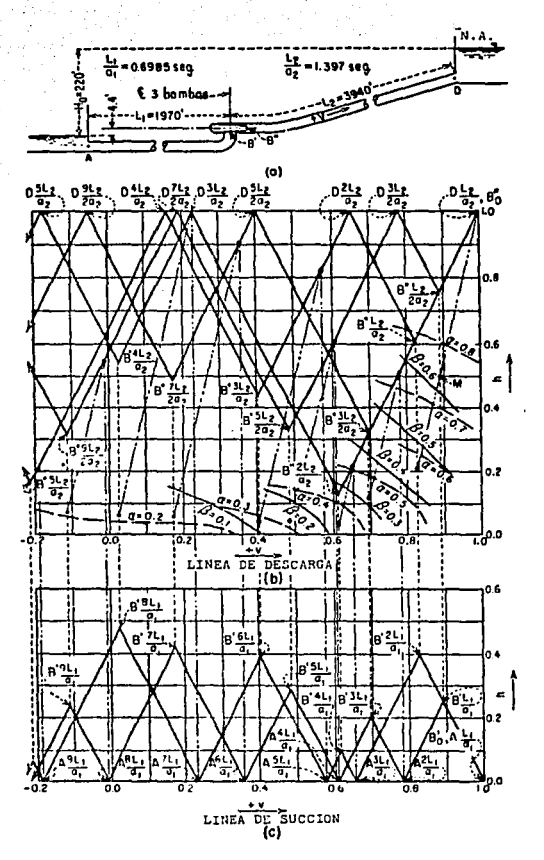


FIGURA 29

de se localiza el punto B'L1/a1. Uno de los requerimientos para localizar los puntos B" L2/2a2 y B'L1/a1 es que si vB" L2/22=vB'L1/21 estos puntos se localizan en la misma l1-nea vertical. Otro de los requerimientos es que en t=L1/a1 segundos el cambio en la velocidad de la bomba debe satisfa-cer la ecuación 35 para carga de bombeo de (hB"L2/a2-hB'L1/ a1). Un método gráfico simple es usado para localizar los -puntos B" L2/2a2 y B'L1/a1 con lineas punteadas en la Figura 29. Empezando por el punto D L2/a2 graficar una línea puntea da cuya tangente sea +2(p1+p2). En estas lineas punteadas se determina por ensayo el punto en las curvas de la bomba que satisfaga la ecuación 35. Por ejemplo, el punto correspon--diente a t=L1/a1 es localizado en el punto M, en donde L=0.745. Los puntos correspondientes a B" L2/2a2 y B'L1/a1-son entonces localizados en la línea vertical que pasa a través del punto M. Los otros puntos se determinan de manera si milar.

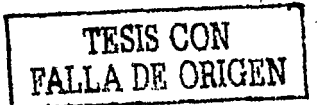
2.2.13 EFECTO DE LAS VALVULAS DE CONTROL.

Existen muchos tipos de válvulas de control usadas en -- las plantas de bombeo. Los métodos de análisis de golpe de a riete que se dan anteriormente se aplican al efecto de cual-- quier tipo de válvula de control. Sin embargo, el tiempo y - la manera en que las válvulas de control actuan deben de ser conocidas al igual que las características del flujo en la --



válvula para diferentes grados de abertura. Para las condisciones de faita de poder en los motores de la bomba la solucción gráfica de golpe de ariete se realiza inicialmente con las características de la bomba usando las ecuaciones de inercia y de golpe de ariete como lo hemos visto anteriormente — hasta que el flujo es controlado. La solución gráfica es entonces complementada con las ecuaciones de golpe de ariete y las parabolas correspondientes al flujo que pasa a través de la válvula de control.

Figuras 30 y 31 muestran los efectos de un cierre rápido de las válvulas de retención. Cuando el cierre de la válvula es dentro, la última parte de la gráficas se hace con parábolas como se muestra en la Figura 32. Esta figura, muestra el efecto de un cierre lento de una válvula de control que regula el flujo en 11 L/2a segundos después de la falta de poder.



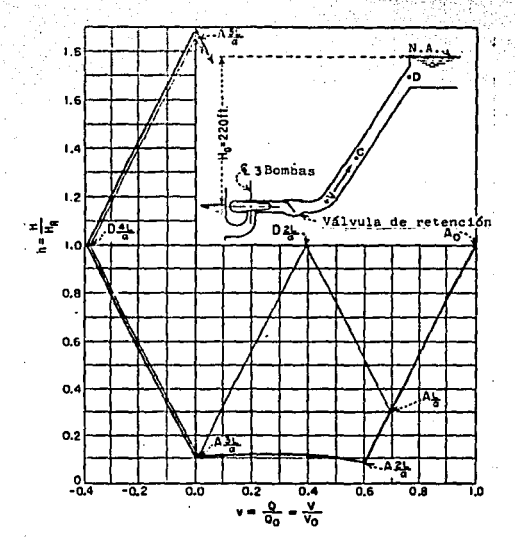
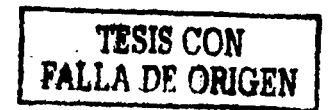


FIGURA 30

2.2.14 ARRANCANDO Y PARANDO LAS BOMBAS.

Los efectos del golpe de ariete debidos al arranque normal de las bombas son relativamente pequeños. Sin embargo, estos efectos pueden ser minimizados por el uso de una válvula de control correcta o por equipo de arranque y verificado que todo el aire es removido de la tubería de descarga. Si hay una válvula de interrupción del lado de la descarga de la bomba, la bomba aumenta su velocidad con la válvula cerrada.



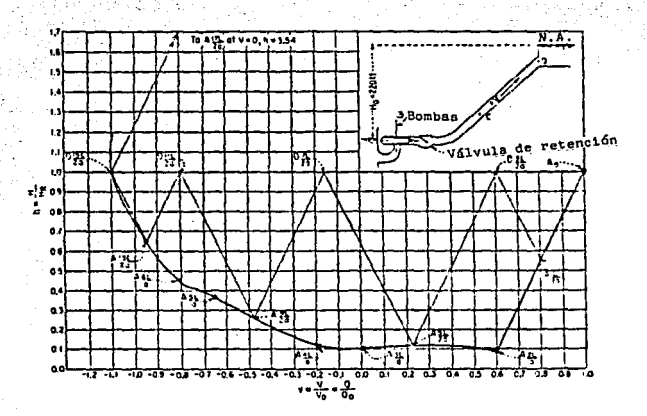


FIGURA 31

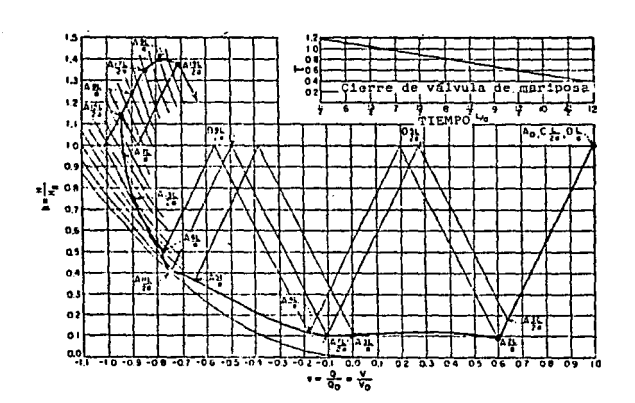
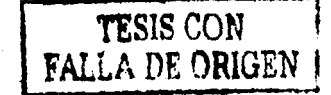


FIGURA 32

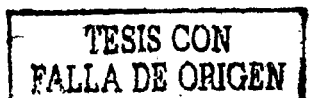


La válvula es entonces abierta lentamente sin ningún efecto a preciable de golpe de ariete en la línea de descarga. Si sacamos de servicio la bomba no existe ningún problema con el golpe de ariete si cerramos lentamente la válvula antes de desconectar el motor de la bomba.

2.2.15 ANALISIS DE GOLPE DE ARIETE INCLUYENDO LAS PERDIDAS -

Asumimos anteriormente que las pérdidas hidráulicas comparadas con los cambios de presión eran despreciables. Esto se justifica para la mayoría de las tuberías en donde cambios rápidos de flujo son más frecuentes. Ocasionalmente, es nece sario incluir el efecto de pérdidas hidráulicas en los cálculos de golpe de ariete. Si se asume que la velocidad de la carga y las pérdidas hidráulicas varían con V, el efecto de estas pérdidas pueden ser incluidas en las ecuaciones de golpe de ariete con la introducción de un término V en la ecuación 7, la ecuación de equilibrio para un elemento de agua. Sin embargo, la solución simultánea de la ecuación resultante con la ecuación 8, la ecuación de continuidad para un elemento de agua no es posible.

Para tuberías que incluyen movimientos de válvulas, una primera aproximación al efecto de pérdidas hidráulicas se obtiene en la solución de golpe de ariete por una obstrucción -



hipotética localizada en la parte superior de la tubería. Por ejemplo, considerando la tubería mostrada en la Figura 33 y - su relación de cierre de válvula de la misma figura. La pérdida de entrada, la fricción y la velocidad de carga en la tubería para un flujo inicial Hf=13.4 ft. de donde

 $hf = \frac{Hf}{Ho} \left(\frac{V}{Vo}\right)^2 = 0.028v^2$

como se muestra en la parábola de pérdida de carga de la Figura 33. En la solución gráfica del golpe de ariete que se --- muestra en la figura la obstrucción hipotética esta localizada en C. De aqui que los puntos Cit están localizados en la línea horizontal punteada en h=1.028 y los puntos para Ct en la parábola de pérdidas de carga.

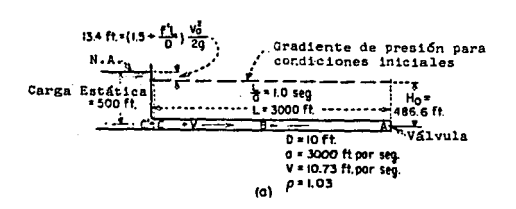
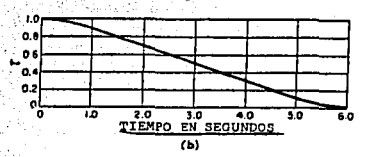


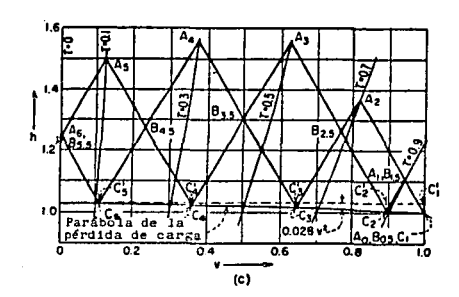
FIGURA 33



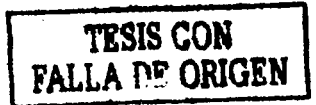
FIGURA 33.



Relación del tiempo de cerrado de la válvula



Pérdidas Concentradas en la Tubería de Salida. Para una tubería de salida los efectos de las pérdidas hidráulicas a - lo largo de toda la tubería para la solución de golpe de arie te se pueden asumir como una obstrucción hipotética en la salida de la tubería de descarga. Esta es la misma instalación que en la Figura 25. Para esta instalación hf=0.07v² y



ho=1-0.07 $(1-v^2)$ para el flujo normal y ho=1-0.07 $(1+v^2)$ cuando el flujo se regresa a la bomba. Las pérdidas de carga se muestran en la Figura 34 junto a la solución de golpe de a-riete y una falta de poder en los motores.

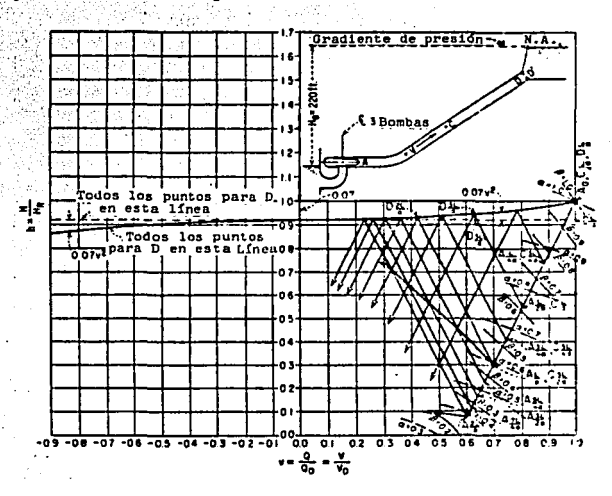


FIGURA 34

2,2,16 ANALISIS DE GOLPE DE ARIETE PARA TUBERIAS COMPUESTAS.

El análisis de golpe de ariete descrito anteriormente es para tuberías sin ramificaciones, uniformes y con cambios de diametro, ahora desarrollaremos un método para determinar el - golpe de ariete en tuberías con ramificaciones. Cuando tres tuberías se unen como en la Figura 35 y la velocidad de carga



y las pérdidas hidráulicas se desprecian. Los requerimientos para la continuidad de flujo en la unión es

$$A^{ij} \cdot VB^{ij} \cdot t = A^{i+1}VB^{i+1}t + A^{i}VB^{i}t$$
 (39)

Si esta ecuación es dividida por A" VB" o

$$\frac{VB^{ii} \cdot t}{VB^{ii} \cdot 0} = \frac{A^{i}t^{i}VB^{i}^{i}t^{i}t}{A^{ii} \cdot VB^{ii} \cdot 0} + \frac{A^{i}VB^{i}t}{A^{ii} \cdot VB^{ii} \cdot 0}$$

Los términos del lado derecho de la ecuación se definen de la siguiente manera

$$\nabla B^{\dagger \dagger \dagger \dagger t} = \frac{A^{\dagger \dagger \dagger \dagger} \nabla B^{\dagger \dagger \dagger \dagger t}}{A^{\dagger \dagger} \nabla B^{\dagger \dagger}} = \frac{A^{\dagger \dagger \dagger \dagger} \nabla B^{\dagger \dagger \dagger \dagger t}}{Q^{\dagger \dagger}}$$
;

$$\overline{v}B^{\dagger}t = \frac{A^{\dagger}VB^{\dagger}t}{A^{\dagger}VB^{\dagger}\cdots O} = \frac{A^{\dagger}VB^{\dagger}t}{Q^{\dagger}\cdots O}$$

Esta definición arbitraria de los cocientes de velocidad $\overline{y}B^{1}$ t y $\overline{y}B^{1}$ t simplifican la representación gráfica de las ecuaciones para tuberías compuestas.

El requerimiento de continuidad de flujo en la unión es entonces

La ecuación conjugada de golpe de ariete para las ondas del tipo F entre B' y E es

$$HB^{\dagger}t_1 - HEt_2 = \frac{a^{\dagger}}{g} (VB^{\dagger}t_1 - VEt_2)$$

en donde

$$t_2 - t_1 = \frac{\alpha!}{2!}$$

Esta ecuación puede ser escrita de la siguiente manera $hB^{\dagger}t_{1}-hEt_{2} = 2\bar{\rho}^{\dagger}(\bar{\nu}B^{\dagger}t_{1}-\bar{\nu}Et_{2}) \qquad ($

nb ti-net2 = 2p (Vb ti- Vet2

(40)

donde



$$\bar{\rho}^{\dagger} = \frac{a^{\dagger}Q^{\dagger\prime} \circ o}{2gHoA^{\dagger}}$$

La ecuación para las ondas del tipo f entre E y B; son $hEt_3 - hB^1t_4 = -2\bar{\rho}^1(\bar{\nu}Et_3 - \bar{\nu}B^1t_4)$

de manera similar las ecuaciones conjugadas de golpe de ariete para una tubería B" C

$$\rho^{**} = \frac{a^{**} Q^{**} o}{2gHoA^{**}} = \frac{a^{**} V^{**} o}{2gHo}$$

y para una tubería Bilip

vemos que $\bar{\rho}^{\dagger}$ y $\bar{\rho}^{\dagger}$ to son valores verdaderos de la constante de la tubería, pero son similares.

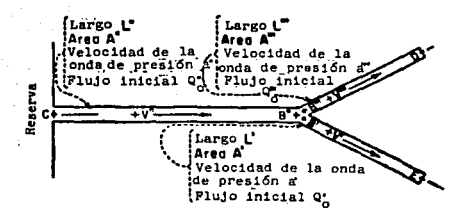


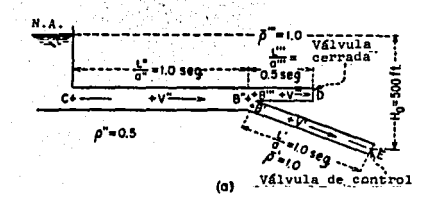
FIGURA 35

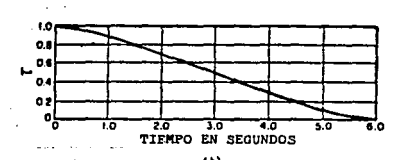
Considerando la instalación de la tubería con una cone-xión sin salida como se muestra en la Figura 36 y la gráfica del cierre de válvula de la misma figura. La solución gráfica se muestra en la Figura 36. Para esta solución el coefi--

ciente de presión se mantiene constante, el coeficiente de velocidad v=o se mantienen constante en D la rama sin salida.

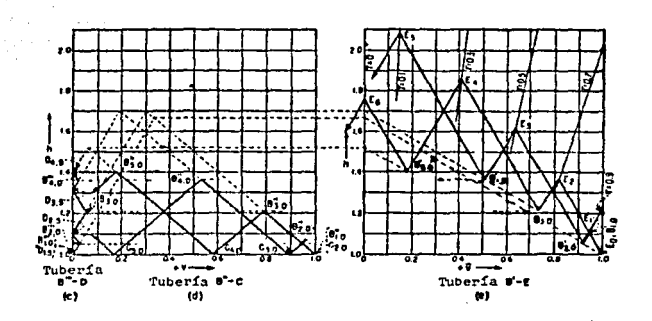
Si consideramos la Figura 37, que es un sistema compuesto con dos válvulas de control, dos juegos de parábolas se usan para acomodar el flujo variable de cada válvula. El punto inicial de la solución gráfica se localiza en el cociente de flujos de las ramas y la solución completa se muestra en la figura.

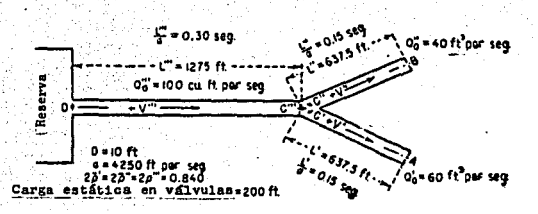


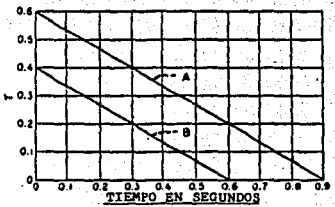




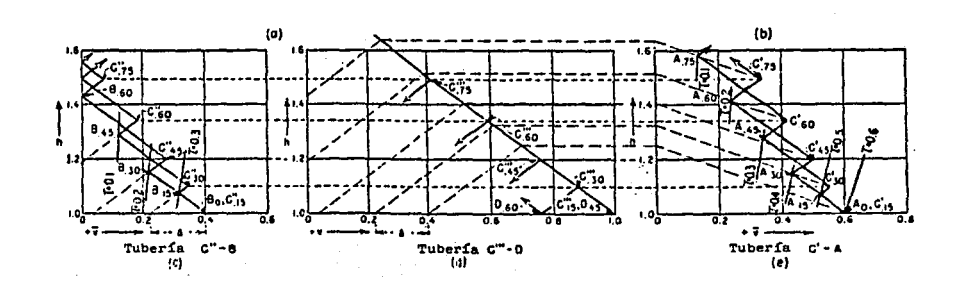
Relación del tiempo de cerrado de la válvula







Relación del tiempo de - cerrado de la válvula



TESIS CON FALLA DE ORIGEN

2.3 METODOS DE SOLUCION

2.3.1 SOLUCION MATEMATICA.

La solución matemática del fenómeno de golpe de ariete - se basa en la Teoría de la Columna Rígida de Agua y en la Teoría de la Columna Elástica de Agua, como vimos anteriormente, hasta llegar a las Ecuaciones de Allievi o Ecuaciones Funda--mentales del Golpe de Ariete, que son:

H - Ho= F
$$(t - \frac{x}{a}) + f(t + \frac{x}{a})$$
 (15)

$$V - V_0 = -\frac{g}{a} \left[F(t - \frac{x}{a}) - f(t + \frac{x}{a}) \right]$$
 (16)

en donde Ho es igual a la carga para condiciones estables, H es la carga de oscilación; Fy f son las ondas de presión que viajan en sentido positivo y negativo respectivamente; t es el tiempo; a es la velocidad de la onda de presión y x es la distancia en el conducto de un punto a otro. Vo es la velocidad del fluido en condiciones estables y V es la velocidad -- del fluido cuando ocurre la oscilación.

TESIS CON FALLA DE ORIGEN

2.3.2 METODO GRAFICO DE ANGUS

PARA EL ANALISIS DEL GOLPE DE ARIETE.

La solución analítica de golpe de ariete, implica una serie extensa de cálculos para obtener una solución. Para obtener esta solución más rápidamente un método gráfico de análisis se ha desarrollado. El método es el siguiente:

De las ecuaciones fundamentales de golpe de ariete

H-Ho=
$$F(t - \frac{x}{a}) + f(t + \frac{x}{a})$$
 (15)

$$V-V_0 = -\frac{g}{a} \left[F(t - \frac{x}{a}) - f(t + \frac{x}{a}) \right]$$
 (16)

sustituyendo la ecuación 16 en la 15 tenemos

H-Ho=
$$\frac{a}{g}$$
 (V-Vo) + 2 F (t' - $\frac{x}{a}$) (41)

y la suma de las ecuaciones 15 y 16 nos da

$$H-Ho = -\frac{a}{c}(V - Vo) + 2f(t + \frac{x}{a})$$
 (42)

Como la ecuación 41 contiene sólo el término de la onda F, es ta ecuación define la relación de velocidad y carga en la tubería en términos de la onda F. De un modo similar, la ecuación 42 define la relación entre la carga y la velocidad en función de los términos de la onda f.

TESIS CON FALLA DE COMO EN

- 79 -

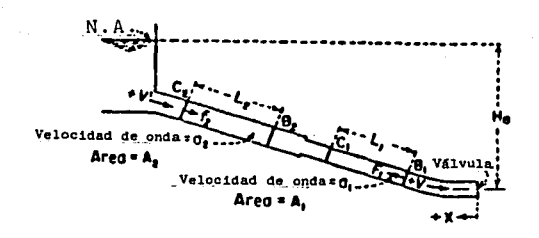


FIGURA 38

Considerando la tubería de la Figura 38. La sección más baja de la tubería es de diametro y espesor uniforme y tiene una velocidad de onda de a₁ mientras que en la sección superior de la tubería tiene una velocidad de onda de a₂. Si su ponemos que hay una onda Fi en B₁ en un tiempo ti.

El movimiento hacia arriba de la tubería de esta onda -- con la velocidad a_1 y llega a C_1 en $t_2=t_1+L_1/a_1$ segundos. De modo similar supondremos que hay una onda f_2 en C_2 en un tiem po t_3 . Esta onda se mueve para abajo en la tubería con una -- velocidad de a_2 y llega a B_2 en $t_4=t_3+L_2/a_2$. Ahora aplica-- mos la ecuación 41 en B_1 y C_1 y la ecuación 42 en B_2 y C_2

$$HB_1t_1 - HB_1to = \frac{a_1}{g} (VB_1t_1 - VB_1to) + 2F_1$$

 $HC_1t_2 - HC_1t_0 = \frac{81}{8} (VC_1t_2 - VC_1t_0) + 2F_1$

 $HC_2t_3 - HC_2t_0 = -\frac{32}{8}(V^{\dagger}C_2t_3 - V^{\dagger}C_2t_0) + 2f_2$



$$HB_2t_4 - HB_2t_0 = -\frac{a_2}{g}(V'B_2t_4 - V'B_2t_0) + 2f_2$$

Después de eliminar F_1 y f_2 de estas ecuaciones y usando las siguientes relaciones

HB1to=HC1to

HC2to=HB2to

VB1to=VC1to

V'B2to=V'C2to

se obtienen las siguientes ecuaciones

$$HB_1t_1 - HC_1t_2 = \frac{a_1}{g}(VB_1t_1 - VC_1t_2)$$
 (43)

$$HC_2t_2 - HB_2t_4 = -\frac{a_2}{g}(V^{\dagger}C_2t_2 - V^{\dagger}B_2t_4)$$
 (44)

En la derivación de las ecuaciones 43 y 44, B_1 y C_1 son puntos arbitrarios en la parte baja de la tubería uniforme, - mientras que B_2 y C_2 son puntos arbitrarios en la sección alta de la tubería.

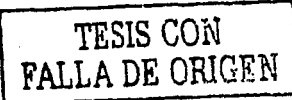
De aqui que estas ecuaciones sean aplicables entre dos puntos cualesquiera, incluyendo los puntos finales en cual--quier sección de la tubería uniforme.

Estas ecuaciones son reescritas para obtener los siguientes coeficientes:

$$h = \frac{H}{Ho}$$

$$v = \frac{V'}{VO} = \frac{V'}{V^2O}$$

para cerrado de la válvula



$$v = \frac{V}{Ve} = \frac{V!}{V!e}$$
 para abertura de la válvula

en donde Vo y V'o son las velocidades estables antes de empezar a mover las válvulas; Ve y V'e son las velocidades esta-bles cuando la válvula se ha abierto completamente.

Así

$$hB_1t_1 - hC_1t_2 = 2\rho_1(vB_1t_1 - vC_1t_2)$$
 (45)

$$hC_2t_3 - hB_2t_4 = -2\rho_2(\nu C_2t_3 - \nu B_2t_4)$$
 (46)

de donde para el cierre de la válvula

$$\rho_1 = \frac{a_1 Vo}{2gHo} \quad y \quad \rho_2 = \frac{a_2 V^{\dagger}o}{2gHo}$$

y para la abertura de la válvula

$$\rho_1 = \frac{a_1 Ve}{2gHo} \quad y \quad \rho_2 = \frac{a_2 V'e}{2gHo}$$

Las ecuaciones 45 y 46 son las ecuaciones conjugadas de golpe de ariete, mientras que ρ_1 y ρ_2 son las constantes de la tubería. En un sistema coordenado de h y v, las ecuaciones - conjugadas están representadas por líneas rectas con una pendiente de $\pm 2\rho$ y pasan por puntos conocidos.

2.3.2.1 ECUACIONES DE DESCARGA DE LA VALVULA.

Cada ecuación conjugada de golpe de ariete, define una relación entre h y v en un punto de una tubería uniforme en -términos de h y v en otro punto de la tubería bajo la acción del fenómeno de golpe de ariete. Para determinar explicita--

TESIS CON FALLA DE ORIGEN mente h y v una segunda relación independiente es necesaria. Para la operación de la válvula esta relación se determina de
la descarga en la válvula. La descarga inicial bajo condicio
nes estables es:

VAo = Bo √HAo

y la descarga en cualquier instante de abertura de la válvula y carga se define como:

$$\mathbf{v}\mathbf{A} = \mathbf{r} \sqrt{\mathbf{h}\mathbf{A}} \tag{47}$$

$$vA = \frac{VA}{VAO}$$
; $hA = \frac{HA}{HO}$; $r = \frac{B}{BO}$

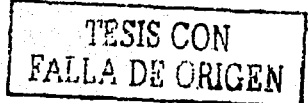
También se ha derivado la ecuación 47 para el cerrado de la - válvula y se obtienen resultados idénticos poniendo $r=\frac{B}{Be}$ en - donde Be es el factor de abertura de la válvula al final del movimiento de la misma.

2.3.2.2 SOLUCION GRAFICA PARA EL CERRADO DE LA VALVULA.

La solución gráfica para el cerrado de la válvula que se muestra en la Figura 39A, B, de una forma simple, el aumento de carga en la válvula es determinado para intervalos de tiem po de 2 segundos. Desde que la onda viaja de A a E es 1 sequendo. Las ecuaciones conjugadas de golpe de ariete para los puntos finales de la tubería son las siguientes:

$$hAo - hE_1 = +2 (vAo - vE_1)$$
 (a)

$$hE_1 - hA_2 = -2 (vE_1 - vA_2)$$
 (b) (48)



$$hA_2 - hE_3 = +2 (vA_2 - vE_3)$$
 (c)
 $hE_3 - hA_4 = -2 (vE_3 - vA_4)$ (d)
 $hA_4 - hE_5 = +2 (vA_4 - vE_5)$ (e)
 $hE_5 - hA_6 = -2 (vE_5 - vA_6)$ (f) (48)

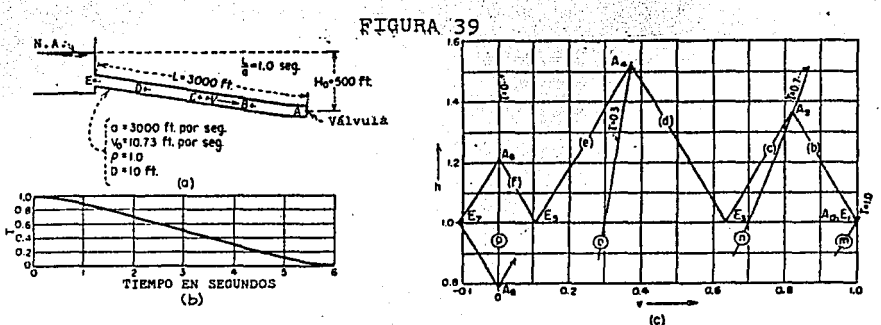
En estas ecuaciones los cocientes de carga y velocidad h y v en la válvula están indicados para tiempos de t = 0,2,4,6 segundos. De aqui que sólo la relación de descarga en la válvula en estos tiempos específicos es requerida en la solución del golpe de ariete, esto es como sigue:

$$VAO = 1.0 \sqrt{hAO}$$
 (m)
 $VA_2 = 0.7 \sqrt{hA_2}$ (n)
 $VA_4 = 0.3 \sqrt{hA_4}$ (o)
 $VA_6 = 0$
 $VAt = 0.2 t > 6 seg.$ (49)

Las ecuaciones 48 y 49 se resuclven ahora simultaneamente por el siguiente método gráfico:

En un sistema de ejes coordenados vy h las parábolas m,n,o y p son graficadas para valores de r= 1.0, 0.7, 0.3, 0.0, como se muestra en la Figura 39C. La parábola r=o coincide con el eje vertical en v=o. El punto Ac anterior al movimiento de la válvula está localizado en las coordenadas h=1 y v=1. Si el efecto del movimiento de la válvula no se acerca al depósito final de la tubería hasta después de que la onda viaje un

segundo, E₁, es también localizado en el mismo punto que Ao. La ecuación 48a es representada como un punto en el diagrama en h=1, ν=1. La ecuación 48b es la de una línea recta con - una pendiente -2ρ que pasa a través del punto E₁. Si el punto correspondiente a A₂ es también localizado en la parábola n y la línea de pendiente b, debe ser localizado en la intersección de estas dos líneas como se muestra en la figura. La ecuación 48c es la ecuación de una línea recta con una pendiente de 2ρ que pasa a través del punto A₂. Para un nivel - constante del depósito E₃ es localizado en el eje horizontal en h=1. Los puntos correspondientes a A₄, E₅, A₆, E₇, A₈, -- etc., son determinados de la manera que se muestra en la figura.



Relación del tiempo de cerrado de la válvula



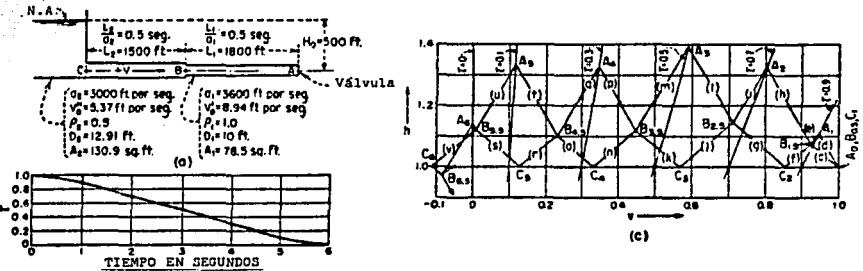
El método gráfico del análisis de golpe de ariete consigte esencialmente de la solución de ecuaciones simultáneas graficamente. Un grupo de ecuaciones depende por lo general a los valores de r, la efectividad de abertura de la válvula que es específicada. Estas relaciones de válvula están representadas por las parábolas en la gráfica h-v. Un segundo --grupo de ecuaciones se obtiene de las ecuaciones conjugadas - de golpe de ariete. Estas ecuaciones son representadas en la gráfica h-v por líneas con pendientes ±2p. Las intersecciones de las líneas de las pendientes y las parábolas determinan -- los coeficientes de la carga y la velocidad en la válvula y - las intersecciones de las líneas de pendientes con la línea - horizontal h=1, determinan estos coeficientes en el depósito final de la tubería.

2.3.2.3 SOLUCION PARA UNA TUBERIA CON CAMBIO DE DIAMETRO.

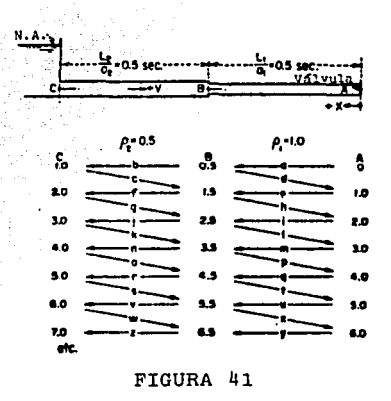
Cuando se usan las ecuaciones conjugadas en la solución del golpe de ariete, los factores que se consideran son la p, la constante de la tubería y el tiempo de viaje de la onda en tre dos puntos. Para una tubería con un cambio en su sección transversal o velocidad de onda, estas ecuaciones conjugadas se aplican al final de cada sección uniforme. En la gráfica h-y, la presentación de estas ecuaciones es similar a la que vimos anteriormente con la excepción de que un grupo de ecuaciones conjugadas son representadas por las líneas de pendien

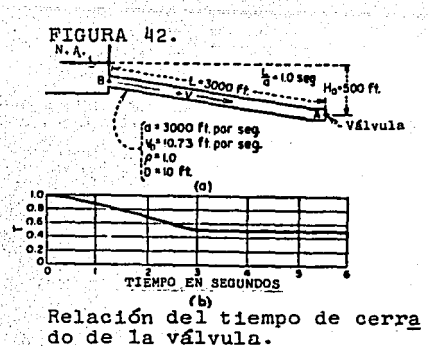


FIGURA 40.



Relación del tiempo de cerrado de la válvula.





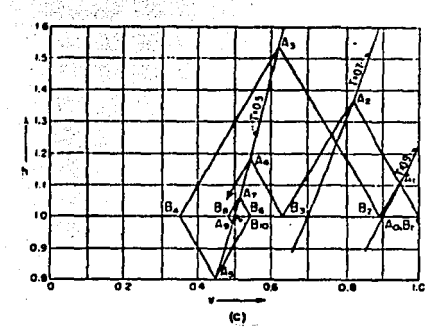
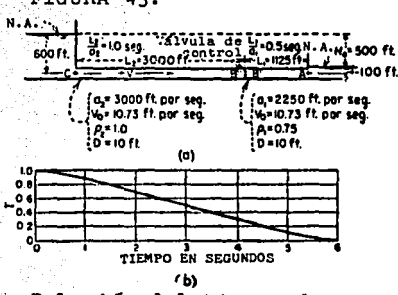
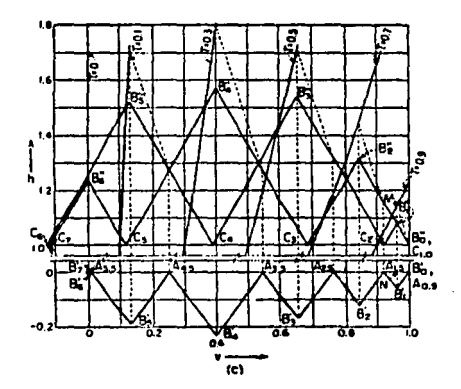


FIGURA 43.



Relación del tiempo de cerra do de la válvula.



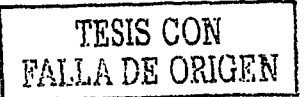
TESIS CON FALLA DE ORIGEN te ±2p₁, mientras que el otro grupo tiene líneas de pendiente ±2p₂. Por ejemplo la Figura 40. Las ecuaciones conjugadas que se aplican para intervalos de tiempo de un segundo (viaje redondo), para las secciones de tubería AB y BC se indican en la Figura 41. La representación gráfica de estas ecuaciones se muestra en la Figura 40C.

2.3.2.4 SOLUCION PARA EL CERRADO PARCIAL DE LA VALVULA.

Cuando la váivula de control se cierra sólo en parte y - se mantiene así, siendo la fricción en la tubería desprecia-- ble, las reflexiones parciales con la válvula abierta, retornan rápido a un valor estable, como se muestra en la Figura - 42.

2.3.2.5 SOLUCION PARA CUANDO LA VALVULA DE CONTROL SE ENCUEN TRA FUERA DEL FINAL DE LA TUBERIA.

Si consideramos la tubería mostrada en la Figura 43A, B, y la relación de cerrado de válvula de la misma figura. Si el viaje redondo de onda que ocurre en ambas secciones de la tubería es de un segundo, este intervalo de tiempo es usado en los cálculos de golpe de ariete. La descarga a través de la válvula varía con \(\frac{hB''}{t} - \frac{hB't}{t} \). Conforme se cierra la --válvula, las ondas de presión que se forman en B'y B'' que se mueven hacia A y C. En la solución de Bo'' y C; es localizada en h=1, v=1 como se muestra en la Figura 43C. Se grafica una



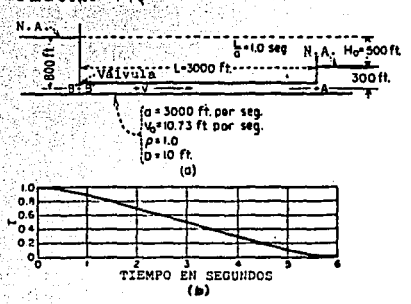
If near de C_{0.5} con pendiente de $-2\rho_2=-2$ en donde se localiza B₁". De manera similar se grafica una línea de A_{0.5} con — una pendiente de $+2\rho_1=1.5$ en donde B₁' tiene que ser localiza do. Si el flujo de ambos lados de la válvula de control son iguales B₁" y B₁' son localizados en la misma línea verti—cal. Más que nada, estos dos puntos son localizados de manera que la distancia vertical del punto B₁" a la parábola correspondiente a r=0.9 es la misma que la distancia vertical de la línea horizontal h=0 a B_{1.0} que es B₁*N = B₁*M. La razón para ésto es que para t=1 seg., el flujo a través de la válvula es yB'₁= yB''₁= 0.9 $\sqrt{nB''_{1}}$ = nB'_{1} .

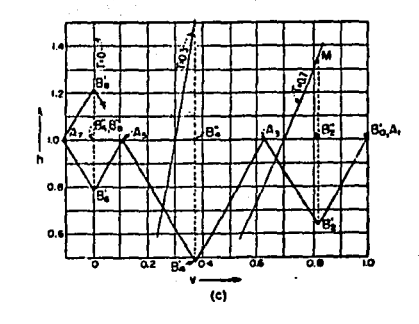
Un simple método para localizar los puntos B'10 y B" 10-se grafica con líneas punteadas con una pendiente de -2(\rho_1+\rho_2) que intersecta la parábola correspondiente a r=0.9 en el punto M. Entonces B'10 y B" 10 son localizados en la línea vertical que pasa a trayés del punto M.

Si la válvula de control está localizada en la parte superior de la tubería. Considerando la tubería de la Figura - 44A, B, la relación del tiempo de cerrado de la válvula se -- muestra en la misma figura. Para esta tubería hB" t=1. De - aqui que la solución del golpe de ariete mostrada en la Figura 44C se obtiene localizando los runtos B2¹, B4¹, B6¹ de manera que la misma línea vertical, la distancia B" M encima de

la línea horizontal h=1 a la parábola para cada abertura de la válvula es igual a B" Bt abajo de la h=1. La solución indica que la máxima caida de carga en la válvula es 0.53Ho y el máximo aumento de presión es de 0.22Ho.







Relación del tiempo de cerrado de la válvula.

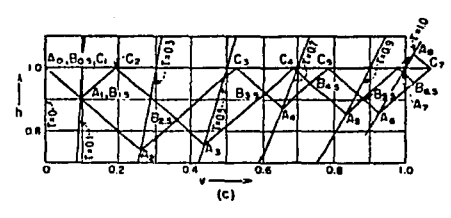
2.3.2.6 GOLPE DE ARIETE PRODUCIDO POR LA ABERTURA DE LA VALVULA.

Cuando el flujo de agua en un conducto de presión es retardado, la energía cinética del agua es convertida en energía potencial con evidencia de incremento en la presión hi—drostática. Reciprocamente cuando el flujo de agua en un conducto cerrado se aumenta, la energía se convierte en un movimiento con una consecuente reducción de presión hidrostática.



Por ejemplo, si consideramos la tubería de la Figura 45A, B, y la eficiencia de abertura de la misma figura. Las parábolas correspondientes a los valores de r para un segundo de intervalo se muestran en la Figura 45C. La velocidad ini--cial del agua en la tubería es cero y de aqui que el punto inicial de la solución gráfica en la gráfica h-v es el punto h=1, v=0. Esto localiza a los puntos Ao, B_{0.5} y C_{1.0}.





Relación del tiempo de cerrado de la válvula.

Después de la caída inicial de presión debido a la abertura de la válvula un aumento de presión arriba de lo normal ocurre debido a la reflexión de las ondas de golpe de ariete que regresan del depósito. El máximo aumento de carga debido a la abertura de la válvula cuando está inicialmente cerrada



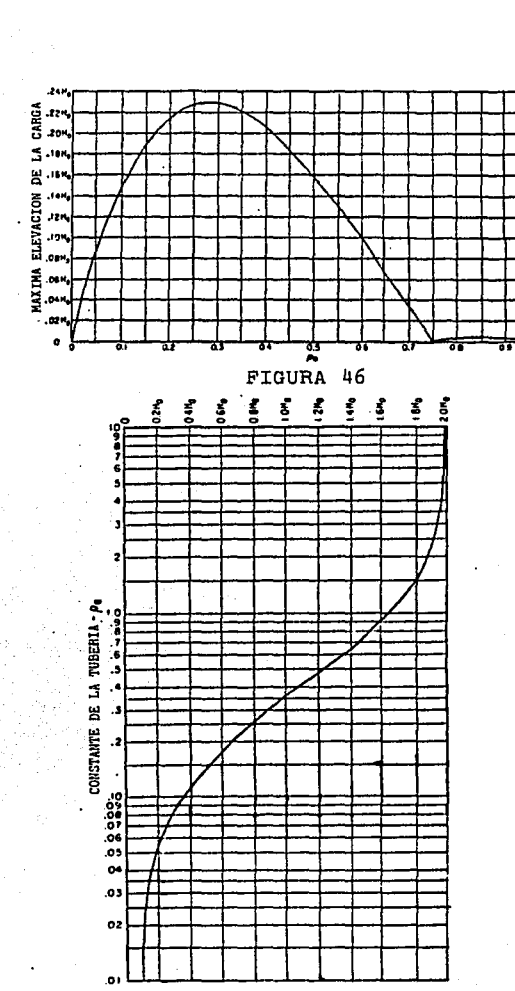


FIGURA 47. Máximo aumento de carga en la válvula debido al - movimiento ritmico en la misma.

y es abierta a su posición final en 2L/a segundos o menos y se mantiene allí. En este tipo de abertura, el aumento de -presión depende inicialmente de la constante e de la tube-ría. De aqui que los resultados de la solución del golpe de
ariete pueden ser mostrados en la Figura 46. De esta figura
vemos que el máximo aumento de carga producido por la abertura de una válvula de cero es 0.23Ho.

Bajo ciertas condiciones de operación de la válvula, es posible obtener una abertura o cierre rítmico. Ciertas condiciones se han observado como por ejemplo en las turbinas hidráulicas debido a la acción del gobernador. Si el movimiento de la válvula está en fase con el movimiento de las ondas del golpe de ariete un considerable aumento de carga puede ocurrir. Si el aumento de presión es debido a este tipo de movimiento que depende sólo de ρe. Los resultados de todas las soluciones posibles se indican en la Figura 47. De esta figura vemos que si e aumenta, el máximo aumento de presión se a proxima a 2Ho como un límite.

2.3.2.7 GOLPE DE ARIETE PRODUCIDO POR EL MOVIMIENTO UNIFORME DE LA VALVULA.

Cuando la abertura efectiva de la válvula varía uniforme mente con respecto al tiempo el movimiento de la válvula es - conocido como movimiento uniforme de la válvula. Para este -



tipo de movimiento no es necesario hacer un análisis gráfico para cada tubería y cierre de válvula, debido a que los resultados de un sin-número de soluciones son mostrados en gráficas. La Figura 48 nos muestra una de estas gráficas para cierre uniforme de válvula hasta estar completamente cerrado. Para determinar el máximo aumento de carga en la válvula es necesario calcular las características de la tubería pel tiem po de cerrado de la válvula en los términos de intervalos de tiempo de 2L/a, que es:

$$N = \frac{Ta}{2T} \tag{50}$$

El valor de k es entonces leído de la gráfica y el aumento de carga se determina por la relación

$$\Delta H = 2\rho \kappa Ho \tag{51}$$

Cuando N≤1 esto es, cuando el cierre completo es terminado en un tiempo igual o menor a 2L/a segundos, $\kappa=1$ y $\Delta H=2\rho Ho$, para cierres rápidos de válvula en aumento de carga es también 1-gual a $-\frac{a}{g}\Delta V$ como se define en la ecuación 29.

Si el cierre de válvula puede ser cumplido de cualquier posición inicial de la válvula en la misma proporción uniforme, el máximo aumento de carga en la válvula se realiza en exactamente 2L/a segundos. Esto se ilustra en la Figura 49. - Cuando la abertura efectiva de la válvula desde su posición inicial de cerrado completo es uniforme con respecto al tiem-



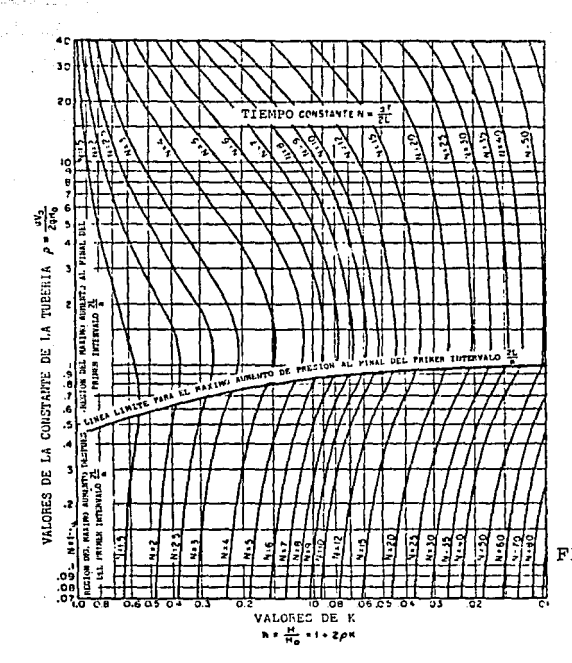


FIGURA 48, Carta

Carta de Ray para movimien tos uniformes de la válvula

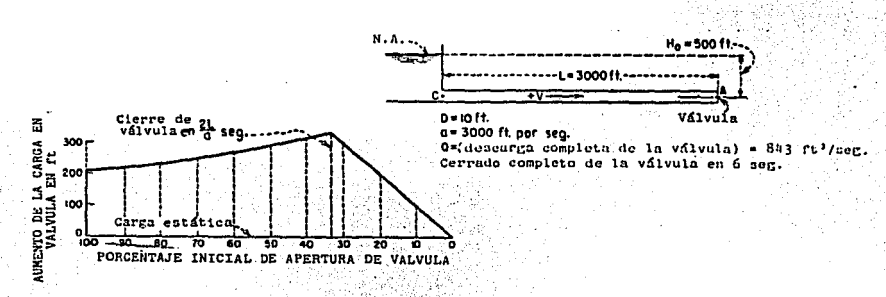


FIGURA 49. Aumento de la carga en la válvula debido al cierre uniforme desde diferentes posiciones iniciales.

TESIS CON FALLA DE ORIGEN po, el mínimo aumento de carga en la válvula, se encuentra -que ocurre en 2L/a segundos después de comenzar el movimiento
de la válvula. Si la abertura comienza de la posición de cerrado

h min. =
$$(-\kappa + \sqrt{\kappa^2 + 1})^2$$
 (52)

donde

κ= LVe/gHoT

En esta ecuación Ve es la velocidad final estable del agua en la tubería después de haber completado el movimiento de válvula. Esta ecuación es aplicable cuando Talla segundos y su esolución se facilita con el uso de la Figura 50.

Cuando T \leq 2L/a segundos, el cambio de carga es igual a $-\frac{a}{g}$ ΔV como se define en la ecuación 29.

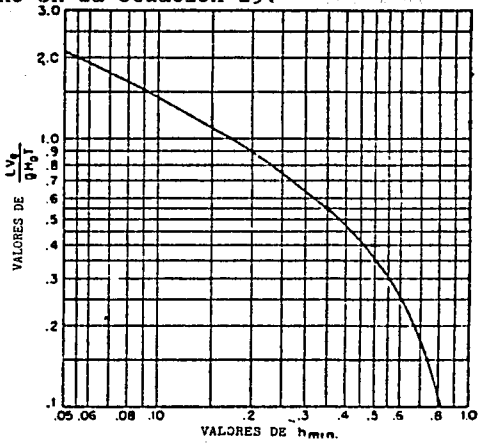


FIGURA 50. Mínima carga debido a la abertura uniforme de la válvula.



2.3.3 METODO DE LAS CARTAS DE ALLIEVI.

Lorenzo Allievi, desarrolló unas cartas que son probable mente las más usadas para la solución rápida de Problemas de Golpe de Ariete.

Por las limitaciones a que están sujetas estas cartas, - dos consideraciones se deben tomar en cuenta:

- a) El área de la tubería en la válvula de control aumenta o disminuye linealmente con respecto al tiempo:
- b) La velocidad de salida en la tubería en cualquier instante es proporcional a la raíz cuadrada de la suma de la -carga en estado estable más la carga de Golpe de Ariete.

Con el uso de las cartas de Allievi se ahorra mucho tiem po en la determinación de la carga máxima.

Para su uso dos parámetros básicos son usados;

a) La constante de la tubería

$$\rho = \frac{a}{2gHo} \frac{V_0}{\rho} \tag{53}$$

b) La constante de tiempo

$$\sigma = \frac{aT}{2L} \tag{54}$$

De las consideraciones anteriores tenemos que;

$$Z^2 = \frac{Ho + hmax.}{Ho}$$
 (55)

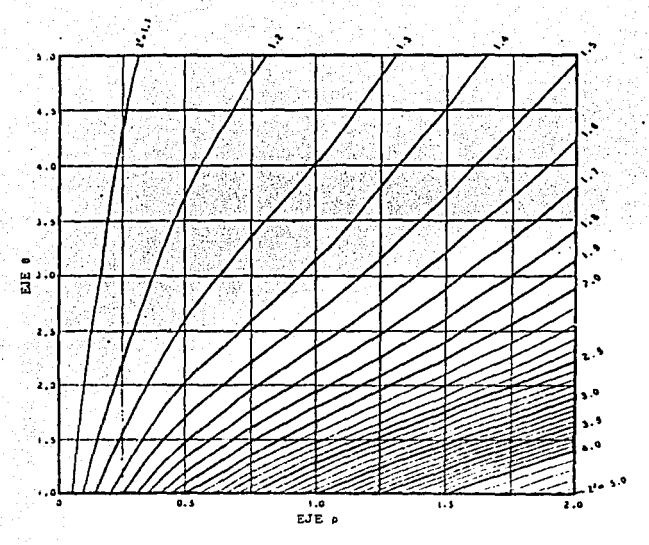


FIGURA 51. Diagrama de Allievi (Máximo aumento de presión con movimiento uniforme de la válvula).

TESIS CON FALLA DE ORIGEN

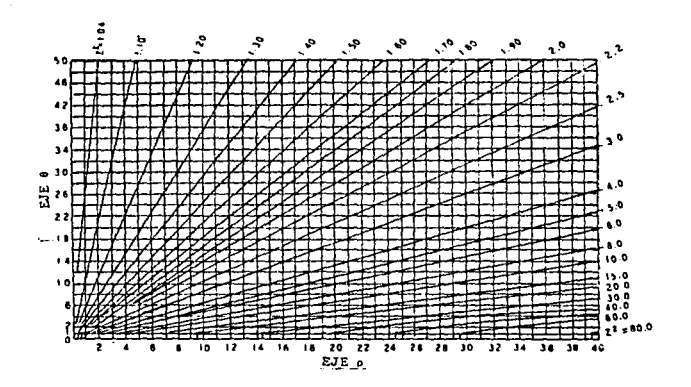


FIGURA 52. Diagrama de Allievi.
(Máximo aumento de presión para movimiento uniforme de la válvula)

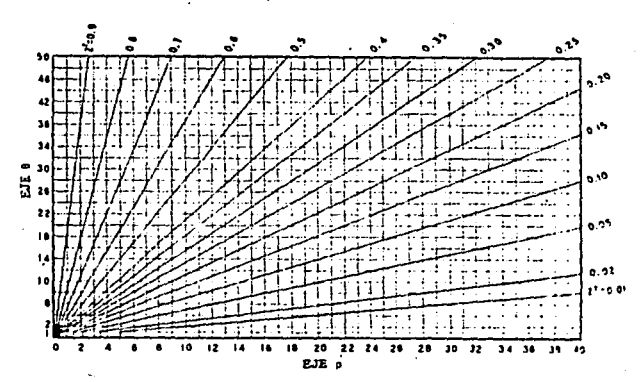


FIGURA 53. Diagrama de Allievi.
(Máxima caída de presión para movimiento uniforme de la válvula)



3.1 DESCRIPCION

Básicamente podemos decir, que un acumulador es un depósito para el almacenamiento de la presión en el que un fluido no-compresible se conserva a una presión ejercida por una --- fuente externa. Este fluido a presión se encuentra disponi-- ble para emplearse como manantial de reserva de energía fluida, y aunque se haya bombeado al acumulador por pulsación o - en flujo irregular, el flujo de descarga es regular.

Podemos clasificar a estos órganos en dos grandes gru--pos: en acumuladores de presión constante y acumuladores de -presión variable durante la carga y la descarga.

A la primera categoría pertenece el acumulador por grave dad o contrapeso. Funcionan con presión variable, el acumula dor de resortes y todos los tipos que utilizan gases comprimidos: el de nivel libre, los de pistón separador, el de vasija y el de diafragma elástico. Aunque los diseños de cada tipo difieren mucho entre sí, sus rendimientos y los resultados — que con ellos se obtienen son bastantes parecidos.

Entre los tipos de aplicaciones para las que son adecuados los acumuladores, figuran las siguientes: supresión de -los choques hidráulicos; reposición del fluido en un sistema



III. ACUMULADORES HIDRAULICOS



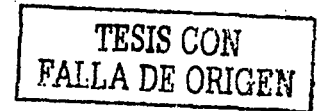
3.1 DESCRIPCION

Básicamente podemos decir, que un acumulador es un depósito para el almacenamiento de la presión en el que un fluido no-compresible se conserva a una presión ejercida por una --- fuente externa. Este fluido a presión se encuentra disponi--- ble para emplearse como manantial de reserva de energía fluida, y aunque se haya bombeado al acumulador por pulsación o -- en flujo irregular, el flujo de descarga es regular.

Podemos clasificar a estos órganos en dos grandes gru--pos: en acumuladores de presión constante y acumuladores de -presión variable durante la carga y la descarga.

A la primera categoría pertenece el acumulador por grave dad o contrapeso. Funcionan con presión variable, el acumula dor de resortes y todos los tipos que utilizan gases comprimidos: el de nivel·libre, los de pistón separador, el de vasija y el de diafragma elástico. Aunque los diseños de cada tipo difieren mucho entre sí, sus rendimientos y los resultados — que con ellos se obtienen son bastantes parecidos.

Entre los tipos de aplicaciones para las que son adecuados los acumuladores, figuran las siguientes: supresión de -los choques hidráulicos; reposición del fluido en un sistema



hidráulico cerrado; compensación de las pérdidas; fuente de -energía suplementaria en caso de que falle la fundamental; -mantenimiento de presiones elevadas durante períodos de tiempo largos, cuando la bomba no este capacitada para ello o ésta no funcione.

Los acumuladores se emplean en conjunción con los sistemas hidráulicos en prensas hidráulicas grandes, maquinaria agricola, dispositivos de arranque de motores diesel, camas de hospital, frenos hidráulicos y mecanismos del tren de aterrizaje de los aviones, cierres de escotillas de buques, carretillas elevadoras y otros dispositivos y máquinas diversas.

3.2 TIPOS PRINCIPALES DE ACUMULADORES HIDRAULICOS.

3.2.1 EL ACUMULADOR DE GRAVEDAD O CONTRAPESO.

Este acumulador consiste, fundamentalmente de un pistón provisto de un contrapeso, que se mueve en el interior de un cilindro, ejerciendo presión sobre el fluido. El contrapeso puede estar constituído por hormigón, arrabio, chatarra de — hierro, acero o por cualquier otro material pesado. El émbolo de este tipo de acumulador puede estar ajustado con precisión en el cuerpo de aquel para que las figuras se reduzcan a un mínimo. Por regla general, el cuerpo suele acabarse por rectificado con muela para asegurar que la junta de retención sea de duración larga, así como también para reducir la fricción.

Un método de arranque y de detención de la unidad de bom beo se indica en la Figura 54. Cuando el acumulador se vacía la excéntrica de la palanca de conmutación entre el contacto con el disyuntor LS-2 para poner en marcha la unidad de bom-beo, y, a medida que ésta llena el acumulador, la excéntrica dispara el disyuntor LS-1 para detener la bomba.



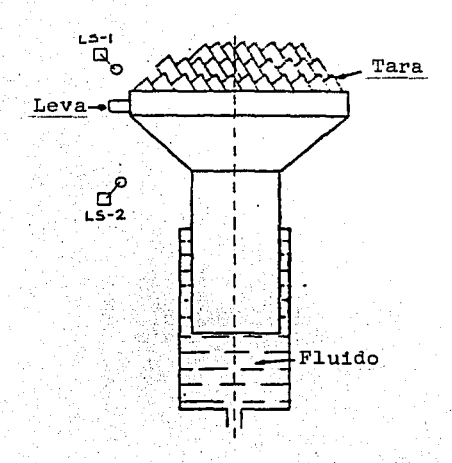


FIGURA 54

La gran ventaja de este tipo de acumulador es que la presión permanece constante durante toda la carrera o hasta que se haya gastado el fluido. Porque si w es el peso total que gravita sobre el pistón y S la sección del mismo, se origina en el circuito hidráulico una presión p=w/S que no varía cual quiera que sea la posición del pistón; lo que varía es la --- energía acumulada o cedida por éste, que depende justamente - de su altura relativa en el cilindro.

Otra ventaja de este tipo de acumulador es que puede su-

TESIS CON FALLA DE ORIGEN ministrar grandes caudales de fluido a presión elevada. El caudal está tan sólo condicionado por el ingenio del fabrican
te para producir grandes piezas de elevada precisión, como, por ejemplo, cuerpos de cilindros y pistones. El caudal tan
elevado de fluido determina que sea posible suministrar presión a varios circuitos hidráulicos. En otras palabras, pode
mos decir, que el acumulador hace las veces de estación central y distribuye presión a los circuitos de un cierto número
de máquinas.

Las desventajas de los acumuladores de contrapeso son — las siguientes: son muy voluminosos, especialmente aquellos que entregan grandes presiones y caudales. La sección sobre la cual descansa el contrapeso debe estar muy bien soportada. Los tamaños mayores suelen ser caros y fabricarse en el sitio de operación debido a su tamaño.

3.2.2 EL ACUMULADOR DE MUELLE O RESORTE.

Existen varios tipos de acumuladores de muelle o de resorte, que, por lo general, suelen ser más pequeños y menos - caros que los de contrapeso. Sean del tipo de muelle senci-llo o múltiple, como se ve en la Figura 55, el resorte o resortes actúan sobre un pistón hidráulico para introducir fluido en el sistema.



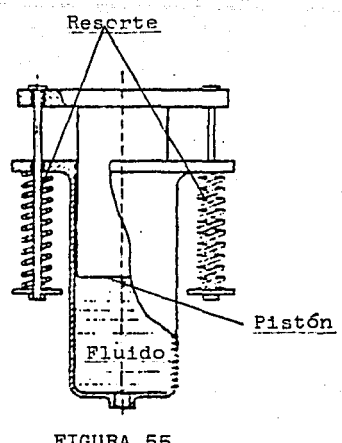


FIGURA 55

Los acumuladores de muelle sólo entregan un pequeño caudal de fluido a una presión relativamente baja y, además, la que se ejerce sobre el fluido no es constante, al revés de lo que ocurre en el de contrapeso. A medida que los muelles se comprimen, la presión del acumulador alcanza su valor máximo, y cuando éstos tienden a su longitud normal, dicha presión — llega al mínimo. En este caso, también el volumen depende de la luz y de la carrera del acumulador. En los circuitos que emplean este tipo de acumulador suele haber un conmutador accionado por la presión, provisto por un mecanismo para poner

en marcha la bomba cuando aquella desciende hasta un cierto nivel, y pararla cuando se alcanza la presión máxima.

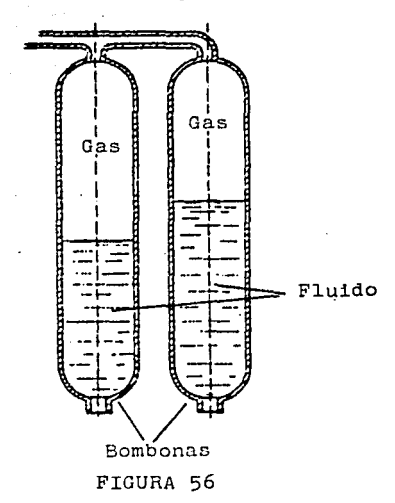
En conclusión, cuando el volumen del líquido a acumular y la presión requerida son de cierta magnitud, los resortes - necesarios y el espacio ocupado adquieren proporciones considerables; si a ello se agrega la característica esencialmente desfavorable de la variación de la reacción elástica en función de la carrera, se llega a la conclusión de que tales acumuladores tienen un empleo todavía más limitado que los de -- contrapeso, que por lo menos ofrecen la ventaja de funcionar a presión constante.

3.2.3 ACUMULADORES ACCIONADOS POR AIRE O POR GAS.

Los acumuladores de nivel libre, es decir, los que carecen de elementos de separación entre el líquido y el gas comprimido, se usan preferentemente en instalaciones a base de agua, y pueden absorber y suministrar volúmenes a menudo considerables. Puede tratarse de bombonas individuales en cuya parte superior se encuentra el gas a presión, o bien de una primera bombona parcialmente llena de líquido y puesta en comunicación con una serie de recipientes análogos cuya función es exclusivamente neumática, como se muestra en la Figura 56; en este segundo caso, el sistema posee mayor elasticidad frente a las variaciones de presión que tienen lugar en el circui.



to. Para evitar el trasvase de líquido de la primera bombona a las demás y para impedir la entrada de gas en las tuberías de líquido, se emplean sistemas adecuados de control de ni---vel, que abren o cierran automáticamente el paso. Para dar - al gas la presión inicial necesaria (precarga), y para compensar las inevitables fugas, se acostumbra a utilizar un compresor. Los sistemas de acumulación de este tipo son especial--mente adecuados en grandes instalaciones fijas a base de agua y suministran su energía muy gradualmente; en cambio, no tienen casi empleo práctico en el campo oleodinámico, donde se - tiende cada vez más a concentrar energías elevadas en dispositivos que ocupen relativamente poco espacio.







Precisamente para conseguir elevadas y eficientes concer traciones de energía en un espacio mínimo se han ideado acumu ladores capaces de contener y de separar a la vez el gas y el líquido; este sistema, además de permitir el montaje del aparato en posiciones distintas de la vertical (condición indispensable en acumuladores por gravedad o en los de nivel li--bre), evita la necesidad del compresor para compensar la ab-sorción de gas por el líquido y las irregularidades de funcio namiento debidas a la presencia de gas en el circuito de tra-El elemento de separación puede ser un pistón flotante (es decir, sin vástagos), o bien una membrana elástica, como se ve en las Figuras 57, 58 y 59. En el primer caso el acumu lador tiene todavía la forma y las características de un ci-lindro rectificado interiormente, provisto de dos cabezales con las acometidas respectivamente para la introducción de la precarga de gas y para la conexión con el circuito líquido -dentro del cual desliza libremente el pistón; la estanquiedad asegurada por medio de juntas apropiadas, resulta generalmente satisfactoria hasta presiones de 2,000 a 3,000 lb./in2. Por encima de estos valores puede producirse un sensible aumento del juego entre pistón y cuerpo exterior como consecuen cia de la dilatación de este último.

El acumulador de pistón puede presentar además cierta 1nercia, originada por la masa del pistón o por el rozamiento que oponen las juntas.

Frente a estos aspectos desfavorables, el acumulador de pistón presenta en cambio ciertas ventajas con respecto a los de vasija o de diafragma elástico; mayor seguridad de funcionamiento, puesto que no hay que temer ninguna avería súbita por rotura del diafragma de goma; posibilidad de utilizar todo el volumen útil del acumulador; ninguna limitación en la relación entre la presión del circuito y la presión de precarga del nitrógeno; simplicidad de mantenimiento, que se reduce a la sustitución de las juntas; duración prolongada de servicio incluso con fluidos inflamables, dado que la superficie crítica expuesta a ellos es mínima; posibilidad de trabajo en cualquier posición.

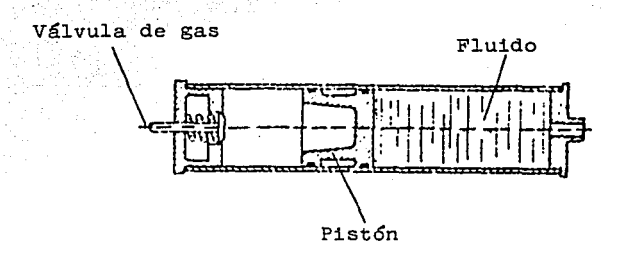


FIGURA 57

El acumulador neumático de vasija está constituído por -



una bolsa o vasija de material sintético que se carga previamente con aire o nitrógeno a una presión determinada. Esta - vasija se coloca dentro de la envuelta del acumulador y el es pacio restante se llena con el líquido. Cuando la unidad de bombeo introduce más líquido en la envuelta, se comprime el - gas encerrado en la vasija para constituir así una reserva de presión. Cuando se extrae del acumulador, la vejiga se dilata e introduce líquido a presión en el circuito. Despreciando cualesquiera efectos del cambio de temperatura, la presión que la masa de gas ejerce sobre el fluido disminuye ya que di cha masa no varía cuando la vejiga se dilata, al aumentar el volumen.

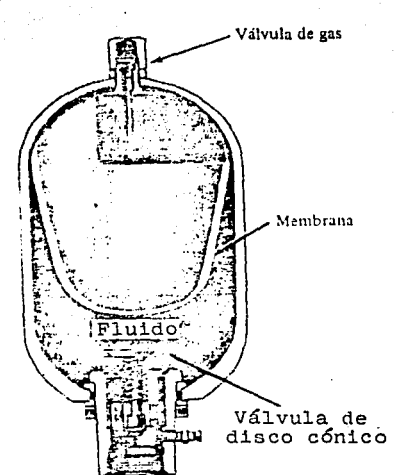


FIGURA 58

Los acumuladores de diafragma elástico son generalmente - de constitución esférica, y se constituyen de dos semiesferas atornilladas en su periferia, con un diafragma de goma sintética prensado entre ellas. Su funcionamiento es muy similar - al de vasija elástica. La gran ventaja de estos acumuladores es su bajo peso y su reducido tamaño lo que los hace muy usados en aplicaciones aeronaúticas.

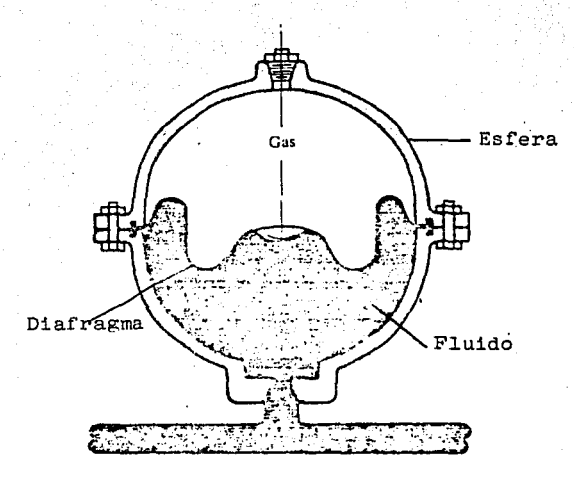


FIGURA 59

Las ventajas de los acumuladores neumáticos son las siguientes: compacidad, número pequeño de piezas funcionales y baratura, y su único incoveniente, en lo que se refiere a los pistones, es que como ocurre con los de vasija y diafragma, -



la presión no permanece constante cuando la totalidad de la -carga de fluido se desplaza.

3.3 DIFERENTES APLICACIONES DE LOS ACUMULADORES HIDRAULICOS.

Existen diversas aplicaciones dentro del campo hidráulico y oleodinámico para los acumuladores hidráulicos.

Dependiendo de las características de operación e instalación en el sistema se utiliza uno u otro tipo de acumula--dor. En los incisos posteriores se tratarán brevemente algunas de las aplicaciones que éstos tienen.

Por ser el tema principal de esta tésis, la aplicación - de los acumuladores hidráulicos de vasija elástica a la amortiguación del golpe de ariete se estudiará ampliamente más adelante.

3.3.1 ACUMULADOR DE CONTRAPESO EMPLEADO EN UN CIRCUITO DE -PRESION DOBLE.

El circuito de la Figura 60 puede emplearse satisfacto—
riamente con un prensa hidráulica, ya que es susceptible de satisfacer las exigencias requeridas en un determinado momento por el aumento de la capacidad. En este circuito la uni—
dad de bombeo está constituida por una bomba de baja presión
y de caudal elevado y otra de alta presión y pequeño caudal.
El operario acciona la palanca de la válvula de cuatro vías (1), desplazando su émbolo para que el caudal de ambas bombas

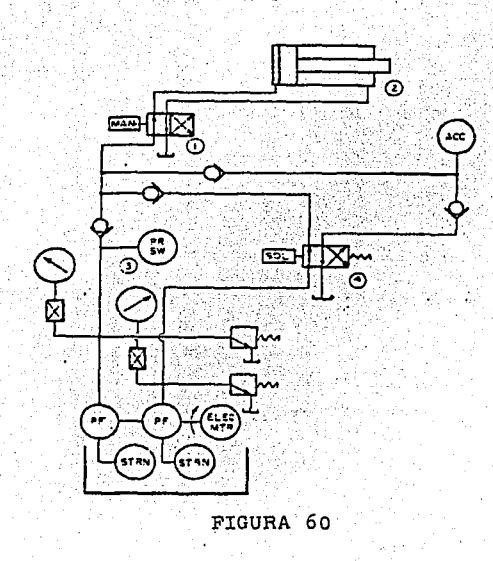


unido al aceite almacenado en el acumulador se descargue en el fondo ciego del cilindro de la prensa (2) y el porta-herra
mienta desciende rápidamente a baja presión. Cuando este último entre en contacto con la pieza que se trabaja, la pre--sión comienza a aumentar inmediatamente, cerrando el conmutador de presión (3) que, a su vez, energiza el solenoide de la
válvula (4), desplazando su émbolo y dirigiendo el gasto de la bomba de caudal elevado hacia el acumulador, para volver a
cargarlo. La bomba de pequeño caudal y alta presión sigue -funcionando (aunque ahora a presión elevada) y el porta-herra
mienta termina su desplazamiento en sentido descendente comprimiendo un casquillo contra la pieza.

A continuación el operario desplaza la palanca de la válvula (1) para devolverla a su posición inicial, y ambas bombas, en conjunción con el acumulador, envían aceite al fondo del vástago del cilindro de la prensa, haciendo retroceder su pistón.

En la posición de retroceso, se vuelve a cerrar el interruptor automático (3), con lo que el solenoide de la válvula (4) se energiza y la bomba de pequeño caudal mantiene la presión de aceite necesaria para sostener el porta-herramienta, mientras que la de caudal grande está cargando de nuevo el acumulador. Las válvulas de retención se emplean para evitar que se mezclen las presiones altas y bajas, mientras se están aplicando simultáneamente durante el ciclo. Se emplean dos - válvulas de seguridad, una en la conducción de cada bomba.

Empleando un acumulador, el tamaño de la bomba de baja - presión puede reducirse considerablemente, con el ahorro consiguiente derivado de la pequeña potencia que se precisa.



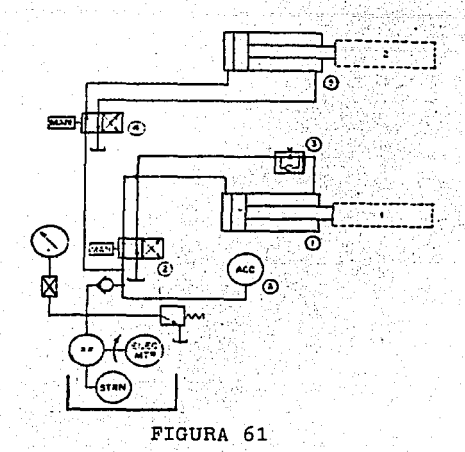
3.3.2 ACUMULADOR DE RESORTE EMPLEADO COMO FUENTE SECUNDARIA

DE ENERGIA.

TESIS CON FALLA DE ORIGEN

El circuito de la Figura 61 presenta una de las aplica-ciones más corrientes de los acumuladores, que no es más que la de hacer las veces de fuente de energía de reserva a la -que se puede recurrir en un momento dado. De hecho, ésta es una fuente secundaria de energía, ya que la unidad de generación es la primaria. Por ejemplo, los cilindros de diametro interior grande que funcionan a velocidades pequeñas necesi-tan un gran caudal de aceite. No es económico emplear una -bomba de semejante capacidad de modo discontinuo, debido tanto al tamaño de la unidad de bombeo como al calor que puede llegar a desarrollarse. El acumulador representa la solución de los problemas planteados por muchas aplicaciones de este tipo en las que median intervalos suficientes de tiempo entre los ciclos de trabajo, para que el acumulador almacene fluido y lo tenga en reserva hasta que llegue el momento en que sea preciso recurrir a él.

En el circuito indicado se emplea un acumulador de resor te. El operario coloca la pieza en el carro desplazable (1) y acciona la palanca de la válvula de dos posiciones y cuatro vías (2), para que el aceite fluya del acumulador al fondo — ciego del cilindro (1). El pistón avanza a una velocidad que se regula con la válvula de regulación del caudal (3), hasta que el carro desplazable (1) llega al final de su carrera y — se efectúa la operación de curado.



Mientras el operario está colocando la pieza en el carro desplazable (2) se carga el acumulador A. A continuación, el operario acciona la palanca de válvula maestra (4) y el aceite fluye del acumulador A hacia el fondo ciego del cilindro del carro desplazable (5), y éste, ya cargado, se coloca en la posición necesaria para trabajar la pieza.

A continuación, el operario acciona la palanca de la válvula (2) y el aceite procedente del acumulador A y de la unidad de bombeo fluye rápidamente hacia el fondo del vástago -- del cilindro (1) y el carro se desplaza hasta la posición de

TESIS CON FALLA DE ORIGEN menta la presión, se abre la válvula de secuencia (3) y el acceite fluye hacia las conexiones piloto de las válvulas (5) y (6), actuando sobre éstas y permitiendo que el que viene del acumulador (7) a través de la válvula (6) se dirija al fondo ciego del cilindro (8) y el que procede del acumulador (9) a través de la válvula (5) vaya al fondo ciego del cilindro --- (10). Los pistones de los cilindros (8) y (10) se desplazan uniformemente porque los acumuladores (7) y (9) hacen las veces de depósitos, almacenando las mismas cantidades de aceite cuando se cargan y evacuando idénticas cantidades en el mismo tiempo cuando se descargan. En otras palabras, auxiliados -- por los controles (12) y (13), actúan como igualadores de flugo.

Una vez que la operación se ha completado, el operario - acciona la palanca de la válvula (1) para llevarla a su posición inicial, y el aceite fluye hacia los fondos de los vásta gos de los cilindros (8) y (10) para desplazar de nuevo los - pistones; a continuación, la presión vuelve a aumentar hasta abrir la válvula de secuencia (11), el aceite se dirige hacia los fondos de los vástagos de los cilindros de sujeción (2) y las garras que fijan la pieza en la bancada se aflojan. Los acumuladores se cargan durante la carrera de retorno de los - pistones de los cilindros (8) y (10). Para que el funciona-miento sea plenamente satisfactorio todos los componentes de-

carga de las piezas. Aqui el operario descarga la pieza ya trabajada, carga una nueva y desplaza el carro hasta la posición de trabajo. Una vez concluida la operación sobre la pie
za montada en el carro desplazable (2), el operario acciona la palanca de la válvula (4) y el aceite fluye, desde el acumulador y la unidad de bombeo, hacia el fondo de vástago del
cilindro (5), llevando de nuevo el carro desplazable hasta la
posición de carga.

Los resultados necesarios pueden obtenerse con un bomba muy pequeña, que funciona en combinación con un acumulador -- grande.

3.3.3 SINCRONIZACION DEL MOVIMIENTO DE LOS PISTONES DE DOS CILINDROS.

En el circuito de la Figura 62 se emplean dos acumuladores para sincronizar los movimientos de los pistones de dos cilindros hidráulicos. Con el fin de que los acumuladores no sean desproporcionados con respecto al resto de la instala---ción, las carreras de los cilindros deben ser cortas.

El circuito funciona como a continuación se indica: el - operario coloca la pieza en la bancada de la máquina y acciona la palanca de la válvula de cuatro vías y dos posiciones - (1). El aceite fluye hacia el fondo ciego del cilindro de su



jeción (2) y la pieza queda sujeta en la bancada. A continua ción aumenta la presión, se abre la válvula de secuencia (3) y el aceite fluye hacia las conexiones piloto de las válvulas (5) y (6), actuando sobre éstas y permitiendo que el que viene del acumulador (7) a través de la válvula (6) se dirija al fondo ciego del cilindro (8) y que el que procede del acumula dor (9) a través de la válvula (5) vaya al fondo ciego del cilindro (10). Los pistones de los cilindros (8) y (10) se des plazan uniformemente porque los acumuladores (7) y (9) hacen las veces de depósitos, almacenando las mismas cantidades de aceite cuando se cargan y evacuando idénticas cantidades en el mismo tiempo cuando se descargan. En otras palabras, auxiliados por los controles (12) y (13), actúan como igualadores de flujo.

Una vez que la operación se ha completado, el operario acciona la palanca de la válvula 1 para llevarla a su posi--ción inicial, y el aceite fluye hacia los fondos de los vásta
gos de los cilindros (8) y (10) para desplazar de nuevo los pistones; a continuación, la presión vuelve a aumentar hasta abrir la válvula de secuencia (11), el aceite se dirige hacia
los fondos de los vástagos de los cilindros de sujeción (2) y
las garras que fijan la pieza en la bancada se aflojan. Los
acumuladores se cargan durante la carrera de retorno de los pistones de los cilindros (8) y (10). Para que el funciona--

miento sea plenamente satisfactorio todos los componentes deben registrar fugas internas muy pequeñas.

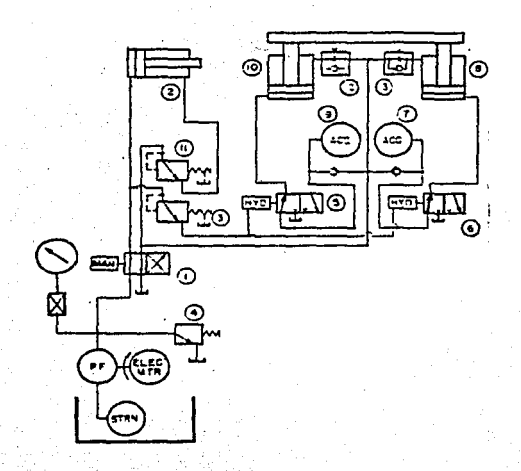
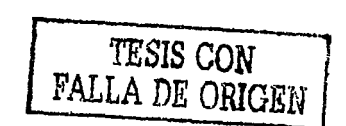


FIGURA 62

3.3.4 LOS ACUMULADORES COMO FUENTE DE ENERGIA DE EMERGENCIA.

Los acumuladores del circuito de la Figura 63 se emplean como fuentes de energía de emergencia. En algunas aplicaciones hidráulicas es preciso que los pistones de algunos cilindros vuelvan a su posición inicial aunque falle el suministro de energía eléctrica a consecuencia de tormentas, incendios o inundaciones. Por ejemplo, si fallase el suministro de ener-



gía y no pudiese funcionar el sistema hidráulico de la com--puerta de descarga de una esclusa, los daños que ello pudiera
originar podrían ser muy graves. En esta aplicación el acumu
lador debe tener el volumen suficiente para llenar el cilin-dro con aceite a una presión de trabajo suficiente para devol
ver el pistón a la posición inicial.

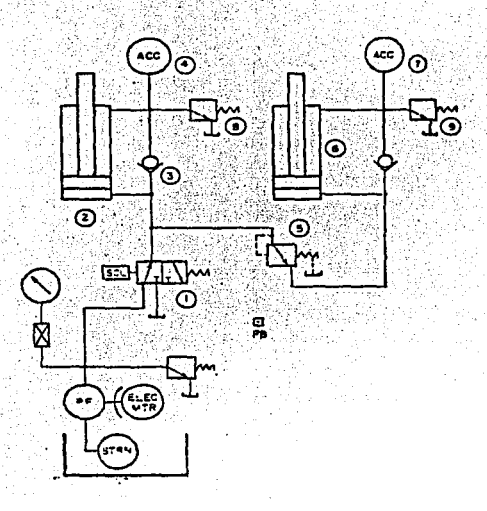


FIGURA 63



Los dos sistemas de acumulador funcionan como a continua

ción se indica: el operario acciona el mando que energiza el solenoide de la válvula maestra de control de triple paso (1) y el aceite se dirige al fondo ciego del cilindro (2). Este cilindro tiene un vástago de pistón de una diferencia de 2:1 es decir, la superficie de la sección del vástago es la mitad de la de la luz del cilindro. Al mismo tiempo que el aceite a presión se dirige hacia el fondo ciego del cilindro, desplaza de su asiento a la válvula de retención (3) y a medida que avanza el pistón el aceite a presión se dirige también hacia el fondo de vástago del cilindro y el acumulador (4), cargando éste.

Cuando este último llega al final de su carrera la presión aumenta, se abrella válvula de secuencia (5) y el aceite se dirige al fondo ciego del cilindro (6). En el cilindro — (6) y el acumulador (7) se verifica el mismo proceso que en el cilindro (2) y en el acumulador (4). Las válvulas de seguridad (8) y (9) evitan que la presión que se forma sea superior a la calculada, ya que, de lo contrario, los cilindros podrían detenerse en su carrera de ida. Si el sistema cuenta con un interruptor automático (que no se indica en la figura) entonces cuando el pistón del cilindro (6) haya alcanzado el final de su carrera de ida, el conmutador se abre para detener el motor eléctrico de la unidad de potencia, Esto evitará que ésta funcione durante períodos largos de parada de la

instalación.

Si se registrase un fallo en el suministro de energía, - el émbolo de la válvula (1) se desplazaría a su posición original cuando ya no se suministrará corriente al solenoide y - el aceite de los fondos ciegos de los cilindros (2) y (6) escapa a través del orificio de evacuación. Este desplazamiento de la válvula se debe a la presión del muelle que actúa sobre el extremo opuesto de ésta. A continuación, el aceite pasa de los acumuladores neumáticos de vejiga a los fondos de - los vástagos de los cilindros (2) y (6) y los pistones vuel-- ven a su posición inicial.

3.4 EL ACUMULADOR DE VASIJA ELASTICA.

3.4.1 DESCRIPCION.

Consiste en una botella de acero, en cuyo interior existe una vasija elástica de material sintético, como se vió en la Figura 58, donde va encerrado el gas. La presión de éste obliga a la vasija a dilatarse hasta ocupar todo el espacio — que deja libre el líquido, sobre éste actúa siempre la pre—sión del interior de la vasija, como se ve en las Figuras 64A y B.

Este tipo de acumulador ofrece al proyectista de circuitos hidráulicos y oleodinámicos una extensa gama de ventajas que con ciertas aplicaciones resultan de importancia fundamen tal. Este sistema garantiza, en primer lugar, una perfecta - separación entre la cámara correspondiente al gas y la destinada al líquido; por su parte, el elemento separador de material sintético no presenta prácticamente inercia alguna; además, por no existir ningún deslizamiento recíproco entre elementos metálicos, no es necesario un cuidado particular en el mecanizado interior del recipiente.

El elemento separador es una vasija más o menos alargada construída de material sintético de gran flexibilidad y pro-vista en su parte superior de una válvula para la introduc---



ción de la carga de gas y el cierre ulterior. El material usado para la construcción de la vasija es el Buna N en sus diferentes calibres, aunque también se usan materiales como el Neopreno, Butilio y Goma de Etileno Propileno.

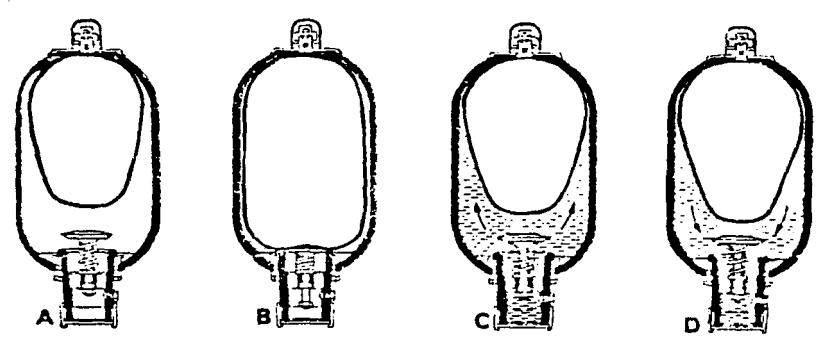


FIGURA 64. Ciclo de preparación y funcionamiento de un Acumulador Hidráulico.

Los gases empleados en los acumuladores han de ser inertes (no debe emplearse nunca oxígeno, por ejemplo). El tipo de gas más conveniente para la carga; la mayoría de las veces se usa nitrógeno, cuya inactividad química excluye todo el fenómeno de combustión o de explosión (fenómeno Diesel, siempre posible en presencia de aire comprimido y de aceite) y no determina el envejecimiento de la goma sintética de juntas, vasijas o diafragmas. La carga con nire se acepta sin más cuan do los acumuladores se instalan en circuitos a base de agua, mientras que el empleo del oxígeno debe excluirse siempre por



tratarse de un gas químicamente activo.

El recipiente forjado de una sola pieza, soporta fácil—
mente presiones altísimas y sus eventuales dilataciones no —
provocan incoveniente alguno de funcionamiento. La válvula —
fungiforme situada en la acometida de conexión al circuito lí
quido permite descargar completamente la presión del circuito
sin dañar la vasija elástica; como se ve en las Figuras 64 C
y 64 D; en efecto, en estas condiciones el cierre de dicha —
válvula se produce a expensas de una modesta dilatación de la
vasija, después de lo cual el sistema retorna al estado de equilibrio, y el acumulador puede ser incluso desmontado de la
instalación si así conviene.

3.4.2 CALCULO DE LOS ACUMULADORES EN SUS DIFERENTES APLICA— CIONES.

En lo que respecta a sus funciones, ya se ha indicado la principal, que es la que además da nombre a los aparatos que estamos considerando. La acumulación de energía es un proble ma típico de muchísimos campos de la técnica, suscitado por - el objeto de equipar una instalación determinada con la mínima potencia posible, pero con la posibilidad de obtener duran te ciertos períodos del ciclo suministros de energía instantá neos muy superiores a la potencia media instalada.



Para dar un ejemplo, entre los muchos posibles: la inserción de un acumulador de unos 9 Gal de volumen total en un --circuito oleodinámico que alimenta un grupo de 6 prensas de -110000 lb. para fusión por presión, dotado de un motor eléc-trico de apenas 5 HP, confiere a dicho sistema unas caracte-rísticas funcionales equivalentes a las que, sin el acumula-dor, hubiese requerido la instalación de un motor eléctrico - de cuádruple potencia.

Otra de las aplicaciones del acumulador con respecto a - circuitos líquidos de cualquier clase, pero indudablemente -- fundamental para el dimensionamiento y la racionalización de los circuitos oleodinámicos es como reserva de presión. Uni- do a un determinado tramo de un circuito y convenientemente - cargado de aceite a presión durante una fase del ciclo, el a-cumulador puede defectivamente mantener bajo presión dicho -- tramo y sus receptores correspondientes incluso cuando, por - razones impuestas por el propio ciclo, la conexión con la bom ba debe ser interrumpida.

Las características elásticas del acumulador permiten así también las aplicaciones estáticas como la descrita, secun
dar eventuales desplazamientos del receptor con la mayor facilidad, sin que el fenómeno vaya accmpañado de grandes variaciones de presión. Un ejemplo típico de esta aplicación se -

halla representado por los dispositivos hidráulicos de apriete y ensamblado.

En su función como reserva de presión está implícitamente contenida la de suplir a la bomba en los casos de falta accidental de alimentación; este cometido, como fuente de energía de emergencia, es de particular importancia en instalacio nes donde se requiere un funcionamiento quizás a intermitencias, pero absolutamente garantizado.

La adaptación a las variaciones de volumen sobre la cual se basa la ya descrita función regularizadora tiene, a su vez dos interesantes ventajas: la primera radica en la absorción de las dilataciones a las que por cualquier razón (térmica, - mecánica, cinemática) estuviese sujeto un circuito momentanea mente seccionado, y por tanto privado de descarga; la segunda atañe más específicamente a los circuitos cerrados sin alimen tación exterior, en los cuales el cilindro actúa como bomba - bajo la acción mecánica de otros dispositivos de la máquina, como sucede en los pisadores para sujetar la plancha en las - prensas, o en los mecanismos para el cierre de tolvas tras la descarga del material, 'etc.

El cálculo de un acumulador de vasija elástica destinado a funcionar como reserva de energía y como reserva de presión

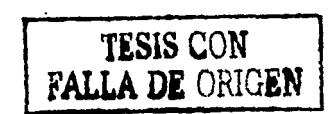
es el siguiente: llamemos P₂ y P₁, respectivamente, a las — presiones máxima y mínima que se desea alcanzar en el circuito hidráulico; sea además P₀ las presión de carga del acumula dor, es decir, la del gas introducido en la vasija cuando en la acometida de conexión al circuito no está aplicada ninguna presión de aceite; sean finalmente W el volumen del líquido — que se quiere introducir y luego extraer, y v₀ el volumen total del acumulador (es decir, su volumen geométrico interior). El cálculo se ejecuta, en primera aproximación, aplicando la conocida Ley de Boyle, según la cual en todo gas perfecto a — temperatura constante, el producto de la presión por el volumen es a su vez constante. A las presiones P₀, P₁, P₂, la vasija ocupará respectivamente los volúmenes v₀, v₁, v₂, — donde la diferencia v₁ — v₂ es precisamente W.

De acuerdo con la Ley de Boyle se podrá escribir: $P_0 \ v_0 = P_1 \ v_1 = P_2 \ v_2 = \text{const.} \eqno(56)$ Despejando separadamente vi y v_2 y restando ambas expresiones se obtiene:

$$W = v_1 - v_2 = \frac{v_0 \cdot (P_2 - P_1)}{P_2} - \frac{P_0}{P_1}$$
 (57)

donde la relación P_0 / P_1 = Z define la presión previa del gas (Z suele ser comprendida; a título indicativo entre 0.5 y --- 0.9). De la ecuación 57 tenemos:

$$v_0 = \frac{W P_2}{Z (P_2 - P_1)}$$
 (58)



Esta fórmula solo puede considerarse válida cuando los - cambios de estado termodinámicos del gas que actúa como un resorte se realizan con cierta lentitud, de manera que durante los mismos se cumpla la hipótesis de isotermia (constancia - de la temperatura), para tiempos de carga o de descarga superiores a unos tres minutos.

Cuando por el contrario, el ciclo de carga o de descarga tiene lugar en un tiempo bastante breve, el comportamiento — del gas, y por tanto el del acumulador, es sensiblemente adia bático (a calor constante), y puede expresarse por la ecua—ción P v¹·²= constante. Siguiendo el mismo proceso matemático del caso anterior, tendremos ahora:

$$P_0 \ v_0^{1 \cdot 4} = P_1 \ v_1^{1 \cdot 4} = P_2 \ v_2^{1 \cdot 4} = const.$$
 (59)
despejando

$$W = v_1 - v_2 = v_0 \frac{(P_2 \cdot 7^2 - P_1 \cdot 7^2)}{P_2} (\frac{P_0}{P_1})^{-7^2}$$
 (60)

$$S1 \frac{P_0}{P_1} = Z$$

$$v_0 = \frac{W P_2 \cdot 7^2}{Z \cdot 7^2 (P_2 \cdot 7^2 - P_1 \cdot 7^2)}$$
(61)

Para la elección correcta de un acumulador de vasija e-lástica como reserva de energía o como reserva de presión, de bemos tomar en cuenta lo siguiente:

.25
$$P_2 \le P_0 \le .9P_1$$

$$\frac{P_2}{P_1} \le 3 \text{ a } 3.5$$

TESIS CON FALLA DE ORIGEN

3.4.3 EL ACUMULADOR HIDRAULICO Y EL GOLPE DE ARIETE.

Una de las mayores aplicaciones de los acumuladores hi-dráulicos en los circuitos hidráulicos está en la eliminación
o reducción de las altas pulsaciones de presión o choques en
las líneas.

Se han usado diversidad de sistemas y equipos para elim<u>i</u> nar los choques de onda, pero actualmente los acumuladores es tán siendo usados ampliamente como amortiguadores por un gran número de procesos de manufactura y sistemas hidráulicos in—dustriales.

La instalación de un acumulador del tamaño adecuado cerca de donde se produce el choque de onda puede eliminar o minimizar las vibraciones en un circuito hidráulico.

Para la aplicación de un acumulador como amortiguador, - la magnitud del choque o golpe de ariete debe de ser calcula-da para determinar la capacidad del acumulador.

Para un mejor resultado el tamaño del acumulador debe de ser correctamente evaluado con todos los parámetros de un sistema en particular.

Hemos visto que el golpe de ariete es producido por una

TESIS CON
FALLA DE ORIGE:

rápida des-aceleración del flujo del fluido y la presión aumenta debido al choque de un modo proporcional a la velocidad
de des-aceleración del flujo. En otras palabras, si una columna de fluido en movimiento se para gradualmente, el choque
y por consecuencia la variación de presión será mucho menor que si el fluido es frenado rápidamente. Entonces vemos que
un equipo con un acumulador hidráulico instalado justo antes
de una válvula de cierre rápido, amortiguará gradualmente las
ondas de presión que se generen en el circuito hidráulico.

Para determinar la capacidad del acumulador debemos to--mar en cuenta dos aspectos:

- Las pérdidas por fricción son muy pequeñas y pueden ser omitidas.
- 2. La energía absorbida por la columna del fluido y por la expansión de la tubería es muy pequeño en comparación con la energía que absorbe el acumulador y por lo tanto es -despreciable.

Un fluido que circula a través de una tubería tiene una cantidad de energía cinética igual a:

E.C. =
$$\frac{\text{wALV}_0^2}{2g}$$

Si el fluido es frenado rápidamente, la energía cinética que tiene en ese momento, se transforma en otra forma de ener



gía haciendo un trabajo de expansión en la tubería o por me--dio de calor.

Si un acumulador con una capacidad vi se instala antes y lo más cercano posible a la válvula de cierre rápido, la energía cinética presente en el fluido antes de que la válvula se cierre puede ser transformada en energía potencial (P.E.), acumulada en el gas compresible del acumulador, precargado con anterioridad. Este fenómeno tiene lugar cuando la presión de precarga del acumulador Pi, que es también la presión normal del sistema.

Así tenemos que:

Energía cinética presente en el sistema antes de cerrar la -válvula = energía almacenada en el volumen de gas del acumula
dor entre los límites de presión P_1 y P_2 .

Si la compresión del gas en el acumulador sigue un proceso adiabático, de tal modo que PVⁿ = constante. Entonces de -- la Figura 65 la energía almacenada en el acumulador se puede expresar como:

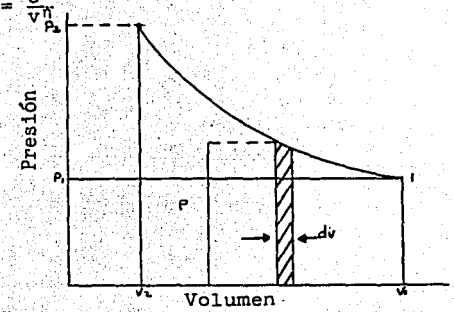
$$P.E. = -\int_1^2 \rho dv$$

(El signo negativo es debido a que si integramos del volumen 1 al 2 la dirección de integración es hacia abajo, negativo). Sabemos que:

$$P_1 v_1^n = P_2 v_2^n = cons.$$
 (62)

 $P_1 \cdot V_1 \cdot = P_2 \cdot V_2 \cdot = cons.$ (62.)

FIGURA 65



Sustituyendo

$$P = \frac{c}{vn} en - \int_{1}^{2} \rho dv$$

Tenemos que

P.E. =
$$-I_1^2 \rho dv$$
 = $-cI_1^2 \frac{\rho V}{V n}$
P.E. = $-\left[-\frac{cV^{-n+1}}{-n+1}\right]_1^2$ = >P.E. = $-c\left[\frac{V_2^{1-n} - V_1^{1-n}}{1-n}\right]$
P.E. = $\frac{cv_1^{1-n}[1 - (\frac{V_2}{V_1})^{1-n}]}{1-n}$
- 137 -



De la 62

$$\frac{\mathbf{v}_2}{\mathbf{v}_1} = (\frac{\mathbf{p}_1}{\mathbf{p}_2})^{1/n} = (\frac{\mathbf{p}_2}{\mathbf{p}_1})^{-1/n}$$
 (64)

Sustituyendo 64 en 63

$$P.E. = \frac{(P_1 v_1^{\eta})(v_1^{1-\eta}) \left[1 - (\frac{P_2}{P_1})^{\eta-1}/\eta\right]}{1 - \eta}$$

$$P.E. = \frac{P_1 v_1 \left[\left(\frac{P_2}{P_1} \right)^{\frac{n-1}{n}} - 1 \right]}{n-1}$$
 (65)

S1 P.E. = C.E.

$$P_{1}v_{1}\frac{\left[\left(\frac{P_{2}}{P_{1}}\right)^{\frac{n-1}{\eta}}-1\right]}{\eta-1}=\frac{\text{wALV}_{0}^{2}}{2g}$$
(66)

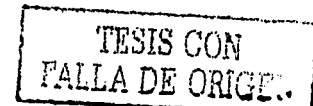
$$v_1 = \frac{\text{wALV}_0^2(n-1) (12)}{2gP_1[(\frac{P_2}{P_1})^{\frac{n-1}{\eta}} - 1]}$$
(67)

Para acumuladores precargados con presión Px, diferente a la presión P del sistema, la capacidad del acumulador vx -- puede ser calculada por

$$v_{X} = v_{1} (\frac{P_{1}}{P_{2}})^{1} \eta$$
 (68)

3.4.4 FUNCIONAMIENTO GENERAL DE UN ACUMULADOR HIDRAULICO EN LA AMORTIGUACION DEL GOLPE DE ARIETE.

Los acumuladores hidráulicos son diseñados para contro-lar los rápidos cambios de velocidad que puede causar un alza



de presión en la tubería, originando el fenómeno de golpe de ariete.

Este fenómemo hidráulico varía en importancia desde un - simple cambio de velocidad o presión del flujo, hasta generar vacios o presiones de considerable magnitud que colapsen o revienten tuberías y uniones o que dañen a la bomba.

Los acumuladores minimizan este fenómeno por el uso de una vasija cargada con aire o gas y conectada a la tubería -que lleva el líquido. Esta vasija tiene la capacidad de convertir la energía cinética del movimiento del líquido en ener
gía potencial cuando una sobre-presión en el líquido ocurre.
Cuando una bomba se para, la vasija elástica del gas se expan
de y "bombea" el fluido necesario a la tubería y evita así la
formación de vacio y la separación de la columna.

En esta característica hidroneumática la que da al acumu lador hidráulico la habilidad de controlar estos cambios de \underline{e} nergía.

Una analogía puede ser usada para explicar este fenómeno hidráulico y como el acumulador hidráulico controla los cam--bios de energía.

Considerando que una locomotora empuja unos vagones cues ta arriba, que es similar a que una bomba empuje una columna de líquido a través de una tubería a un tanque elevado.



FIGURA 66

Cuando la locomotora se para, los vagones del convoy continuan moviéndose hasta que se paran por la fricción y la gravedad.



FIGURA 67

La gravedad provoca que el convoy se venga cuesta abajo hasta que chocan con la locomotora.



FIGURA 68

Se pueden ver fácilmente los resultados. Ningún choque se produciría si existiera otra locomotora con más vagones en una línea lateral que impidiera que el convoy se vieniera abajo y chocara con la locomotora parada.



FIGURA 69

Así es el sistema de bombeo al tanque elevado. Cuando - la bomba se para, el líquido fluye y se va de la bomba, la columna de líquido se separa y forma vacio aguas abajo de la -- válvula de retención hasta que por la influencia de la gravedad y de la fricción deja de moverse.



Entonces la gravedad provoca que se venga en reversa has ta que choca con la válvula de retención cerrada. El resulta do del choque puede resultar sin importancia o puede causar -

una falla catastrófica.



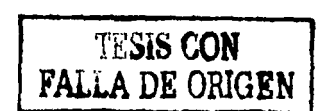
FIGURA 71

Y otra vez, ningún choque resultaría si al sistema de — bombeo se le une un acumulador hidráulico. Este introduciría líquido en la tubería reemplazando a la bomba durante el tiem po necesario para impedir la separación de la columna de lí—quido y evita que el fluido vaya en reversa hasta que se esta blezca el equilibrio.



FIGURA 72

Los choques con tuberías también pueden ser causados por movimientos rápidos de la válvula. Esto puede ser reducido - por una regulación lenta de la acción de la válvula. Requerimientos de emergencia de las válvulas como en incendios, diluvios e instaluciones en donde se transfiere combustible no --



permiten este tipo de regulación.



FIGURA 73

Si se usa un movimiento rápido de la válvula para frenar el flujo de un fluido puede ser como si un muro de piedra sólida es usado para frenar un convoy y su locomotora que co---rren a gran velocidad.



FIGURA 74

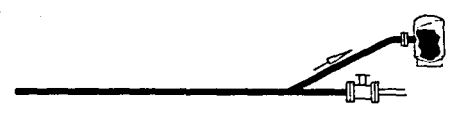
Llevando al tren a un paro gradual por frenado, es semejante a un cerrado controlado de la válvula. Un tramo de vía lateral con pendiente hacia arriba pararía el convoy sin ninguna complicación si la obstrucción no se puede remover.



FIGURA 75



Una válvula de acción rápida no causa un choque dañino si un acumulador hidráulico es instalado aguas arriba en una línea lateral el cual frenaría de modo seguro el movimiento del fluido.



.FIGURA 76

Otro lugar en donde se gasta energía con potencia suficiente como para causar serios daños es el arranque de las -bombas. Esta energía se reconoce fácilmente con la analogía
del ferrocarril. La locomotora debe revolucionar sus motores
y patinar sus ruedas hasta obtener inercia suficiente para mo
ver el convoy.



FIGURA 77

Si la energía puede ser proporcionada por el uso de un - gran resorte entre la locomotora y los vagones, un arranque -

suave puede resultar.



FIGURA 78

El alto consumo de energía para arrancar una bomba puede ser proporcionada por un acumulador hidráulico en la línea de descarga de la bomba.



FIGURA 79

3.4.4.1 Funcionamiento de un Acumulador Hidráulico cuando se Para la Bomba.

Cuando se para la bomba de la Figura 80, la presión en - la tubería (A) aguas abajo de la válvula de retención de la - bomba empieza a decrecer. Este cambio en la presión es detectado a través de la brida (B) y el gas (E) se expande, forzan do al líquido almacenado (F) a salir del acumulador (D) a la tubería, actuando como una bomba neumática hasta que la pre--

sión deja de disminuir. En este tiempo, el acumulador se va a vaciar de líquido y la presión de la tubería es más baja que la estática del sistema.

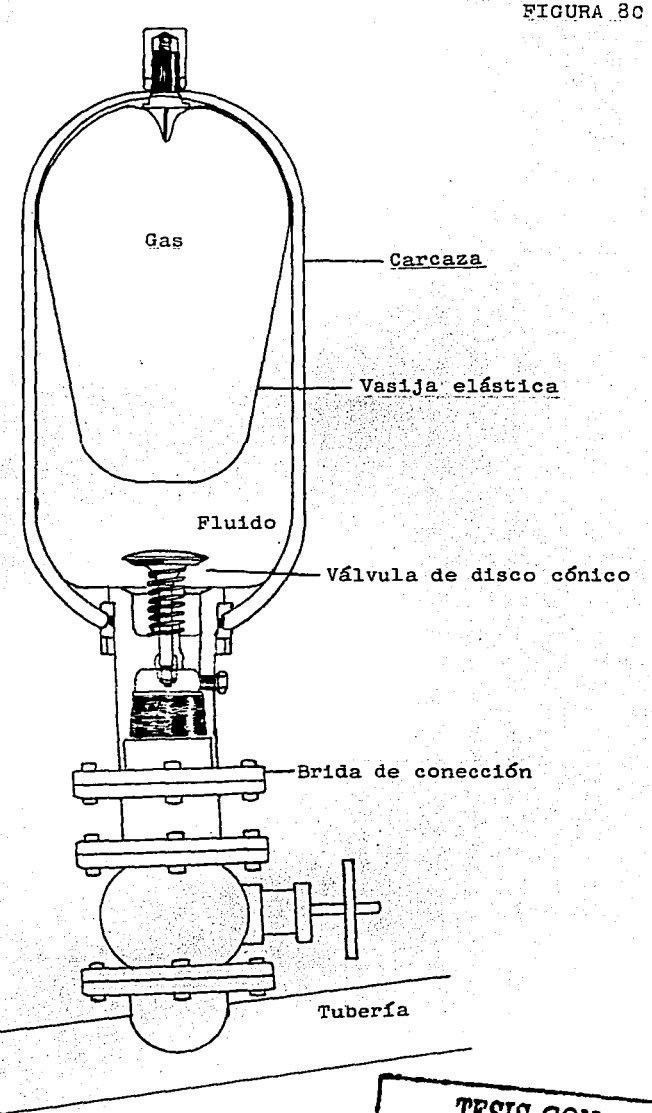
Esta presión mínima es solo pasajera y el sistema empieza a regresar flujo al área de bombeo ajustándose por si so-lo. El líquido que regresa fluye dentro del acumulador con una resistencia producida por la fricción de la válvula de -disco cónico (C), que tiene una caída baja de presión cuando
el líquido sale y una alta cuando el líquido entra.

3.4.4.2 Funcionamiento durante el Arranque de la Bomba.

Cuando se arranca una bomba, la columna aguas abajo se resiste al movimiento y provoca que la presión en la bomba -aumente considerablemente. Cuando bombas de turbinas vertica
les sin válvula de pie se arrancan, el líquido en la columna
de la bomba se eleva con gran velocidad y choca contra una -válvula de retención que está disparada por el líquido estáti
co provocando un choque severo.

Con un acumulador hidráulico, el flujo de la bomba es recibido por el acumulador comprimiendo el gas de la vasija e-lástica. La energía de la bomba que es así almacenada es liberada de una forma controlada para estabilizar el flujo.

tesis con Falla de origen



147

TESIS CON FALLA DE ORIGEN

3.4.4.3 Funcionamiento durante la Reducción del Flujo.

Cuando una válvula de la Figura 80 es cerrada en (A) conectada a un acumulador (D) por la brida (B), la presión en la línea adyacente a la válvula empieza a elevarse. El gas (E) en el acumulador es comprimido conforme el líquido entra al acumulador. El flujo hacia adentro continua hasta que la presión alcanza el punto de diseño. En este tiempo el flujo se para y el acumulador está lleno de líquido y con un pequeño volumen de gas comprimido. La presión será mayor que la presión estática del sistema y el gas comprimido bombeará líquido de regreso al sistema. El dispositivo de fricción o válvula de disco cónico (C) controla el flujo de salida, esta biliza el sistema y minimiza las oscilaciones de presión.

3.4.5 DISENO DE UN ACUMULADOR HIDRAULICO DE VASIJA ELASTICA.

Para diseñar y posteriormente calcular y construir un acumulador hidráulico de vasija elástica, mencionaremos brevemente las características de diseño de sus diferentes partes.

Como vimos anteriormente un acumulador hidráulico de este tipo, se compone básicamente de tres partes:

- 1. El recipiente.
- 2. La vasija elástica.
- 3. La válvula de disco cónico



3.4.5.1 Diseño del Recipiente.

Los acumuladores hidráulicos de vasija elástica son ge-neralmente cilíndricos con cabezas semi-esféricas. Los recipientes cilíndricos son la forma más usada en el diseño de re
cipientes a presión. Esta forma es desarrollada mediante la
rotación de una línea recta paralela al eje de rotación.

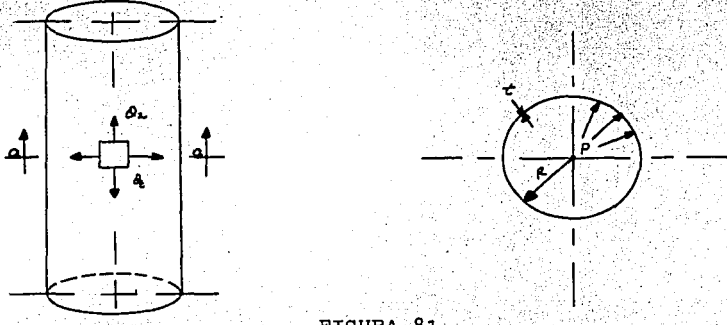


FIGURA 81

Los esfuerzos en un recipiente cerrado bajo la presión - interna P pueden ser calculados por las condiciones de equil<u>i</u> brio estático mostrado en la Figura 81 en la dirección longitudinal.

De la primera ecuación de equilibrio

$$P/te = (\sigma_t/R_t) + (\sigma_t/R_t)$$

sablendo que el radio meridional de curvatura $R_L^{-\infty}$ y el segundo, el mínimo radio de curvatura que es el radio del cilindro $R_L^{-\infty}$.

Tenemos



$$(\sigma_{L}/\varpi)$$
 (σ_{t}/R) = P/te σ_{t} = PR/te

El crecimiento radial del recipiente es:

$$\Delta R = R_{et} = (R/E) (\sigma_t - v\sigma_L) = PR^2/Ete) (1-v/2)$$

El esfuerzo tangencial puede ser expresado en términos del radio interno.

$$\sigma_{t} = PR/te = P(Ri + .5 te)/te$$
 (69)

El espesor de la membrana es entonces

te =
$$PRi/(\sigma_t - .5P)$$
 (70)

Las fórmulas del espesor del recipiente y el código de - esfuerzos basados en el radio interno se aproxima de un modo más exacto a la fórmula de espesor de pared de Lamé.

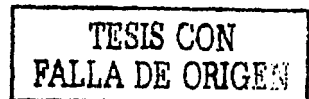
o

te=
$$(PR1)/(SE - .6P)$$
 (72)

usando 0.6P en vez de 0.5P, en donde E es la eficiencia de -soldadura y S es el esfuerzo del código.

Ambos σ_t y σ_L son esfuerzos principales sin ningún esfuerzo - cortante en el lugar del elemento diferencial.

Los recipientes esféricos o las cabezas semi-circulares se desarrollan haciendo rotar un círculo alrededor de un eje. Para recipientes esféricos bajo presión interna ambos radios principales son los mismos, por tanto $\sigma_{\rm t}$ y $\sigma_{\rm L}$ son iguales.



De la ecuación de equilibrio estático. Figura 82, así tenemos que:

$$(\sigma_{T}, \cos \alpha)$$
 t 2 $\pi R \cos \alpha = \pi R^2 \cos^2 \alpha P$

y como

 $\sigma_r = PR/2t$

pero

$$\sigma_{T}/R + \sigma_{+}/R = P/t$$

así que

$$\sigma_t = PR/2t = \sigma_L$$

La fórmula del código de esfuerzos basada en el radio interno y eficiencia de la junta E:

$$SE = PR1/2t + .1P$$

0

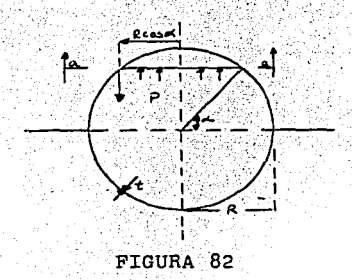
$$t = PR1/(2 SE - 2P)$$

(73)

en donde 0.1P es el factor de corrección. El crecimiento radial AR es:

$$\Delta R = R(\sigma_t/E - v\sigma_L/E) = PR^2/tE[(1 - v)/2]$$

en donde E es el módulo de elásticidad.



- 151 -

TESIS CON FALLA DE ORIGEN Ambos esfuerzos $\sigma_{\mathbf{L}}$ y $\sigma_{\mathbf{L}}$ son uniformes en todo el espesor del recipiente a presión.

La discontinuidad de los esfuerzos en un recipiente cilíndrico con cabezas semi-esféricas puede ser minimizado mediante el desvanecimiento en la unión del cilindro con la cabeza semi-esférica. Si el crecimiento del cilindro es el mismo que
el de la cabeza entonces tenemos que:

$$\Delta R_c = \Delta R_s$$

$$(PR^{2}/2 Et_{c}) (2 - v) = (PR^{2}/2Et_{s}) (1 - v)$$

 $t_{s} = t_{c} (1 - v)/(2 - v) = .41 t_{c}$ (74)

3.4.5.2 Diseño de la Vasija Elástica.

Las características de diseño de una vasija elástica son las mismas que las usadas en el diseño del recipiente que vimos en el inciso anterior.

3.4.5.3 Características de la Válvula de Disco Cónico.

Las válvulas de disco cónico, pertenecen a las válvulas de asiento, en donde el movimiento es normal al plano del orificio y parelelo a la fuerza que la presión estática ejerce a través de la válvula.

La válvula de asiento que mejor se adapta al control de potencia es la válvula de disco cónico.



La válvula de disco cónico o válvula fungiforme es muy \underline{u} sada en los acumuladores hidráulicos para controlar el flujo de salida, minimizar las oscilaciones y estabilizar el sistema.

Esta válvula también es usada en algunos motores de va-por, prácticamente en todos los motores de combustión interna
y como interruptores de flujo en circuitos hidráulicos.

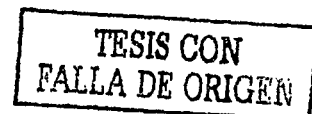
Es relativamente fácil y barata su fabricación y algunas de sus virtudes son: su relativa inmunidad a la suciedad y su efectivo cierre. Entre sus desventajas tenemos que, no se -- puede usar como elemento de control preciso.

El material con el que debe ser fabricada la válvula no debe de ser muy duro ni muy dúctil, y debe mantener siempre - sus dimensiones originales cuando está en servicio o cuando - está parada. Normalmente se usa un acero SAE 52100 y si hay problemas de corrosión se usa un acero inoxidable.

Para un mejor funcionamiento de la válvula, el diseño adecuado del resorte con que opera es escencial.

3.4.5.3.1 Diseño del Resorte de la Válvula de Disco Cónico.

La correcta operación de muchas válvulas dependen del di



seño adecuado del resorte de la misma. El resorte puede de-terminar la presión de salida, la distancia que se va a mover
la válvula y la eficiencia de cerrado de ésta. Un diseño ade
cuado del resorte, nos ayuda a reducir la tendencia de la vál
vula a vibrar y aumenta su estabilidad.

La mayorfa de las válvulas operan con resortes helicoida les a compresión hechos de sección transversal circular aun-que también hay válvulas que operan con resortes helicoidales a torsión.

En este estudio nos limitaremos a los resortes helicoid<u>a</u> les a compresión:

Resortes a Compresión.

El diseño de un resorte helicoidal a compresión se basa principalmente en las ecuaciones siguientes:

$$\frac{R_{R}}{V} = \frac{R_{R}}{V} \tag{75A}$$

$$R_{R} = \frac{d^{4}R^{G}}{8D^{3}_{B}N}$$
 (75B)

У

$$S_{R} = \frac{2.55 F_{R} D_{R} K_{R}}{d^{3}_{R}}$$
 (76)

La ecuación 75A es la expresión general de la Ley de ---



Hooke en donde se muestra a la constante elástica del resorte en términos de la fuerza y la deformación.

Siendo R_R la constante elástica del resorte, F_R la fuerza aplicada y la deformación se expresa por Y.

La ecuación 75B nos muestra la constante elástica en términos de los factores geométricos y de las propiedades del material y es válida hasta el límite elástico del material.

En donde d_R^- es el diametro del alambre, G es el módulo de torsión, D_R^- es el diametro medio de la espira y N es el número de espiras activas del resorte.

La ecuación 76 nos da el máximo esfuerzo al que puede -ser sometido un resorte bajo la acción de una carga.

El factor Wahl, KR, se define como

$$K_{R} = \frac{\frac{4}{4} \cdot C_{R} - 1}{4 \cdot C_{R} - 4} + \frac{0.615}{C_{R}}$$
 (77)

en donde C_R es la razón de diametros D_R/d_R , D_R es el diametro de la espira y d_R es el diametro del alambre.

El factor Wahl se debe tomar siempre en cuenta para resortes de operación cíclica, vibración, cargas de impacto y en situa ciones en donde el esfuerzo calculado esté cerca del esfuerzo límite del material.



IV. CALCULO DE UN ACUMULADOR
Y SU ADAPTACION A UN
GENERADOR DE GOLPE DE ARIETE

4.1 DESCRIPCION DEL APARATO DE GOLPE DE ARIETE.

El aparato de la Figura 83 fue diseñado para el estudio del fenómeno de Golpe de Ariete.

Básicamente consiste de un tubo de cobre en espiral que es alimentado con agua de la línea principal del lugar donde se instale, y de una válvula solenoide al final de la tubería para que el cerrado sea rápido y así producir mejor el fenóme no. Tiene un transductor deforfimétrico de presión muy cerca de la válvula, el cual es conectado al osciloscopio en donde se observan los cambios de presión que ocurren cuando se cierra la válvula. Una válvula de paso es colocada en la entrada de la tubería y otra similar después de la válvula solenoi de, con estas dos válvulas podemos controlar el flujo y la --presión del líquido antes de cerrar la válvula solenoide. Un manometro Bourdon es colocado entre la válvula solenoide y la válvula de paso situada al final de la tubería, para indicar la presión del sistema y calibrar el transductor.

Una caja de control en la mesa de operación del aparato contiene las baterías que excitan al transductor y al oscilos copio, junto con los interruptores de control.



Datos técnicos:

Longitud de la tubería:

200 ft.

Diametro interior:

0.5 in.

Espesor de la pared

0.047 in.

de la tubería:

215 lb/in?

Presión máxima:

Presión de operación:

14.5 lb/in2

Flujo de operación: 0.00353 ft³/seg.

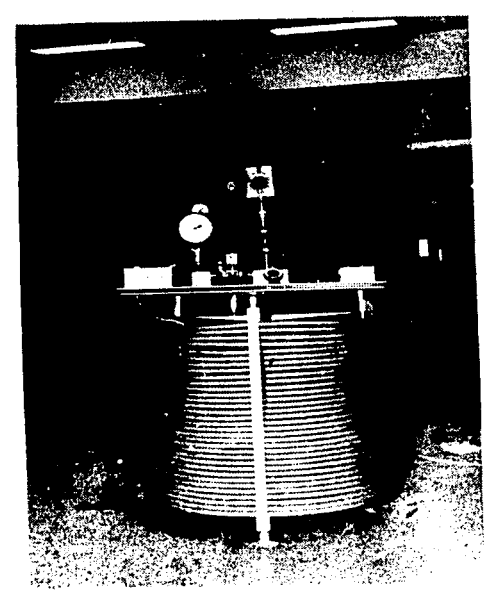


FIGURA 83

4.2 CALCULO DEL ACUMULADOR HIDRAULICO.

Los cálculos necesarios para determinar los parámetros de diseño del acumulador hidráulico se realizarán en función de - las características y condiciones normales de operación del Generador de Golpe de Ariete descrito anteriormente.

Primero calcularemos la carga de oscilación del sistema, para determinar el volumen del acumulador y de este modo, poder calcular las diferentes partes de las que se compone el mismo, como lo son: el recipiente, la vasija elástica y el resorte de la válvula de disco cónico.

4.2.1 CALCULO DE LA CARGA DE OSCILACION.

La carga de oscilación la podremos encontrar resolviendo las ecuaciones 15 y 16 para

H - Ho siendo $f(t + \frac{x}{a}) = 0$, por ser un movimiento rápido el de la válvula, tenemos que:

H - Ho =
$$F(t - \frac{x}{a}) + f(t + \frac{x}{a})$$
 (15)

$$V - V_0 = -\frac{g}{a}[F(t - \frac{x}{a}) + f(t + \frac{x}{a})]$$
 (16)

 $H - Ho = -\frac{a}{g}(\Delta V)$

En donde

Ho es la carga para condiciones estables.

H es la carga de oscilación.



a es la velocidad de la onda de presión.

g es la aceleración de la gravedad.

ΔV es el cambio en la velocidad del agua en la valvula.

sabiendo que:

Ho = 29.2 psia. = 67.3 ft.

a = 4307.6 ft/seg. de la ecuación 10.

g = 32.2 ft/seg²

ΔV= 2.592 ft/seg.

tenemos que:

H = 279.449 ft. = 121.124 psia.

4.2.2 CALCULO DEL VOLUMEN DEL ACUMULADOR.

De la ecuación 67 podemos calcular el volumen del acumulador.

$$v_1 = \frac{w \ A \ L \ Vo^2 (\eta = 1)}{2 \ g \ P_1 \ \left[(\frac{p}{p_1}) \right] - \eta - 1}$$

en donde

w es el peso específico del fluido.

A el área de la sección transversal.

L la longitud.

Vo la velocidad del fluido.

n es el coeficiente

g es la aceleración de la gravedad.

P1 es la presión para condiciones estables.

P₂ es la presión de oscilación.

sablendo que

w = 62.42 lbs/ft

 $A = 0.0013621 ft^{2}$

L = 200 ft.

Vo = 2.592 ft/seg.

n' = 1.4

g = 32.2 ft/seg?

 $P_1 = 29.2 \text{ psia.}$

 $P_2 = 121.124 \text{ psia.}$

tenemos que

 $v_1 = 0.5832 in$

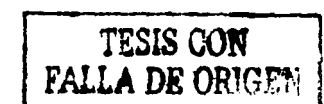
4.2.3 CALCULO DEL RECIPIENTE.

El recipiente más utilizado para la construcción de los acumuladores hidráulicos es el recipiente cilíndrico con cabezas semi-esféricas.

El material que se usará para el recipiente será acrílico con el objeto de visualizar el funcionamiento del acumulador.

Primero calcularemos el radio interior y la altura óptima para minimizar el área total del recipiente y posteriormen te determinaremos el espesor de la paredes del mismo.

Si
$$A_{AC} = 2\pi r_{AC}h_{AC} + \pi (2r_{AC})^2$$
 (78)



 $v_{AC} = \pi r^2 A c^h A c^{+4/3} r^3 A c$ (79) Sustituyendo h_{AC} de la ecuación 79 en la 78 y minimizando el radio, nos queda

$$r_{AC}^{3} = \frac{-4 \text{ V}_{AC}}{+\pi(-\frac{16}{3} + 8\pi)}$$

De la ecuación 70 calculamos el espesor (te) del cilindro.

$$te = P_2Ri/(\sigma_t - .5 P_2)$$
 (70)

En donde

P2 es la presión de oscilación.

Ri es el radio interno.

 $\sigma_{f t}$ es el esfuerzo permisible del material.

Sabiendo que la carcasa se maquinará en acrílico.

P2 = 121.124 psia.

Ri = .3345 in.

 $\sigma_{t} = 8.7 \times 10^{3} \text{lb/in}$?

Tenemos que

te = .00468 in.

Para las cabezas semi-esféricas de la ecuación 73.

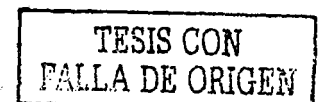
te = $PR1/(2\sigma_{\downarrow} - 2P)$

Con los datos anteriores tenemos que

te = .002361 in.

4.2.4 CALCULO DE LA VASIJA ELASTICA.

Para la construcción de la vasija elástica, la forma geométrica que más recomienda es la de un cilindro con cabezas -



semi-esféricas, usando un hule vulcanizado o un hule conocido como Buna N.

De la ecuación 69 calculamos el espesor del cilindro

 $\sigma_{\perp} = P_2R/te$

te = P_2R/σ_+

en donde

σ, es el esfuerzo permisible del material.

P2 es la presión de oscilación.

R es el radio

sabiendo que

 $\sigma_{+} = 2.5 \times 10^{3}$

 $P_2 = 121.124 \text{ psia.}$

R = .3345 in.

tenemos que

te = 0.0162 in.

para las cabezas semi-esféricas

te = $PR/2\sigma_t$

con los datos anteriores tenemos que

te = .00810 in.

4.2.5 CALCULO DEL RESORTE DE LA VALVULA DE DISCO CONICO.

Para el cálculo del resorte de la válvula de disco cónico debemos tomar en cuenta las siguientes consideraciones: La presión de operación del resorte y la presión del sistema son iguales. Por cuestiones de instalación el diámetro exterior de la espira no debe de exceder el diámetro interior de la tubería del sistema y la deformación no debe de ser menor que la altura mínima necesaria para abrir completamente la válvula.

El material recomendado para este resorte es un acero inoxidable para no tener problemas de corrosión, por ser agua el fluido a controlar.

Para conocer el número de espiras del resorte sustitui-mos la ecuación 75A en la 75B y despejamos N.

$$R_{R} = \frac{F_{R}}{Y} \tag{75a}$$

$$R_{R} = \frac{d^{4}R}{5D^{3}_{R}N}$$
 (75B)

$$N = \frac{Y G d^4 R}{8 D^3 R(F_R)}$$

en donde

N es el número de espiras.

Y es la deformación del resorte.

G es el módulo de torsión.

D_p es el diámetro de la espira.

 $d_{\rm R}$ es el diámetro del alambre (por recomendación del fabrican te $d_{\rm R}$ = 0.1 $D_{\rm R}$).

FR es la fuerza axial aplicada al resorte.

KR es el factor Wahl del resorte.



sablendo que

y = 0.3 in.

 $G = 10 \times 10^8 \text{ Lb/in}^{\pm}$

 $D_{\rm R} = .393 \, {\rm in}$.

d_{p.} = .0393 in..

 $F_{R} = 1.758 \text{ lb.}$

tenemos que:

N = 8.38

N = 9 espiras activas

De la ecuación 76 vemos si el material resiste.

 $S_{p} = 43608.407 \text{ lb/in}^{2}$

Sabemos que el esfuerzo máximo permisible para un acero inoxidable es de aproximadamente 100,000 lb/in?

TESIS CON FALLA DE ORIGEN

4.3 ADAPTACION DEL ACUMULADOR AL GENERADOR DE GOLPE DE ARIETE.

Para adaptar el acumulador hidráulico al generador de — golpe de ariete se realizó una pequeña modificación al equipo original. Esta consistió en conectar una unión Tee a la unión del transductor con el sistema para contar con dos líneas paralelas, a la primera va conectado el transductor o un manóme tro que nos indica las variaciones de la presión en el sistema, y a la segunda va conectada una válvula de globo y en seguida de ésta, el acumulador hidráulico.

La válvula de globo tiene por objeto el permitirnos realizar pruebas sin usar el acumulador cuando ésta se encuentra cerrada y con el acumulador cuando se encuentra abierta.

El acumulador puede ser montado o desmontado del generador fácilmente cuando se requiera desarmarlo para ver sus par tes detalladamente o cuando el generador no esté en uso.

La adaptación del acumulador al generador se muestra en la Figura 84.



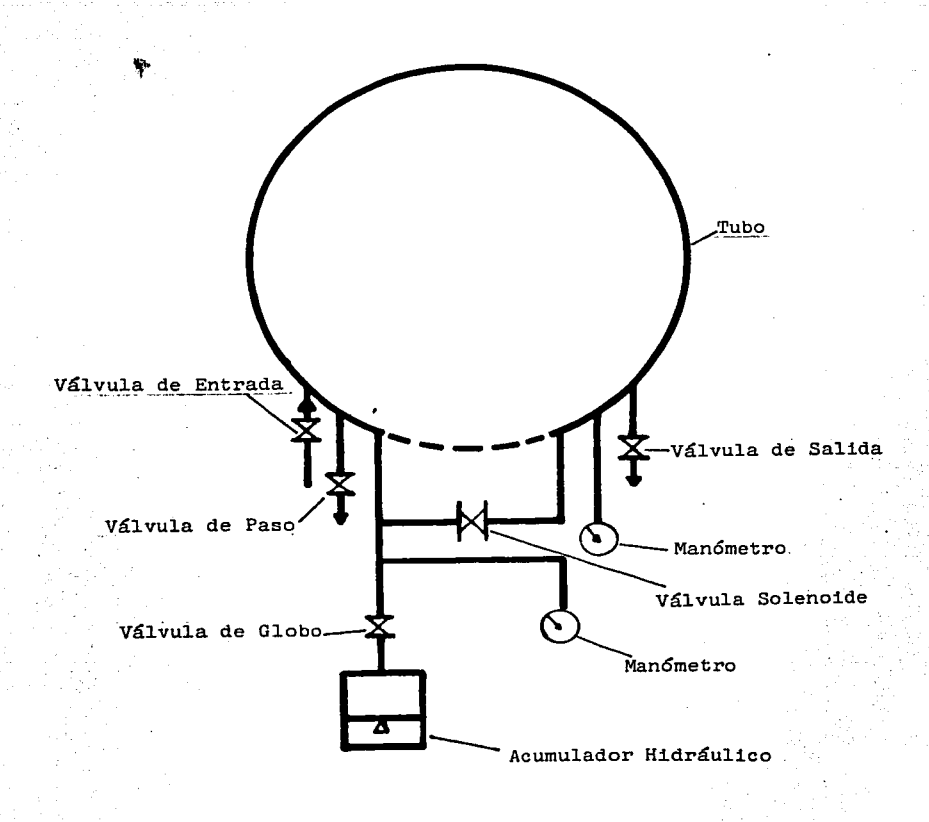


FIGURA 84

TESIS CON FALLA DE ORIGEN

4.4 INSTRUMENTACION Y EQUIPO AUXILIAR.

Los principales aparatos de medición que se deben de con siderar en este equipo son un manómetro Bourdon, que se utiliza para conocer la presión en el sistema; un osciloscopio que conectado al transductor nos indica las variaciones de la onda de presión cuando se produce el fenómeno de Golpe de Ariete, o un manómetro Bourdon para conocer la diferencia de presión en el choque hidráulico. Y para medir el flujo se utiliza un cronómetro y una probeta graduada.



V. CONSTRUCCION Y ADAPTACION DE UN ACUMULADOR

169

TESIS CON FALLA DE ORIGEN

5.1 MATERIALES Y METODOS.

Antes de iniciar la construcción del acumulador hidrául<u>i</u> co habrá que fijar algunas de sus características en base a - su funcionamiento y al objetivo que se persigue.

Se deben determinar el tamaño, tipos de materiales para la construcción de las diferentes partes, forma de adaptación del acumulador al generador y todo aquello necesario para la construcción de un acumulador hidráulico de vasija elástica - con fines didácticos.

De acuerdo al objetivo, se pretende observar el funciona miento de un acumulador hidráulico en la amortiguación de las ondas de choque producidas por el cierre rápido de una válvula. Esto consiste en visualizar la deformación de la vasija elástica y el funcionamiento de la válvula de disco cónico.

Para cumplir con este objetivo se optó por construir el recipiente de dimensiones superiores a las calculadas en el - capítulo anterior y en acrílico transparente ya que este material es más resistente y se puede trabajar más fácilmente que el vidrio que cumple con el requisito de transparencia. Además, el vidrio corre el riesgo de romperse y por ser éste un equipo didáctico se debe de tomar en cuenta un alto factor de

seguridad.

La vasija elástica es de hule vulcanizado y por no con--tar con la maquinaria para su fabricación, se adaptó una Pelota de Frontón a nuestras necesidades.

La válvula de disco cónico se fabricó de bronce el disco y de aluminio el vástago. El soporte de la válvula es de a-crílico transparente para poder observar la acción del resorte en el funcionamiento de la misma; en su parte inferior --cuenta con una rosca interior para adaptar el acumulador al -conector del generador.

A continuación describiremos la construcción detallada - de las partes antes mencionadas.

5.1.1 CONSTRUCCION DEL RECIPIENTE.

Para la construcción del recipiente se utilizaron dos -bloques de acrílico de 3½" x 3½" x 2" cada uno. Se maquinó -una cavidad semi-esférica de 1 1/5" de radio en ambos bloques
de modo que si los unimos, tenemos una esfera en el interior.
Ambos bloques se barrenaron en los polos, a uno se le hizo un
barreno de 7/16" de diámetro para insertar la válvula de la -vasija elástica y al otro, uno de 1" para insertar el soporte
de la válvula de disco cónico.



Para unir los bloques se usan cuatro tornillos que en--tran en cuatro barrenos roscados en su parte inferior. De es
te modo podemos desarmar el acumulador y ver sus partes detalladamente.

5.1.2 CONSTRUCCION DE LA VASIJA ELASTICA.

Por falta de maquinaria para la fabricación de la vasija elástica se encontró que una Pelota de Frontón cumplía con — las características requeridas.

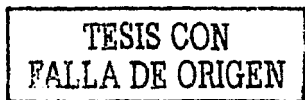
Para poder variar la presión de la pelota en base a nuegtros requerimientos de experimentación, se le vulcanizó una valvula para aire de uso automotriz. La pelota tiene un diámetro exterior de 2 1/3".

5.1.3 CONSTRUCCION DE LA VALVULA DE DISCO CONICO.

La construcción de la válvula de disco cónico se realizó en dos etapas.

Primero se maquinaron el disco cónico de 1" de diámetro mayor y de 3/4" de diámetro menor y el vástago de 2" de longitud y 1/4" de diámetro. El disco se maquinó en bronce y el vástago en aluminio y ambos están atornillados entre sí.

Después, de un bloque de acrílico se maquinó el soporte



de la válvula, que consiste en un cilindro hueco con centro - sólido, de 2 3/4" de longitud, diámetro interior de 3/4". En un extremo el diámetro exterior es de 1" y es en donde asienta el disco cónico, este extremo se insertó en el barreno de 1" del recipiente. El otro extremo tiene $1\frac{1}{2}$ " de diámetro exterior, está roscado interiormente y es la conexión con el Generador del Golpe de Ariete.

El centro sólido es el soporte del resorte y tiene cinco barrenos, uno central y cuatro laterales. El barreno central tiene un diámetro de 17/64" y sirve como guía al vástago de - la válvula. Por los cuatro restantes de 1/8" de diámetro circula el fluido cuando entra o sale del acumulador.

El resorte que usa la válvula es el calculado en el capítulo anterior. Es de tipo comercial, de once espiras totales y extremos esmerilados.

TESIS CON FALLA DE ORIGEN

5.2 RESULTADOS EXPERIMENTALES.

Después de haber sido construido y adaptado el acumula-dor al generador de Golpe de Ariete se realizaron las pruebas experimentales.

5.2.1 OBJETIVOS.

Los objetivos principales de estas pruebas son:

Mostrar una de las aplicaciones prácticas de un Acumulador Hidráulico de Vasija Elástica.

Comprobar y observar el funcionamiento de un Acumulador Hi--dráulico de vasija elástica en la amortiguación de las ondas
de Golpe de Ariete.

5.2.2 CONDICIONES Y PARAMETROS.

Para iniciar las pruebas de Golpe de Ariete, se estableció un flujo de agua de 0.00353 ft³/seg., a una presión de --14.5 lb/in² en el generador de Golpe de Ariete (estas condi-ciones son recomendadas por el fabricante del generador), y se cargó la vasija elástica con aire a una presión igual a la del sistema, o sea a. 14.5 lb/in²

Una vez establecidos estos parámetros se realizaron las pruebas. Primero, con válvula de globo que permite la entrada del fluido al acumulador cerrada y después, con esta --

válvula abierta. Las pruebas se realizaron de la siguiente - manera:

Se disparó el interruptor que cierra la válvula solencide y - se observó en el manómetro anterior a ésta el súbito cambio - de presión y las oscilaciones que sufre el sistema producto - del choque hidráulico.

En el momento en que cesaron las oscilaciones y el sistema se estabilizó, se abrió la válvula solenoide hasta que se estabilizara nuevamente el sistema. Se repitió la operación — del cerrado de la válvula solenoide con la válvula de globo a bierta y se observó en el manómetro el cambio de presión y — las pequeñas oscilaciones que produce el choque hidráulico en el sistema, cuando está funcionando el acumulador hidráulico.

Se efectuaron las pruebas para cuatro diferentes flujos, manteniendo la presión del generador y de la vasija elástica constantes.

Las pruebas para cada flujo se realizaron cinco veces, para comprobar las lecturas tomadas del manómetro.

5.2.3 RESULTADOS.

En las Tablas 2, 3, 4 y 5 se muestran los resultados de las pruebas experimentales.

En cada tabla se representa a un flujo diferente, con -- sus incrementos de presión en el generador cuando está en operación el acumulador y cuando no lo está, así como la diferencia entre ellos.

La Figura 87 es una representación gráfica de las tablas anteriores. Por los resultados obtenidos en estas pruebas ex perimentales, se puede ver que el incremento máximo de la presión en un sistema que opera con un acumulador hidráulico, disminuye aproximadamente en un 67% con respecto al incremento máximo de la presión del mismo sistema cuando opera sin acumulador para flujos iguales.

Debido a la rapidez en el cambio de la presión cuando se produce el fenómeno de Golpe de Ariete resulta difícil efectuar una lectura detallada del incremento de la presión en el manómetro a simple vista, por lo que se filmó (a 52 cuadros por segundo), el desarrollo de la prueba cuando el flujo y la presión inicial de operación en el generador son de 0.00353 - ft³/seg. y de 14.5 lb/in² respectivamente. De este modo, se pueden ver las variaciones de la presión en el sistema cada - 0.0192 segundos. En la Tabla 6 se muestran los incrementos - de la presión er el generador cada 0.0192 segundos cuando éste trabaja sin acumulador, y con acumulador para lapsos de -- tiempos iguales. En la Figura 88 se comparan gráficamente es estos incrementos.

NO. DE	#1940 (ft³/seg.)	PRESION DEL SISTEMA (1b/in ²)	PRESION DE LA VASIJA (1b/in²)	INCREMENTC DE LA PRESION SIN ACUMULADOR (lb/in²)	INCREMENTO DE LA PRESION CON ACUMULADOR (1b/in²)	DIFERENCIA DE LOS INCREMENTOS (1b/in ²)	% DE DISMINUCION DEL INCREMENTO
1	0.00161	14.5	14.5	18.49	5.68	12.71	68.7
2	0.00161	14.5	14.5	18.49	5.68	12.71	68.7
3	0.00161	14.5	14.5	18.49	5.68	12.71	68.7
14	0.00161	14.5	14.5	18.49	5.68	12.71	68.7
5	0.00161	14.5	14.5	18.49	5.68	12.71	68.7



NO. DE	FLUJO (ft³/seg.)	PRESION DEL SISTEMA (lb/in²)	PRESION DE LA VASIJA (lb/in²)	INCREMENTO DE LA PRESION SIN ACUMULADOR (1b/in²)	INCREMENTO DE LA PRESION CON ACUMULADOR (1b/in²)	DIFERENCIA DE LOS INCREMENTOS (1b/in ²)	# DE DISMINUCION DEL INCREMENTO
		- -		(2.70)		No	
1	0.0022	14.5	14.5	69.70	19.91	49.79	71.4
2	0.0022	14.5	14.5	69.70	19.91	49.79	71.4
3	0.0022	14.5	14.5	69.70	19.91	49.79	71.4
14	0.0022	14.5	14.5	69.70	19.91	49.79	71.4
5	0.0022	14.5	14.5	69.70	19.91	49.79	71.4





ijn. DE	P'.UJO	PRESION DEL	PRESION DE	INCREMENTO DE LA PRESION SIN ACUMULADOR	INCREMENTO DE LA PRESION CON ACUMULADOR	DIFERENCIA DE LOS INCREMENTOS	% DE DISMINUCION
<u>Piukea</u>	(ft³/seg.)	(1b/in ²)	_(lb/in ²)	(lb/in ²)	(lb/in ²)	(1b/in ²)	DEL INCREMENTO
1	0.00353	14.5	14.5	75-39	24.89	50.50	67.0
2	0.00353	14.5	14.5	75•39	24.89	50.50	67.0
3	0.00353	14.5	14.5	75-39	24.89	50.50	67.0
L	0.00353	14.5	14.5	75•39	24.89	50.50	67.0
5	0.00353	14.5	14.5	75-39	24.89	50.50	67.0



NO. DE	FLUJO (ft³/seg.)	PRESION DEL SISTEMA (lb/in?)	PRESION DE LA VASIJA (lb/in²)	INCREMENTO DE LA PRESION SIN ACUMULADOR (1b/in ²)	INCREMENTO DE LA PRESION CON ACUMULADOR (1b/in²)	DIFERENCIA DE LOS INCREMENTOS (1b/in ²)	DE DISMINUCION DEL INCREMENTO
L	0.003678	14.5	14.5	182.0	61.16	120.84	66.3
2	0.003678	14.5	14.5	182.0	61.16	120.84	66.3
3	0.003678	14.5	14.5	182.0	61.16	120.84	66.3
	0.003678	14.5	14.5	182.0	61.16	120.84	66.3
5	0.003678	14.5	14.5	182.0	61.16	120.84	66.3

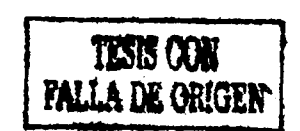


Tabla 6.

Flujo: 0.00353 ft³/seg. Presión Inicial del Sistema: 14.5 lb/in². Presión Inicial de la Vasija: 14.5 lb/in².

NO. CUAI		DE	INCREMEN LA PRES N ACUMUL (lb/in?	SION ADOR	INCREMENT DE LA PRES CON ACUMULA (lb/in ²)	ION ADOR
	1 0.0	19	0		0	
	2 0.0	38	0		0	
	3 0.0	57	0		0	
	4 0.0	076	0		0	
	5 0.0	96	5.68		2.84	
	6 0.1	115	9.95		4.26	
	7 0.	134	14.22		5.68	
	8 0.:	153	21.33		7.11	
1.5	9 0.	173	31.29		7.11	
1	٠. ٥	192	42.67		8.53	
1	0.2	211	49.78		9.95	
1	.2	230	62.58		11.37	
1	L3 0.1	249	71.12		11.37	
1	L4 0.2	269	75.39	de la companya de la	12.80	
. 1	L5 O.:	288	71.12		14.22	
1	L6 O.	307 ·	64.01		14.22	
. 1	17 0.	326	52.63		15.64	
1	18 0.	346	42.67		17.06	
. 1	19 0.	365	35.56		18.49	
ā	20 0.	384	28.44		19.91	
. 2	21 0.	403	21.33		22.04	
2	22 0.	423	18.49		22.04	
2	23 0.	442	14.22		19.91	

No. DEL	ТІЕМРО	INCREMENTO DE LA PRESION SIN ACUMULADOR	INCREMENTO DE LA PRESION CON ACUMULADOR
CUADRO	(SEGUNDOS)	(lb/in ²)	(lb/in ²)
24	0.461	11.37	20.62
25	0.480	9.95	21.33
26	0.499	7.11	21.33
27	0.519	7.11	22.04
28	0.538	7.11	22.04
29	0.557	7.11	22.04
30	0.576	7.11	22.75
31	0.596	7.11	22.75
32	0.615	7.11	24.18
33	0.634	7.11	24.18
34	0.653	7.11	24.18
35	0.673	7.11	24.89
36	0.692	9.95	24.89
37	0.711	12.80	14.22
38	0.730	14.22	14.22
39	0.749	15.64	14.22
. 40	0.769	17.06	14.22
41	0.788	21.33	14.22
42	0.807	22.75	14.22
43	0.826	25.60	14.22
44	0.846	28,44	14.22
45	0.865	31,29	14.22
46	0.884	34.13	14.22
47	0.903	35.56	14.22
48	0.923	39.98	14.22
49	0.942	39.98	14.22
50	0.961	39.98	14.22
51	0.980	35.56	14.22
52	1.000	34.13	24.89
53	1.019	31.29	24.18

		INCREMENTO DE LA PRESION	INCREMENTO DE LA PRESION
NO. DEL CUADRO	TIEMPO (SEGUNDOS)	SIN ACUMULADOR (1b/in ²)	CON ACUMULADOR (1b/in?)
54	1.038	28.44	23.47
55	1.057	27.02	23.47
56	1.076	24.84	23.47
57	1.096	22.75	22.75
58	1.115	21.33	22.75
59	1.134	19.91	22.75
60	1.153	17.78	22.04
61	1.173	17.06	22.04
62	1.192	17.06	21.33
63	1.211	17.06	21.33
64	1.230	15.64	21.33
65	1.249	15.64	21.33
66	1.269	15.64	21.33
67	1.288	15.64	21.33
68	1.307	15.64	21.33
69	1.326	17.06	21.33
. 70	1.346	17.06	21.33
71	1.365	18.49	21.33
72	1.384	19.91	21.33
73	1.403	21.33	21.33
7.4	1.423	21.33	21.33
75	1.442	22.75	21.33
76	1.461	24.18	21.33
77	1.480	25.60	21.33
78	1.499	25.60	21.33
79	1.519	26.31	21.33
80	1.538	27.02	21.33
81	1.557	27.02	21.33
82	1.576	27.02	21.33
83	1.596	27.02	21.33

		INCREMENTO DE LA PRESION	INCREMENTO DE LA PRESION
NO. DEL	TIEMPO	SIN ACUMULADOR	CON ACUMULADOR
CUADRO	(SEGUNDOS)	(1b/in ²)	(1b/in ²)
84	1.615	27.02	21.33
85	1.634	27.02	21.33
86	1.653	25.60	21.33
87	1.673	24.89	21.33
88	1.692	24.18	21.33
89	1.711	22.75	21.33
90	1.730	22.75	21.33
91	1.749	22.04	21.33
92	1.769	21.33	21.33
93	1.788	21.33	21.33
94	1.807	21.33	21.33
95	1.826	21.33	21.33
96	1.846	21.33	21.33
97	1.865	21.33	21.33
98	1.884	21.33	21.33
99	1.903	21.33	21.33
100	1.923	21.33	21.33
101	1.942	21.33	21.33
102	1.961	21.33	21.33
103	1.980	21.33	_ 21.33
104	5.0	21.33	21.33
105	2.019	14.22	17:08
106	2.038	-2.84	2.13
107	2.057	-1.42	7.11
108	2.076	-2.84	8.53
109	2.096	-3.55	7.11
110	2.115	-3.55	7.11
111	2.134	-5.68	7.11
112	2.153	-5.68	7.11

5.68

NO. DEL CUADRO	TIEMPO (SEGUNDOS)	INCREMENTO DE LA PRESION SIN ACUMULADOR (lb/in?)	INCREMENTO DE LA PRESION CON ACUMULADOR (1b/in?)
114	2.192	-7.11	4.26
115	2.221	-7.11	2.84
116	2,230	-7.11	1.42
117	2.249	-7.11	1.42
118	2.269	-7.11	1.42
119	2.288	-5.68	0.71
120	2.307	-5.68	0
121	2.326	-4.26	0
122	2.346	-4.26	0.
123	2.365	-4.26	.0
124	2.384	-4.26	0
125	2.403	-2.84	0
126	2.423	-2.84	0
127	2.442	-1.42	0
128	2.461	-0.71	0
129	2.480	0	0
-130	2.499	0	0
131	2.519	0	0
132	2.538	0	0
133	2.557	o	o
134	2.576	Ŏ	Ō
135	2.596	0	0
136	2.615	o	0

5.2.4 DISCUSION DE LAS GRAFICAS.

En la Figura 87 se muestran gráficamente los resultados de las pruebas experimentales.

Las columnas rayadas diagonalmente representan los diferentes valores del máximo incremento de la presión obtenidos para diferentes gastos cuando el equipo está trabajando sin el acumulador hidráulico; mientras que las columnas punteadas representan los diferentes valores del máximo incremento de la presión para diferentes gastos cuando el equipo esta trabajando con el acumulador hidráulico.

En esta gráfica, se puede ver que para un mismo gasto, la columna que representa el máximo incremento de presión en
el sistema cuando éste opera sin el acumulador hidráulico es
aproximadamente tres veces mayor que la columna que representa el máximo incremento de presión cuando el sistema está tra
bajando con el acumulador hidráulico.

Por lo que se puede decir que el uso del acumulador hi-dráulico presentado en este trabajo disminuye en un 66.6% a-proximadamente el incremento de la presión en el generador de
golpe de ariete.

La Figura 88 nos muestra gráficamente el comportamiento detallado del incremento de la presión cuando opera con el a-cumulador y sin él.

En esta figura se puede ver lo siguiente;

El incremento máximo de la presión en el sistema cuando opera sin acumulador es superior al incremento máximo de la presión en el sistema cuando éste opera con un acumulador hidráulico.

El máximo incremento de presión en un sistema que opera sin a cumulador tiene lugar pocos instantes después de cerrar la --válvula solenoide mientras que en un sistema que opera con un acumulador tarda más tiempo en alcanzar su máximo incremento. A un sistema que opera sin acumulador le toma más tiempo esta bilizarse después de accionar la válvula solenoide (ya sea para abrirla o cerrarla), que a un sistema que opera con un acumulador hidráulico.

881

PHUABAS SIN ACUAULADOR O

PHUABAS SIN ACUAULADOR O

PHUABAS CON ACUMULADOR O

OCOCO

SOCIOLO

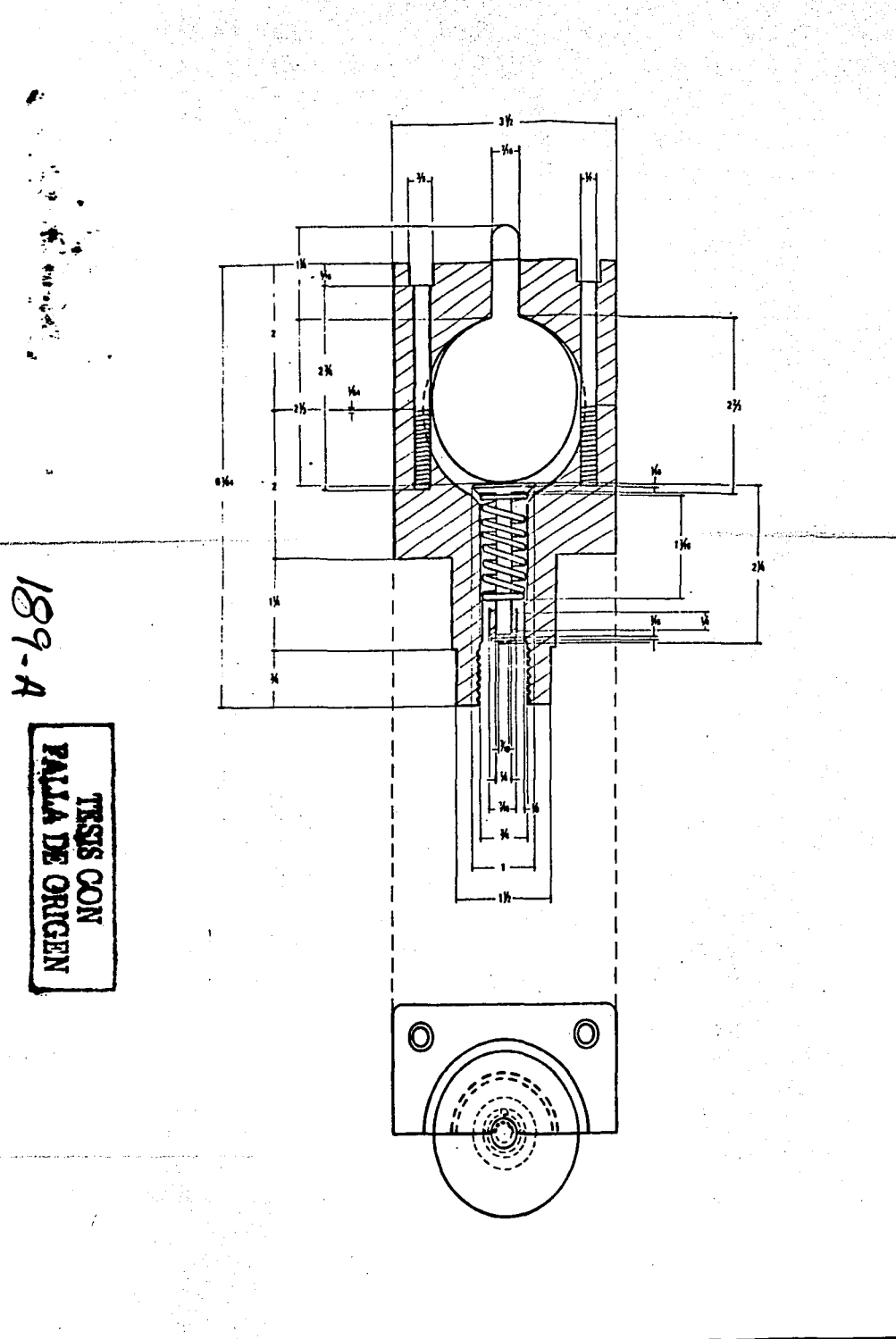
Flujo = 0.00353 ft⁵/seg. Presión inicial del sistema 14,5 lb/in² Presión inicial de la vasija 12,5 lb/in²

No. del cuadro (1 cuadro cada 0.019 seg.)

PIGURA 86



189



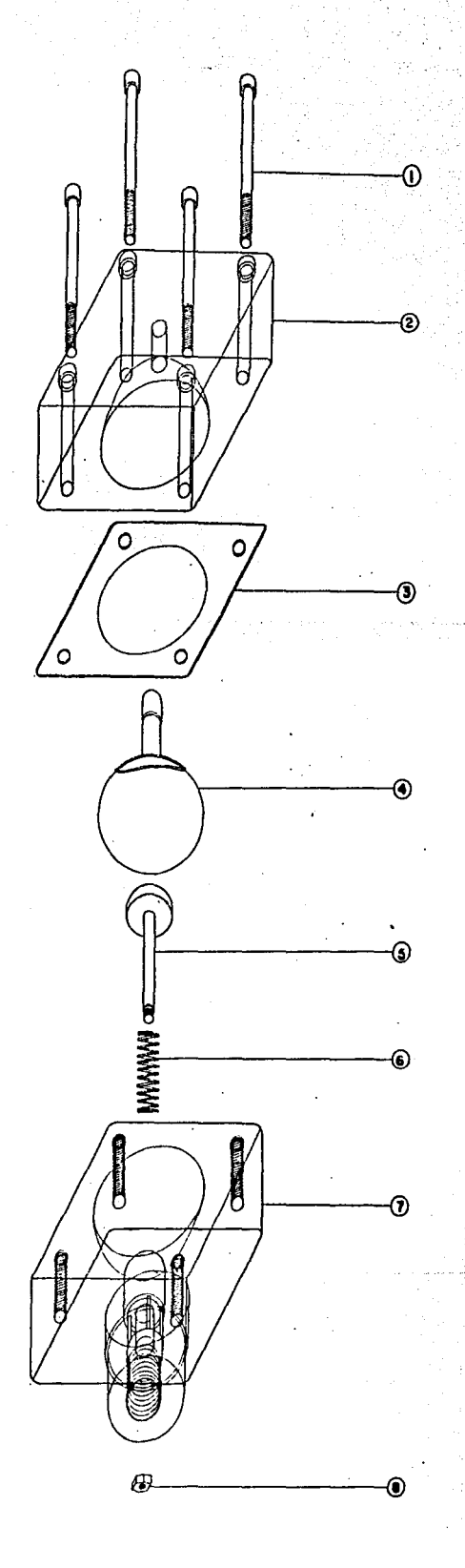


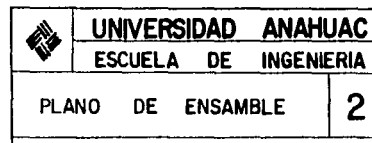
TES	IS PROFESIONAL	
MODELO DE	ACUMULADOR HIDRAULICO	1984
JUAN	MANUEL AVILA G A	Escilin

NO.	DESCRIPCION	CANT.
1	TORNILLO HEXAGONAL	4
2	RECIPIENTE (P. S.)	1
3	EMPÀQUE	
4".	VASIJA ELASTICA	11
5	V. 40 DISCO CONICO	
6	RESORTE	
7	RECIPIENTE: (P.I.)	
	TUERCA HEXAGONAL	

189-B

TESIS CON FALLA DE ORIGEN





TESIS PROFESIONAL

MODELO DE ACUMULADOR HIDRAULICO 1984

JUAN MANUEL AVILA G. A. Eseri in

VI. CONCLUSIONES Y RECOMENDACIONES

6.1 CONCLUSIONES.

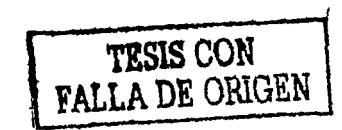
En la formación de un ingeniero es esencial la realización de pruebas prácticas en el laboratorio como complemento
de los estudios teóricos, además al poner al estudiante en -contacto con las máquinas del laboratorio o taller, se genera
el desarrollo y destreza manual, logrando con ésto la mejor comprensión de los fenómenos que se estudiarán.

Estas pruebas prácticas se pueden realizar, tanto en equipos fabricados por firmas especializadas como en equipos - diseñados y construidos por estudiantes, o en la adaptación - de los unos en los otros.

Por los resultados obtenidos en este trabajo se puede -concluir lo siguiente:

El fenómeno de Colpe de Ariete es muy perjudicial para los -circuitos hidráulicos, por los súbitos cambios de presión que se presentan cuando tiene lugar este fenómeno.

Cuando se produce el renómeno de Golpe de Ariete, el incremen to de la presión en un sistema que opera con un acumulador hi dráulico disminuye considerablemente con respecto al incremen to de la presión de un sistema que carece de este equipo. Por lo que se puede decir, que una de las principales aplicaciones de los acumuladores hidráulicos está en la amortiguación



de las ondas de Golpe de Ariete.

Con el diseño, construcción y adaptación de un acumulador hidráulico de vasija elástica al Generador de Golpe de Ariete - del Laboratorio de Mecánica de los Fluidos, se aumenta el número de pruebas prácticas que se podían realizar con el equipo original.

El uso de un material translúcido en la fabricación de equi-pos para realizar experimentos garantiza la confirmación vi-sual de algunos fenómenos.

tesis con falla de origen

6.2 RECOMENDACIONES.

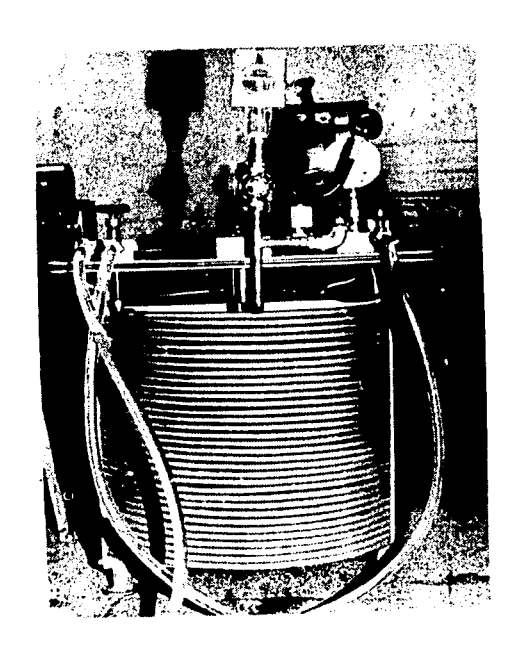
En este inciso se mencionarán algunas recomendaciones — que se consideran importantes para mejorar, la realización de las pruebas prácticas y el funcionamiento del Generador de — Golpe de Ariete en el futuro.

La instalación de un medidor de gasto a la salida del Generador de Golpe de Ariete, para tener un mejor control sobre el fluido que se maneja.

La instalación del Generador de Golpe de Ariete en un -circuito hidráulico cerrado provisto de una bomba y un tanque
de almacenamiento para evitar la dependencia que se tiene con
el sistema hidráulico del laboratorio y el excesivo derrama-miento del fluido que se maneja.

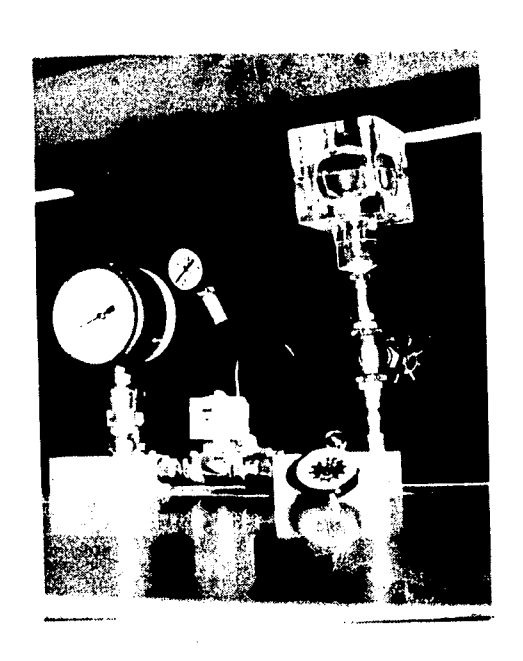


A PENDICE A



ASPECTO GENERAL DEL GENERADOR DE GOLPE DE ARIETE

CON EL ACUMULADOR HIDRAULICO

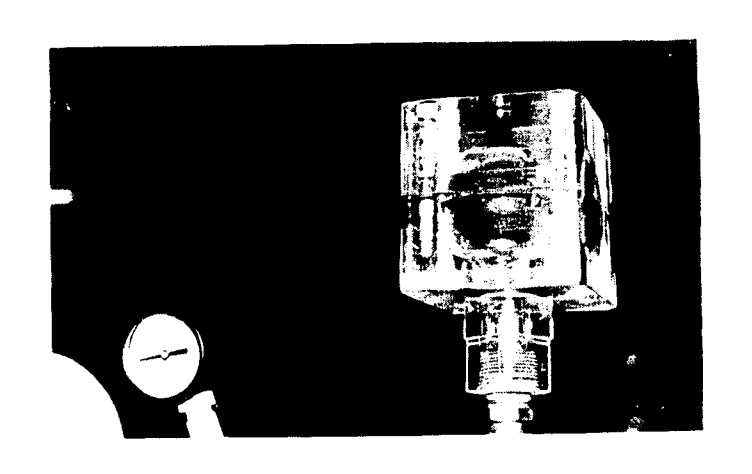


VISTA PARCIAL DE LOS PRINCIPALES INSTRUMENTOS

DEL GENERADOR DE GOLPE DE ARIETE

Y EL ACUMULADOR HIDRAULICO

_ 196 -



EL ACUMULADOR HIDRAULICO DE VASIJA ELASTICA DISENADO Y CONSTRUIDO EN ESTE TRABAJO



A PENDICE B



LISTA DE FIGURAS

FIGURA	DESCRIPCION	Pág.
1	Ciclo de Eventos en una Válvula Después de un Cierre Rápido.	6
2	Representación Gráfica para la Solución de la Ecuación de Ber- noulli.	12
3	Solución para las Ecuaciones 4 y 5.	14
	El Golpe de Ariete para un Movimiento Uniforme de la Válvula.	17
5	Representación de una Tubería - con Cambio en su Sección Trans- versal.	18
6	Condición para el Equilibrio Di námico de un Elemento de Agua.	20
7a	Elemento de Agua en Cualquier - Tiempo t.	23
7b	Elemento de Agua en un Tiempo - t + dt.	23
8	Deformación de un Elemento de - la Tubería.	24
9	Representación del Movimiento - de la Válvula de Control Situa- da en la Parte Baja de la Tube-ría.	29
10	Tubería con un Extremo Cerrado.	31
11	Cambio en la Sección Transver sal de una Tubería.	32
12	Unión de Tres o Más Tuberías.	33
13	Tubería con una Válvula Parcial mente Abierta.	33

<u>FIGURA</u>	DESCRIPCION	Pág.
14	Representación de las Diferen tes Condiciones Después del Ci <u>e</u> rre de la Válvula.	38
15	Localización del Punto de Carga Máxima para Diferentes Interva- los de Tiempo.	42
16	Golpe de Ariete para Movimien tos Lentos de la Valvula.	44
17	Incremento de Presión por Movi- mientos Lentos de la Válvula.	45
18	Condiciones Pasajeras Después - de la Falta de Poder.	47
19	Curvas del Comportamiento de la Bomba.	50
20	Diagrama de la Región Normal de Operación de la Bomba.	50
21	Parábola del Tipo h = K V en una Gráfica h - v	51
22	Características de Operación de una Bomba.	51
23	Linea de Descarga de una Bomba.	54
24	Gráfica Carga-Velocidad.	55
25	Línea de Descarga cuando Falte Poder en el Motor de la Bomba.	55
26	Análisis Gráfico del Golpe de - Ariete cuando Falte Poder en el Motor de la Bomba,	56
27	Gráfica de los Máximos Cambios Positivos y Negativos de Pre sión.	59
28	Resultados de un Largo Número - de Soluciones de Golpe de Arie- te.	60

<u>FIGURA</u>	DESCRIPCION	Pág.
29	Solución Gráfica de Golpe de A- riete para una Tubería de Des carga.	64
30	Efectos de un Cierre Rápido de las Válvulas de Retención.	67
31	Efectos de un Cierre Rápido de las Válvulas de Retención.	68
32	Efectos de un Cierre Lento de - las Válvulas de Control.	68
33	Solución Gráfica de Golpe de A- riete incluyendo Pérdidas Hi dráulicas.	70
34	Pérdidas de Carga Junto a la S <u>o</u> lución de Golpe de Ariete y una Faltá de Poder en los Motores.	72
35	Unión de Tres Tuberías.	74
36	Solución Gráfica de una Tubería con Conexión Sin Salida.	76
37	Solución Gráfica de un Sistema con Dos Válvulas de Control.	77
38	Tubería con Cambio de Diametro y de Espesor:	80
39	Solución Gráfica de Golpe de An riete:	85
40	Solución Gráfica de Golpe de A- riete	87
41	Representación Gráfica de las - Ecuaciones Conjugadas.	87
42	Solución para el Cerrado Par cial de la Válvula.	88
43	Solución para cuando la Válvula de Control se encuentra Fuera - del Final de la Tubería.	88

FIGURA	DESCRIPCION	Pág.
44	Solución Gráfica Si la Válvula de Control está Localizada en - la Parte Superior de la Tubería.	91
45	Solución Gráfica del Golpe de - Ariete Producido por la Abertu- ra de la Válvula.	92
46	Gráfica del Máximo Aumento de - Carga Producido por la Abertura de la Válvula.	93
. 47	Máximo Aumento de Carga en la - Válvula Debido al Movimiento Rítmico en la Misma.	93
48	Carta de Ray para Movimientos - Uniformes de la Válvula.	96
49	Aumento de la Carga en la Válvu la Debido al Cierre Uniformė — desde Diferentes Posiciones In <u>i</u> ciales.	96
50	Mínima Carga Debido a la Abertu ra Uniforme de la Valvula.	97
51	Diagrama de Allievi para el Má- ximo Aumento de Presión con Mó- vimiento Uniforme de la Válvula.	99
52	Diagrama de Allievi para el Má- ximo Aumento de Presión con Mo- vimiento Uniforme de la Válvula.	100
53	Diagrama de Allievi para la Má- xima Caída de Presión para Mov <u>i</u> miento Uniforme de la Válvula.	100
5 4	Acumulador Hidráulico de Contr <u>a</u> peso.	105
55	Acumulador Hidráulico de Muelle o Resorte.	107
56	Acumulador Hidráulico de Nivel Libre.	109

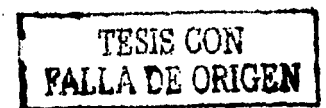


FIGURA	DESCRIPCION	Pág.
57	Acumulador Hidráulico de Pistón.	111
58	Acumulador Hidráulico de Vasija Elástica.	112
59	Acumulador Hidráulico de Membr <u>a</u> na Elástica.	113
60	Acumulador de Contrapeso Empleado en un Circuito de Presión D $\overline{ ext{o}}$ ble.	117
61	Acumulador de Resorte Empleado como Fuente Secundaria de Ener- gía.	119
62	Sincronización del Movimiento - de los Pistones de Dos Cilin dros.	123
63	Los Acumuladores como Fuente de Energía de Emergencia.	124
64	Ciclo de Preparación y Funcion <u>a</u> miento de un Acumulador Hidráu- lico.	128
65	Gráfica Presión-Volumen.	137
66	Analogía del Funcionamiento de un Acumulador Hidráulico.	140
67	A.F. A.H. Falta de Poder en la Locomotora.	140
68	A.F. A.H. Choque del Cónvoy con la Locomotora.	140
69	A.F. A.H. Evitamos el Choque - si Existe otra Locomotora.	141
70	A.F. A.H. Falta de Poder en la Bomba.	141
71	A.F. A.H. Choque de la Columna de Agua con la Válvula.	142

<u>FIGURA</u>	DESCRIPCION	Pág.
72	A.F. A.H. Evitamos el Choque - si Existe un Acumulador Hidráu- lico.	142
73	A.F. A.H. Cierre Brusco de una Válvula.	143
74	A.F. A.H. Muro de Piedra Sóli- da para Frenar un Convoy.	143
75	A.F. A.H. Via Lateral para French nar un Convoy.	143
76	A.F. A.H. Linea Lateral con A- cumulador Hidraulico para Fre nar el Movimiento del Fluido.	144
77	A.F. A.H. Energía Pérdida en - el Arranque de una Locomotora.	144
78	A.F. A.H. Arranque Suave de una Locomotora.	145
79	A.F. A.H. Arranque Suave de una Bomba con la Ayuda de un A- cumulador.	145
80	Diagrama de las Partes Princip <u>a</u> les de un Acumulador Hidráulico de Vasija Elástica.	147
81	Diagrama de las Condiciones de Equilibrio Estático de un Cili <u>n</u> dro.	149
82	Diagrama de las Condiciones de Equilibrio Estático de una Esf <u>e</u> ra.	151
83	El Generador de Golpe de Ariete de la Universidad Anáhuac.	158
84	Diagrama de la Adaptación del - Acumulador al Generador de Gol- pe de Ariete.	167

<u>FIGURA</u>	DESCRIPCION		Pág.
85	Gráfica de los Resultados de las Pruebas Experimentales.		188
86	Comportamiento Detallado del cremento de la Presión en el nerador cuando Opera Con el cumulador y Sin él.	Ge	189

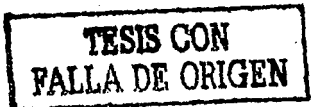
LISTA DE PLANOS

NUMERO		DESCRIPCION	DESCRIPCION		
	1	Corte Transversal del Acumula dor Hidráulico.			
	2	Plano de Ensamble del Acumula dor Hidráulico.			



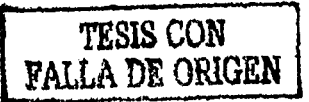
LISTA DE TABLAS

NUMERO	DESCRIPCION	Pág.
1	Coeficientes de Velocidad y Torque en la Bomba.	57
2	Resultados de las Pruebas Experrimentales (Flujo de 0.00161 ft /seg.).	177
3	Resultados de las Pruebas Expe- rimentales (Flujo de 0.0022 ft /seg.).	178
4	Resultados de las Pruebas Experimentales (Flujo de 0:00353 ft /seg.).	179
5	Resultados de las Pruebas Experimentales (Flujo de 0.003678 - ft /seg.).	180
6	Incrementos de la Presión cada 0.0192 segundos para un Flujo - de 0.00353 ft /seg.	181



LISTA DE FOTOGRAFIAS

NUMERO	DESCRIPCION	Pág.
1	Aspecto General del Generador - de Golpe de Ariete con el Acumu lador Hidráulico.	195
2	Vista Parcial de los Principa les Instrumentos del Generador de Golpe de Ariete y el Acumul <u>a</u> dor Hidráulico.	196
3	El Acumulador Hidráulico de Va- sija Elástica Diseñado y Cons truido en este Trabajo.	197



BIBLIOGRAFIA

- 1. Bednar, Henry
 - "Pressure Vessel Design Handbook"
 - Van Nostra and Company (1981)
- 2. "Bladder Accumulator"

Maintenance Manual

Greer Hydraulics Inc. (1979)

3. Daugherty, Robert

"Fluid Mechanics with Engineering Applications"

McGraw Hill Book Company (1977)

4. Davis and Sorensen

"Handbook of Applied Hydraulics"

McGraw Hill Book Company (1970)

5. Egea, Pedro

"Mecanismos Hidráulicos"

Editorial Gustavo Gili (1980)

6. "Fluid Power Products"

Bulletin No. 202

Greer Hydraulics Inc. (1980)

- 7. Hoelscher, Randolph
 - "Graphics for Engineers"

John Wiley and Sons, Inc. (1968)

3. "Hydropneumatic Bladderless Surge Arrestors"

Bulletin No. S102

Greer Hydraulics Inc. (1979)

- 9. King, Horace
 "Handbook of Hydraulics"

 McGraw Hill Book Company (1958)
- 10. Lyons', Jerry
 "Lyons' Encyclopedia of Valves"
 Van Nostrand Company (1981)
- 11. Mantell, Charles
 "Engineering Materials Handbook"
 McGraw Hill Book Company
- 12. Parmakian, John
 "Waterhammer Analysis"

 Dover Publications, Inc. (1960)
- 13. Schlag, Albert
 "Hidráulica"

 Editorial Limusa (1976)
- 14. Shigley, Joseph
 "Diseño en Ingeniería Mecánica"
 McGraw Hill Book Company (1980)
- 15. Speich y Bucciarelli
 "Oleodinamica"

 Editorial Gustavo Gili (1980)
- 16. Streeter, Victor "Mecánica de los Fluidos" McGraw Hill Book Company (1980)

- 17. Stewart, H.
 "Energía Hidráulica y Neumática Industrial"
 Editorial Interciencia
- 18. "Surge in Pipe Lines Carrying Liquids"

 Bulletin No. S101

 Greer Hydraulics Inc. (1979)
- 19. "Surgekushon"

 Bulletin No. 5005

 Greer Hydraulics Inc. (1980)
- 20. Vickers, Sperry

 "Manual de Oleohidráulica"

 Impreso en España (1979)
- 21. Yeapole, Frank
 "Applying Hydraulic Accumulators"

 Design Engineering

 March 1981, pages 45-50



INDICE



NDICE

			PAG.
I.	INTRODUCCIO		ī
I.	BASES TEORI	CAS	5
	2.1	Definición del Problema	5
	2.1.1	El Golpe de Ariete	5
	2.2	Ecuaciones Básicas	12
	2.2.1	Teoria de la Columna Rigida de Agua	12
	2.2.2	Teoria de la Columna Elástica de Agua	19
	2.2.3	Ecuaciones Fundamentales de Golpe de Ariete	27
	2.2.4	Velocidad de las Ondas de Golpe de Ariete o Celeridad	28
	2.2.5	Reflexión de las Ondas en el Golpe de Ariete	28
	2.2.6	El Golpe de Ariete para Movimientos Rápidos de la Válvula (Movimientos Ins- tantáneos)	35
	2.2.7	El Golpe de Ariete para Movimientos Lentos de la Válvula.	44
	2.2.8	El Golpe de Ariete Causado por la Falta de Poder en la Bomba	45
	2.2.8.1	Ecuaciones de Inercia	48
	2.2.8.2	Características de la Bomba	49
	2.2.8.3	Ecuaciones de Golpe de Ariete	54

TESIS CON FALLA DE ORIGEN

		PAG.
2.2. 9	Análisis Gráfico del Golpe de Ariete	55
2.2.10	Separación de la Columna de Agua	58
2.2.11	Gráficas de Golpe de Ariete	62
2.2.12	Soluciones Especiales de Golpe de Ariete	62
2.2.13	Efecto de las Válvulas de Control	65
2.2.14	Arrancando y Parando las Bombas	67
2.2.15	Análisis del Golpe de Ariete Incluyendo las Pérdidas Hi dráulicas	69
2.2.16	Análisis del Golpe de Ariete para Tuberías Compuestas	72
2.3	Métodos de Solución	78
2.3.1	Solución Matemática	78
2.3.2	Método Gráfico de Angus para el Análisis del Golpe de Ariete	79
2.3.2.1	Ecuaciones de Descarga de la Válvula	82
2.3.2.2	Solución Gráfica para el Cerrado de la Válvula	83
2.3.2.3	Solución para una Tubería con Cambio de Diametro	86
2.3.2.4	Solución para el Cerrado Parcial de la Válvula	89
2.3.2.5	Sclución para cuando la Válvula de Control se encuen tra Fuera del Final de la Cubería	89





			PAG.
	2.3.2.6	Golpe de Ariete Producido por la Abertura de la Válvula	91
	2.3.2.7	Golpe de Ariete Producido por el Movimiento Uniforme de la Válvula	94
	2.3.3	Método de las Cartas de Allievi	98
III.	ACUMULADORE	ES HIDRAULICOS	101
	3.1	Descripción	102
	3.2	Tipos Principales de Acumuladores Hidráulicos	104
	3.2.1	El Acumulador de Gravedad o Contrapeso	104
	3.2.2	El Acumulador de Muelle o Resorte	106
	3.2.3	Los Acumuladores Accionados por Aire o por Gas	108
	3.3	Diferentes Aplicaciones de los Acumuladores Hidráulicos	115
	3.3.1	Acumulador de Contrapeso Empleado en un Circuito de Presión Doble	115
	3.3.2	Acumulador de Resorte Emple <u>a</u> do como Fuente Secundaria de Energía	117
	3.3.3	Sincronización del Movimiento de los Pistones de dos Cilin- dros	121
	3.3.4	Los Acumuladores como Fuente de Energía de Emergencia	123
	3.4	El Acumulador de-Vasija	107





		나는 물로 가장 보고 있는 그 그는 그 없었다.	PAG.
	3.4.1	Descripción	127
	3.4.2	Calculo de los Acumuladores en sus Diferentes Aplicaci <u>o</u> nes	129
	3.4.3	El Acumulador Hidráulico y el Golpe de Ariete	134
	3.4.4	Funcionamiento General de un Acumulador Hidráulico en la Amortiguación del Golpe de Ariete	138
	3.4.4.1	Funcionamiento de un Acumul <u>a</u> dor Hidráulico cuando se Pa- ra la Bomba	145
	3.4.4.2	Funcionamiento durante el Arranque de la Bomba	146
	3.4.4.3	Funcionamiento durante la Reducción de Flujo	148
	3.4.5	Diseño de un Acumulador Hidráulico de Vasija Elástica	148
	3.4.5.1	Diseño del Recipiente	149
	3.4.5.2	Diseño de la Vasija Elástica	152
	3.4.5.3	Características de la Válvula de Disco Cónico	152
	3.4.5.3.1	Diseño del Resorte de la Válvula de Disco Cónico	153
v.		UN ACUMULADOR Y SU ADAPTACION DOR DE GOLPE DE ARIETE	156
	4.1	Descripción del Aparato de Golpe de Ariete	157
Alt Y	4.2	Cálculo del Acumulador Hidráulico	159
	4.2.1	Cálculo de la Carga de Oscilación	159



		1986年 -	I AU
	4.2.2	Cálculo del Volumen del Acumulador	160
	4.2.3	Cálculo del Recipiente	161
	4.2.4	Cálculo de la Vasija Elástica	162
	4.2.5	Cálculo del Resorte de la Válvula de Disco Cónico	163
	4.3	Adaptación del Acumulador al Generador de Golpe de Ariete	166
	4.4	Instrumentación y Equipo Auxiliar	168
٧.	CONSTRUCCIO	N Y ADAPTACION DE UN ACUMULADOR	169
	5.1	Materiales y Métodos	170
	5.1.1	Construcción del Recipiente	171
	5.1.2	Construcción de la Vasija Elástica	172
	5.1.3	Construcción de la Válvula de Disco Cónico	172
	5.2	Resultados Experimentales	174
	5.2.1	Objetivos	174
	5.2.2	Condiciones y Parámetros	174
	5.2.3	Resultados	175
	5.2.4	Discusión de las Gráficas	186
/Ι.	CONCLUSIONE	S Y RECOMENDACIONES	190
	6.1	Conclusiones	191
	6.2	Recomendaciones	193
	APENDICE A		194
	Fotografías		195



resamento, del proglama (labora, filipo desca, en sembra de color de la como como como como de la como en el c En encolor de la grafia en la filipo de Salvado, en encolor de la como en el como de la como en el como en el c	PAG.
<u> 고리 교육에 보고 있는 것은 하는 것이 되는 것이 없는 것이 없다. 그 없는 것</u>	198
APENDICE B Lista de Figuras y Planos	199
Lista de Tablas	206
Lista de Fotografías	207
BIBLIOGRAFIA	209

